

## فصل اول

# کلیات زمین شناسی محدوده

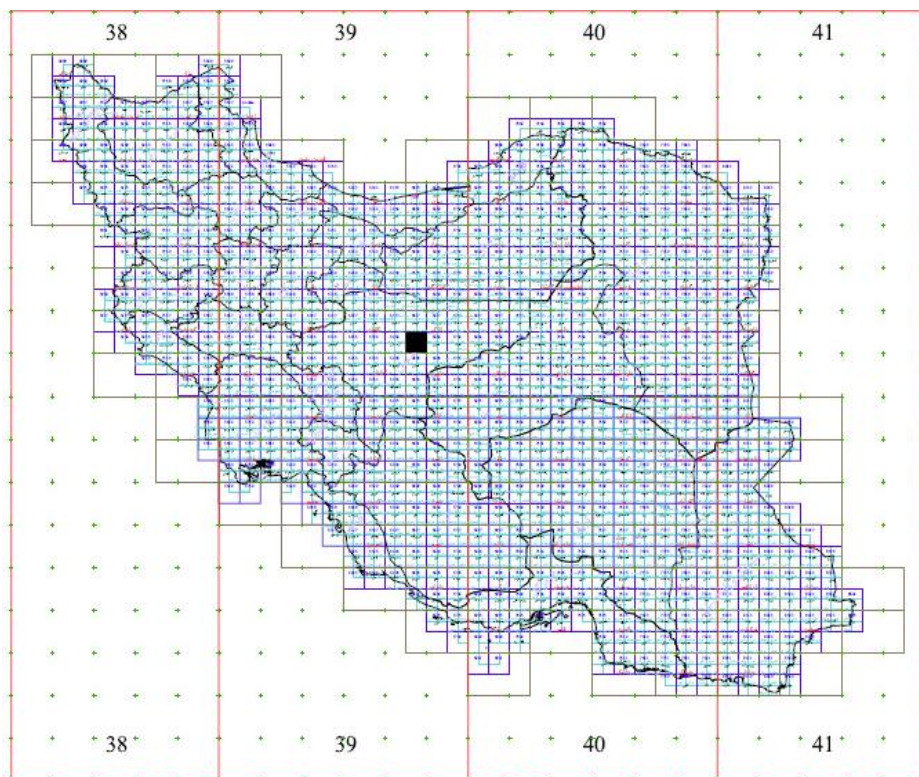
## 1-1) مقدمه

محدوده کوهپرور واقع در جنوب غربی نقشه زمین شناسی یکصدهزارم زواره (شهراب)، در جنوب شرقی شهرستان اردستان و نزدیکی شهرستان نایین قرار گرفته است.

پس از اکتشاف ژئوشیمیایی مقیاس یکصدهزارم زواره (شهراب)، محدوده اکتشافی کوهپرور به عنوان یکی از مناطق پرپتانسیل این برگه معرفی گردید. این محدوده پس از ثبت در سازمان صنایع و معادن استان اصفهان، با توجه به اطلاعات اولیه‌ای که از اکتشاف ناحیه‌ای در فاز ژئوشیمی مقیاس یکصدهزارم موجود بود طراحی شبکه اولیه گردید و در زمان عملیات صحراوی هر جا که کارشناس تشخیص داده تغییراتی باید در طراحی صورت گیرد، آن را به وضعیت احسن تغییر داده است.

## 1-2) راه دسترسی و موقعیت جغرافیایی محدوده مورد مطالعه

موقعیت برگه یکصد هزارم زواره (شهراب) در شکل (1-1) به صورت یک چهارگوش سیاه رنگ نشان داده شده است.



شکل (1-1): موقعیت برگه یکصدهزارم زواره (شهراب) در ایندکس نقشه‌ها

راه دسترسی به این محدوده، جاده اصلی و ترانزیت اردستان به نایین می‌باشد. همانطور که در شکل (1-2) نشان داده شده است، پس از پیمایش حدود ۵۵ کیلومتر از اردستان به طرف نایین از طریق جاده‌ای خاکی که به سمت راست منشعب می‌گردد به محدوده خالی از سکنه کوهپرور خواهیم رسید.



شکل (1-2): موقعیت جغرافیایی و وضعیت دسترسی محدوده اکتشافی کوهپرور

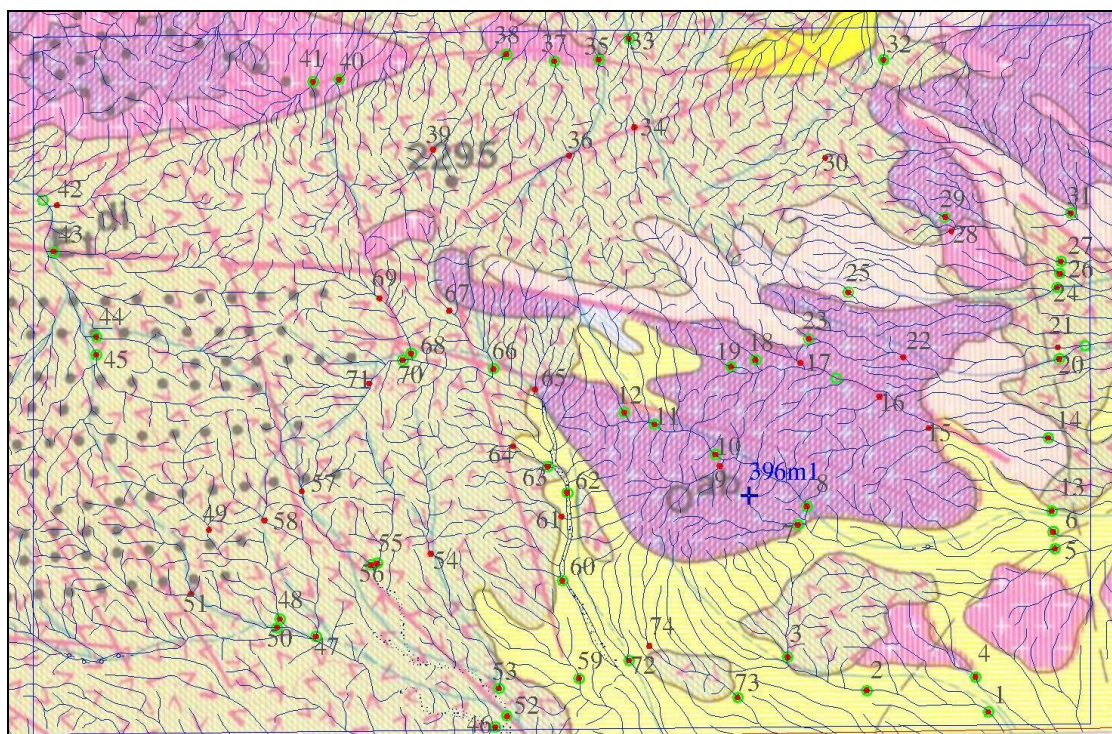
از نظر آب و هوا، این محدوده بدلیل نزدیکی و مجاورت با کویر، معمولاً در تابستانها گرم و خشک و در زمستانها سرد است، در حالیکه نواحی کوهستانی منطقه در تابستانها آب و هوای نسبتاً معتدلی دارد.

دمای هوا در گرمترین روز سال گاه به حدود ۴۸ درجه سانتیگراد و در سردترین روز به حدود ۵ تا ۱۰ درجه سانتیگراد زیر صفر می‌رسد. قنوات و چشمه‌ها مهمترین منابع تامین کننده آب کشاورزی و آشامیدنی محدوده مورد مطالعه و اطراف آن بشمار می‌روند.

در محدوده مورد نظر رودخانه دائم و پرآب وجود ندارد. گندم، جو، گرد، توت و انار از مهمترین محصولات کشاورزی منطقه می‌باشد. صنعت قالی بافی در این نواحی از اهمیت خاصی برخوردار است.

### 1-3) زمین شناسی محدوده کوهپرور

شکل (3-1) وضعیت زمین شناسی محدوده را بر مبنای نقشه زمین شناسی 1:100,000 شهراب نشان می‌دهد.



شکل (3-1): وضعیت زمین شناسی منطقه بر مبنای نقشه زمین شناسی مقیاس یکصدهزارم شهراب

از لحاظ زمین شناسی در برگه یکصدهزارم زواره (شهراب) ترادفی از سنگهای آذرین، رسوبی و آذرآواری از پالئوزوئیک تا عهد حاضر بروزد دارند و در این میان فعالیتهای آتشفسانی ائوسن از گسترش چشمگیری برخوردار است. در محدوده مورد نظر که بخش از این برگه می‌باشد، واحدهای سنگی رسوبی، نفوذی، آذرآواری، ساب ولکانیک و ولکانیک دیده می‌شود که شامل:

|   |         |
|---|---------|
| واحد $P^V$ : گنبدهایی با ترکیب داسیتی تا ریوداسیتی                  | پلیوسن  |
| واحد $P^t$ : ایگنیمبریت با ترکیب داسیتی تا ریوداسیتی و توف، توف برش |         |
| واحد $O^{ab}$ : گدازه آندزی بازالت تا آندزیتی همراه با دیاباز       | الیگوسن |
| واحد $E^{di}$ : توف، ماسه سنگ و دیاباز                              | ائوسن   |

با توجه به این که مطالعات زمین شناسی در این محدوده تنها به تهیه نقشه مقیاس یکصدهزار زواره (شهراب) محدود میگردد بالاجبار به در این گزارش نیز علاوه بر مشاهدات فیلد کارشناس به مطالعات زمین شناسی مقیاس مذکور تکیه شده است. آنچه که در ذیل آمده است آن واحدهای سنگی است که در محدوده کوهپرور رخنمون داشته است.

#### - واحد توف، ماسه سنگ و دیاباز ( $ET^{di}$ )

در بخش جنوب باختری برگه یکصدهزارم زواره (شهراب)، رخنمون‌های گستردگی از توف‌های گوناگون، ماسه‌سنگ و دیاباز یافت می‌شود که به دلیل به هم ریختگی زیاد و نفوذ سنگهای نیمه‌آتشفسانی با ترکیب دیابازی، نمی‌توان آنها را از هم تفکیک نمود. علاوه بر آن دایکهای دیابازی فراوانی که طول آنها بعضاً به چند صد متر نیز می‌رسد این مجموعه را قطع نموده است. این مجموعه توسط گدازه‌های آندزیت- بازالتی الیگوسن پوشیده شده و گنبدهای تراکی آندزیت- داسیتی پلیوسن آن را قطع نموده‌اند و نیز بطرف جنوب باختر با مرز گسله در مجاورت با توده گرانیتی الیگوسن قرار می‌گیرد.

#### - واحد آندزیت- بازالتی ( $O^{ab}$ )

این واحد دارای گسترش محدودی است و برروی سنگهای آتشفسانی ائوسن جای می‌گیرد. ترکیب کلی این واحد آندزیت بازالتی تا بازالت است و دارای رنگ هوازده قهوه‌ای تا سیاه رنگ بوده و به صورت توده‌ای دیده می‌شود. به سوی باختر این واحد دارای گسترش بیشتری است.

- واحد توف و پیروکلاستیک (Plt)

این واحد که باز بخشی از محدوده مورد مطالعه را پوشانده است شامل مجموعه‌ای از سنگهای توفی و پیروکلاستیک می‌باشد. ترکیب این واحد شامل تنابی از انواع مختلف توف و توف برشی است. وجود توف لایلی، توف برشی، ایگنمبریت و توفهای بلورین که بگونه‌ای متناوب قرار گرفته‌اند از اهمیت زیادی برخوردار است.

می‌توان قطعات مختلف از سنگهای آتشفشاری و ریز بلور را در میان این مجموعه مشاهده کرد. توف برشها می‌تواند در ناحیه نیز از اجزاء مختلفی تشکیل شده و ابعاد اجزاء آنها نیز به چند سانتیمتر نیز می‌رسد. ترکیب این سنگها بطور عمده ریوداسیتی تا داسیتی و گاهی در حد آندزیت است. در لابلای این واحد می‌توان خاکستر و توفیت را مشاهده کرد. در بخش‌های جنوبی ورقه می‌توان واحدهایی که بطور عمده مت Shank از شیشه باشند را ملاحظه کرد، با توجه به بررسیهای انجام شده در برگه یکصدهزار، به نظر می‌رسد که واحدهای اخیر به نسبت جوان بوده و احتمالاً وابسته به پلیوسن هستند.

- واحد گدازه داسیتی (Plv)

این واحد به صورت جزئی در بخش‌هایی از محدوده مورد بررسی، برونزدهایی را با ترکیب داسیتی تا ریوداسیتی به صورت بخش‌های نیمه عمیق، قطع کننده و نیز توده‌های گنبدی شکل کوچک از خود نشان می‌دهد. روند عمومی رخنمون این واحدها تقریباً خاوری – باختری بوده و بگونه‌ای مشخص از خاور به باختر ورقه بر حجم آنها افزوده می‌شود. این واحدها روشن رنگ بوده و با رنگهای سفید تا کرم و خاکستری روشن دیده می‌شوند. واحدهای یاد شده سنگهای آتشفشاری را به صورت دایک و یا توده‌های گنبدی کوچک قطع می‌کند. رنگ هوازده این سنگها از خاکستری روشن تا قهوه‌ای روشن تغییر می‌نماید. از نظر اندازه دانه‌ای، این سنگها بسیار متنوع بوده و از نظر بافت‌شناسی نیز از انواع پورفیری تا بطور کامل ریزدانه تغییر می‌کنند. علاوه بر این می‌توان بخش‌های بشدت دگرسان شده‌ای را مشاهده کرد که بر روی سنگهای آتشفشاری ایوسن جای

می‌گیرند. در بیشتر موارد رخنمونهای وابسته به این سنگها با شکستگی‌های مهم در ناحیه محدود شده‌اند و کنترل می‌شوند. همچنین در محدوده مورد مطالعه، مجموعه‌ای از این سنگها را می‌توان به صورت گنبدهای گدازه‌ای مشاهده کرد که گمان می‌رود بسیار جوان بوده و وابسته به تکاپوهای آتشفشاری نئوژن باشند. ارتفاع گندها نسبت به دشت پیرامون به چند ده متر و گاهی نیز به بیش از یک‌صدمتر می‌رسد. این واحدهای گنبدی شکل دارای ویسکوزیته به نسبت زیادی بوده و به همین دلیل اشکال گنبدی و سوزنی شکلی را بوجود آورده‌اند.

#### 1-4) شرح مختصری از کانه‌زایی منطقه در بررسیهای ناحیه‌ای

برمبنای اکتشافات ژئوشیمیایی در برگه 1:100,000 شهراب رخنمونهای کانه‌زایی جالب توجهی بدستآمد که به منظور ادامه عملیات اکتشافی اقدام به ثبت این محدوده‌ها گردید. با توجه به آنچه که در شکل قبلی نشان داده شده است، از اکتشاف ناحیه‌ای در فاز قبلی تنها یک نمونه سنگی مینرالیزه به شماره 396m1 از این محدوده اخذ گردیده است. در جدول زیر نتیجه آنالیز مربوط به نمونه 396m1 آمده است.

| Au (PPM) | Cu (%) | Pb (%) | Ag (PPM) | As (PPM) | عنصر         |
|----------|--------|--------|----------|----------|--------------|
| 0.1      | 6.96   | 4.43   | 325      | 5240     | مقدار آنالیز |

همانطور که در جدول قابل مشاهده است، این نمونه مقادیر قابل توجهی را که از خود نشان داده است. به همین دلیل لازم شد که منطقه مورد بررسی بیشتری قرار بگیرد.

## فصل دوم

# نمونه برداری

## 2-1) مقدمه

نمونهبرداری، تجزیه نمونه‌ها و تفسیر نتایج سه بخش اساسی در ژئوشیمی اکتشافی هستند. در صورتیکه خطای در تجزیه نمونه‌ها رخ دهد باید بار دیگر آنرا تکرار کرد و به تفسیر مجدد داده‌ها پرداخت. ولی در صورت ایجاد خطا در نمونهبرداری نه تنها باید این مرحله را تکرار کرد بلکه باید تجزیه نمونه‌ها و تفسیر داده‌ها را نیز دوباره انجام داد که در مجموع مخارج زیادی را در بر می‌گیرد. بنابراین نمونهبرداری صحیح از اهمیت خاصی برخوردار است. در نمونهبرداری دست‌کم باید سه پارامتر را در نظر داشت:

1- تعیین مناسب‌ترین محیط نمونهبرداری به عنوان تابعی از اهداف پروژه

2- رعایت نکات فنی نمونهبرداری به منظور برداشت نمونه معرف

3- طراحی شبکه نمونهبرداری بهینه

نمونه‌ها باید در حد قابل قبولی معرف باشند. تعداد نمونه‌ها باید در حدی باشد که موجب کشف هاله‌های ثانوی عناصر مختلف در حوضه‌های آبریز شود. بنابراین انتخاب نمونه مناسب مستلزم داشتن اطلاع کافی از مقیاس پروژه، نوع عناصر مورد اکتشاف و نهایتاً محیط مناسب برای نمونهبرداری است.

## 2-2) طراحی شبکه نمونهبرداری

جهت انجام نمونهبرداری ژئوشیمیایی، نیاز به طراحی شبکه نمونهبرداری می‌باشد. برای این کار نقشه توپوگرافی 1:25000 مربوطه تهیه گردید. سپس نقشه آبراهه منطقه با نقشه زمین شناسی و داده‌های ژئوفیزیک هوایی تلفیق گردید و طراحی شبکه نمونهبرداری بر روی این نقشه طوری انجام گردید که حداکثر سازگاری را با روش مرکز ثقل داشته باشد. درجه مرکزثقل را عوامل متعددی نظیر چینه‌شناسی، سنگ‌شناسی، آلتراسیون و تکتونیک کنترل می‌کنند، در این محدوده در

محل‌هایی که از لحاظ نقشه ژئوفیزیک هوایی، زمین شناسی، تکتونیک و نتایج حاصل از فاز قبلی اکتشاف زمینه‌ای مناسب برای کانه‌زایی را داشته‌اند، تراکم نمونه برداری افزایش یافته است.

### 2-3) عملیات نمونه‌برداری

در این عملیات، پس از یافتن محل نمونه‌ها و کنترل آن با نقشه و دستگاه GPS از رسوب آبراهه با الک جزء ریزتر از مش 80 رسوب آبراهه برداشت گردید. در برداشت این نمونه‌ها که در واقع بخش سیلت و رس رسوب آبراهه را شامل می‌شود، رعایت نکات لازم به منظور اجتناب از هر گونه آلودگی و خطا گردیده است تا نمونه بطور کامل معرف حوضه بالادست باشد.

نمونه ژئوشیمیایی برداشت شده از حدود 200 گرم جزء 80-مش رسوبات آبراهه‌ای می‌باشد که پس از الک کردن رسوب خشک در محل، درون کیسه پلاستیکی ریخته شده و شماره‌گذاری گردیده است.

پس از اتمام نمونه‌برداری و حذف یا اضافه‌شدن نمونه‌های لازم، در نهایت تعداد 72 نمونه ژئوشیمیایی، بدست آمد. بنابراین تراکم شبکه نمونه‌برداری برای این محدوده با وسعت تقریبی 35 کیلومتر، 2/1 نمونه برای هر کیلومترمربع می‌باشد. نقشه (2-1) موقعیت نمونه‌های برداشت شده را در محدوده مورد مطالعه نشان می‌دهد.



## 2-4) آماده‌سازی نمونه‌ها

اهمیت مراحل اکتشافی و صحت هر کدام از آنها در اخذ نتایج نهایی و کشف نهشته‌های پنهان نقش به سزاوی دارد و دقت در حسن اجرای هر مرحله متضمن حصول نتایج واقعی است. پس دقت در تمام مراحل لازمه انجام کار درست می‌باشد.

72 نمونه ژئوشیمی، پس از کنترل نهایی جهت آماده‌سازی به واحد نمونه کوبی آزمایشگاه سازمان زمین شناسی و اکتشافات معدنی کشور منتقل گردید. وزن نمونه‌ها حدود 200 گرم بوده و با استناد به رفرنسهای علمی ژئوشیمی و با توجه به اینکه فطر ذرات کمتر از 80 مش می‌باشد، بیش از 23869 ذره در هر گرم آن موجود است. لذا تقسیم نمونه‌ها و برداشت زیر نمونه‌های آزمایشگاهی به وزن 300 میلی‌گرم از آن با کمتر از 8000 ذره با خطأ همراه می‌باشد، زیرا دارای کمتر از 100000 ذره است.

بنابراین اگر قطر ذرات نمونه را تا 200- مش کاهش دهیم در هر گرم آن بیش از 372953 ذره موجود خواهد بود. درنتیجه با برداشت زیر نمونه‌های 300 میلی‌گرمی (که در آن بیش از 100000 ذره وجود دارد) با خطای قابل قبولی رویرو خواهیم بود.

## 2-5) آنالیز نمونه‌ها

نمونه‌های ژئوشیمیایی پس از نرمایش، به منظور آنالیز به آزمایشگاه کرج سازمان زمین شناسی و اکتشافات معدنی کشور، ارسال گردید. این نمونه‌ها برای 43 عنصر که در جدول (1-2) آمده است، مورد آنالیز قرار گرفتند. حد حساسیت عناصر همراه با روش آنالیز نیز جدول زیر آورده شده است.

جدول (2-1): حدساست عنصر همراه با روش آنالیز

| Element s | Method | Unit | Detection Limit | Element s | Method | Unit | Detection Limit |
|-----------|--------|------|-----------------|-----------|--------|------|-----------------|
| Au        | ES     | ppb  | 1               | Ti        | ICP    | ppm  | 10              |
| Hg        | AA     | ppm  | 0.05            | Zr        | ICP    | ppm  | 1               |
| Sb        | AA     | ppm  | 0.5             | V         | ICP    | ppm  | 2               |
| Bi        | AA     | ppm  | 0.1             | Cr        | ICP    | ppm  | 2               |
| Cs        | ICP    | ppm  | 0.5             | Mn        | ICP    | ppm  | 5               |
| Mo        | ICP    | ppm  | 0.3             | Fe        | ICP    | ppm  | 50              |
| Co        | ICP    | ppm  | 0.5             | Ni        | ICP    | ppm  | 1               |
| Ag        | ICP    | ppm  | 0.1             | Zn        | ICP    | ppm  | 0.5             |
| Cd        | ICP    | ppm  | 0.1             | Al        | ICP    | ppm  | 10              |
| Pb        | ICP    | ppm  | 0.5             | Ca        | ICP    | ppm  | 10              |
| As        | ICP    | ppm  | 1               | Ce        | ICP    | ppm  | 0.5             |
| Rb        | ICP    | ppm  | 0.1             | Cu        | ICP    | ppm  | 0.5             |
| W         | ICP    | ppm  | 1               | K         | ICP    | ppm  | 10              |
| P         | ICP    | ppm  | 10              | La        | ICP    | ppm  | 10              |
| S         | ICP    | ppm  | 50              | Sc        | ICP    | ppm  | 0.1             |
| Tl        | ICP    | ppm  | 0.2             | Th        | ICP    | ppm  | 1               |
| Sn        | ICP    | ppm  | 1               | Yb        | ICP    | ppm  | 0.1             |
| Te        | ICP    | ppm  | 0.01            | Na        | ICP    | ppm  | 10              |
| U         | ICP    | ppm  | 1               | Mg        | ICP    | ppm  | 10              |
| Li        | ICP    | ppm  | 0.2             | Y         | ICP    | ppm  | 0.2             |
| Be        | ICP    | ppm  | 0.1             | Sr        | ICP    | ppm  | 0.1             |
| Ba        | ICP    | ppm  | 0.2             |           |        |      |                 |

## فصل سوم

# پردازش داده‌ها

### 3-1) مقدمه

پردازش داده‌ها مرحله‌ای است که طی آن به حجم زیاد اطلاعات گردآوری شده سامان داده می‌شود و با اعمال محاسبات آماری و زمین‌آماری گوناگون اطلاعات به شکل قابل تفسیر درمی‌آیند. در طی این مراحل کنترلهای مختلفی صورت می‌گیرد تا از بروز خطاهای احتمالی جلوگیری شود. هدف از اکتشافات ژئوشیمیایی، معرفی آنومالیهای ژئوشیمیایی در ارتباط با کانی‌سازی می‌باشد. ولی نباید تصور کرد که منظور از این آنومالی وجود مقادیر بسیار بالای یک یا چند عنصر در محیط نمونه‌برداری رسوبات آبراهه‌ای می‌باشد، بلکه چنین آنومالی براساس میزان انحراف داده‌های ژئوشیمیایی از یک سری مقادیر ناحیه‌ای که تحت عنوان زمینه نامیده می‌شود، شناخته و مشخص می‌گردد. وظیفه چنین شناخت و جدایشی بر عهده پردازش آماری داده‌های ژئوشیمیایی است. در واقع در پردازش‌های آماری نتایج حاصل از آنالیز نمونه‌های ژئوشیمیایی تحت عنوان یک جامعه آماری توسط روش‌های مختلف مورد تجزیه و تحلیل قرار می‌گیرند، ارتباط پارازنی عناصر بایکدیگر بررسی می‌گردد، مقادیر زمینه شناسایی شده و براساس آن آنومالی معرفی می‌گردد. البته لازم به ذکر است که تعداد زیادی از آنومالی‌های ژئوشیمیایی وجود دارند که در ارتباط با کانی‌سازی نبوده و در نهایت عنوان آنومالی کاذب معرفی می‌گردد، که یکی از نتایج پردازش ژئوشیمیایی تفکیک آنومالی‌های مرتبط با کانی‌سازی از نوع کاذب می‌باشد.

### 3-2) تخمین مقادیر سنسورد

شرط لازم جهت پردازش‌های آماری داده‌ها، حضور داده‌های عددی و غیر سنسورد است. داده‌های سنسورد به داده‌هایی گفته می‌شود که به دلیل اینکه خارج از محدوده حد حساسیت و قابلیت اندازه‌گیری دستگاه است، بصورت کوچکتر یا بزرگتر حد حساسیت بیان می‌شود. حضور مقادیر سنسورد، پردازش داده‌ها را با خلل مواجه می‌کند، بهمین علت عناصری که تعداد مقادیر سنسورد آنها زیاد است از پردازش حذف می‌شوند ولی اگر تعداد داده‌های سنسورد در حد قابل

قبول باشد، مقادیر آن باید توسط روش های مختلف جایگزین شده و مانند مابقی داده های غیر سنسورد مورد استفاده قرار گیرد. در جدول (1-3) عناصر سنسورد به همراه مقدار جایگزینی آمده است. بقیه عناصر همگی دارای مقادیر غیرسنسورد بوده اند.

جدول (1-3): عناصر سنسورد به همراه مقدار جایگزینی

| عنصر | حد حساسیت | تعداد سنسورد | مقدار جایگزینی |
|------|-----------|--------------|----------------|
| Au   | 1(ppb)    | 13           | 0/75(ppb)      |
| Hg   | 0/05(ppm) | 54           | _____          |

### (3-3) بررسی داده های خام:

منظور از داده خام، داده ای است که در ابتدای پردازش به عنوان ورودی پروژه وجود دارد و هیچگونه پردازشی بر روی آن صورت نگرفته است. در پردازش آماری داده ها، قدم اول شناخت ماهیت تابع توزیع و خصلت های آماری مربوط به آنها می باشد. چرا که پردازش بر روی داده هایی که خصلت ناشناخته دارند، با دید بسته ای صورت می گیرد و احتمال بروز خطا در آن بسیار بالا می رود. بطور کلی 21 عنصر جهت پردازش مشخص گردیدند. جهت بررسی داده های خام ابتدا اقدام به محاسبه پارامترهای آماری مهم نظیر میانگین<sup>۱</sup>، میانه<sup>۲</sup>، انحراف معیار<sup>۳</sup>، واریانس<sup>۴</sup>، چولگی<sup>۵</sup>، کشیدگی<sup>۶</sup>، مینیمم مقدار و ماکزیمم مقدار مربوط به هر عنصر به همراه ترسیم هیستوگرام داده های خام و نرمال شده مربوط به آنها گردید که در اشکال (1-3) تا (21-3) آمده است.

1- Mean

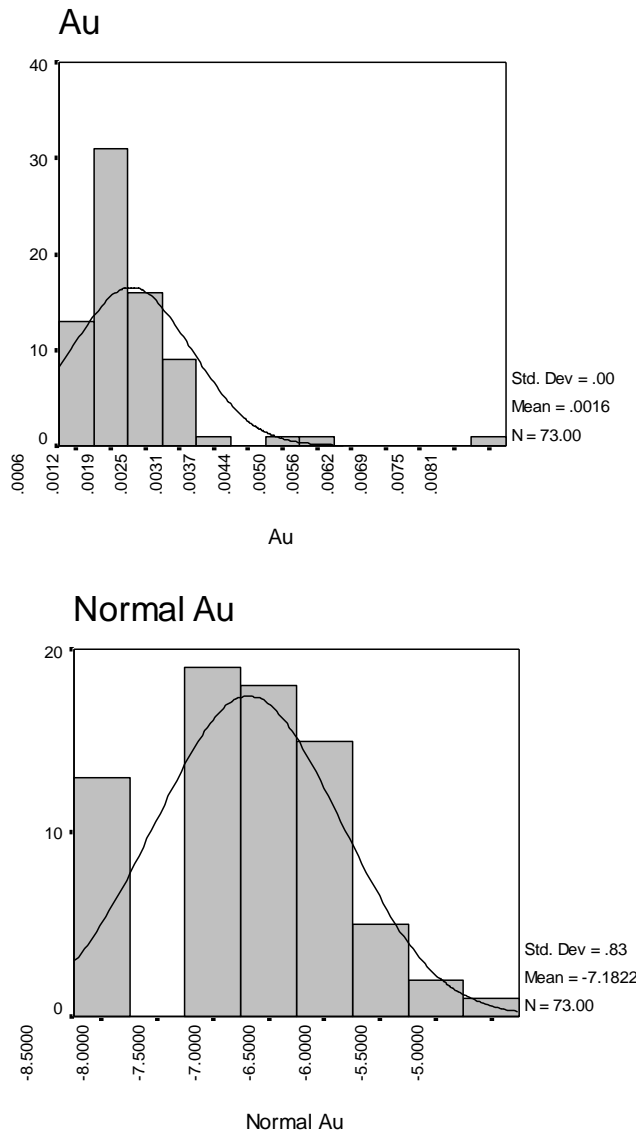
2- Median

3- Standard Deviation

4- Variance

5- Skewness

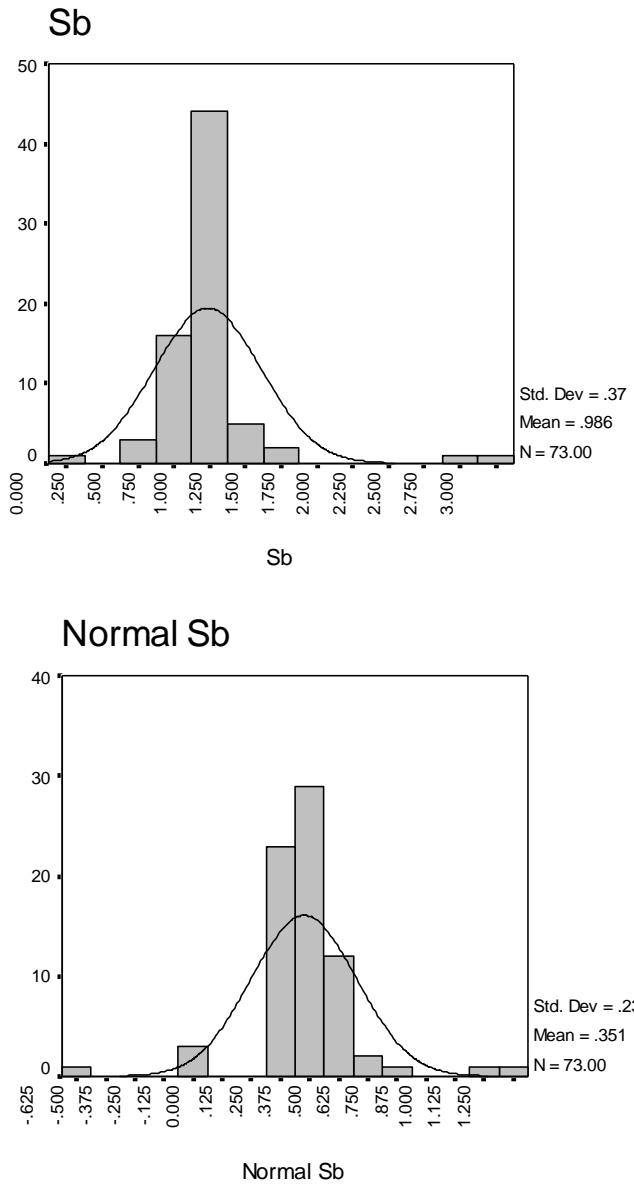
6- Kurtosis



### Statistics

|                        |         | Au       | Normal Au |
|------------------------|---------|----------|-----------|
| N                      | Valid   | 73       | 73        |
|                        | Missing | 0        | 0         |
| Mean                   |         | .001624  | -7.1822   |
| Median                 |         | .001400  | -7.0738   |
| Std. Deviation         |         | .0010993 | .83295    |
| Variance               |         | .0000012 | .69380    |
| Skewness               |         | 3.663    | -.009     |
| Std. Error of Skewness |         | .281     | .281      |
| Kurtosis               |         | 18.345   | -.054     |
| Std. Error of Kurtosis |         | .555     | .555      |
| Minimum                |         | .0008    | -8.53     |
| Maximum                |         | .0082    | -4.87     |

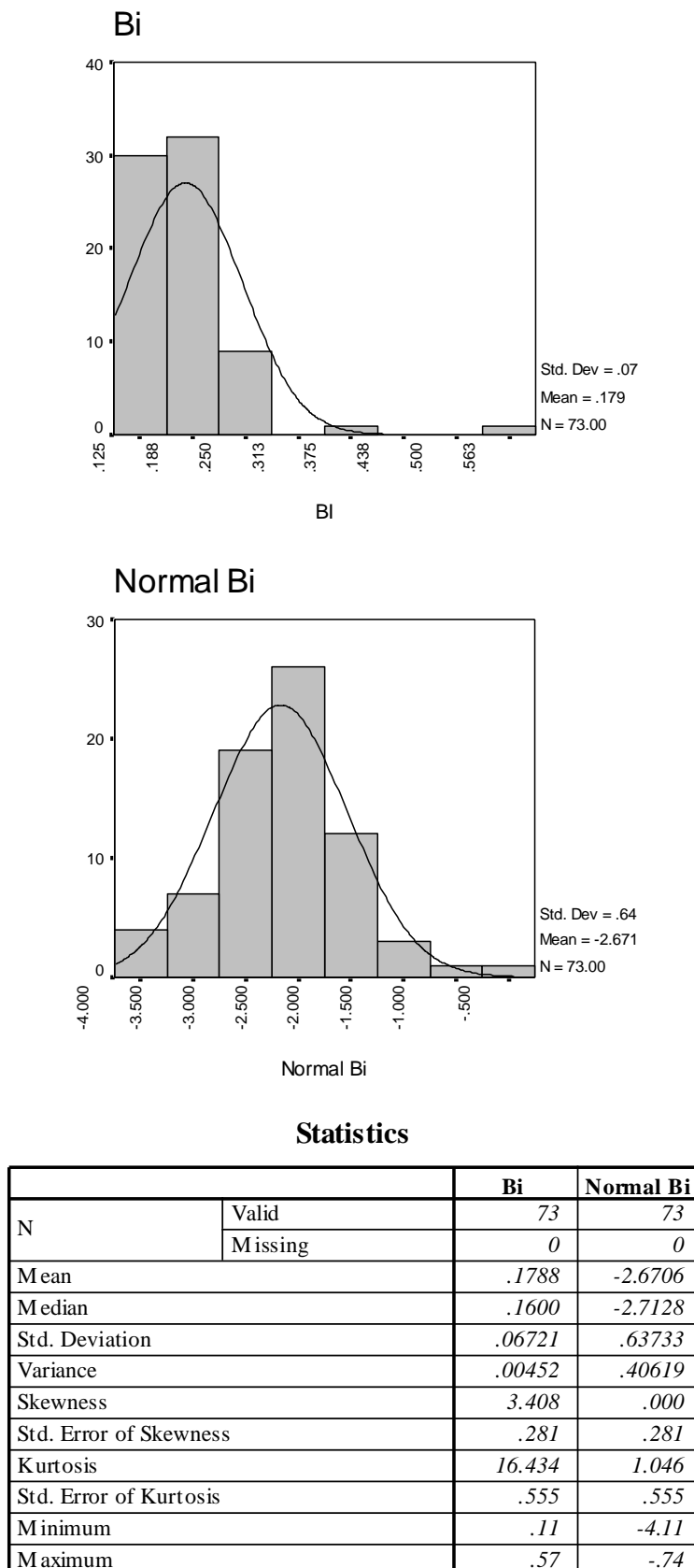
شکل (3-1): پارامترهای آماری عنصر طلا به همراه هیستوگرام داده‌های خام و نرمال شده



### Statistics

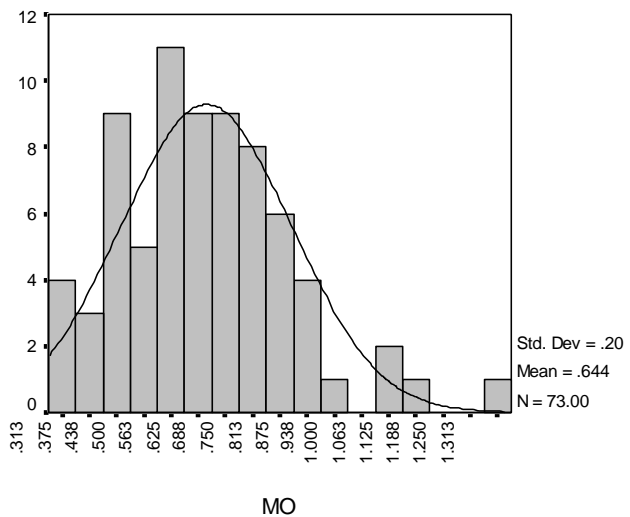
| N                      | Valid   | Sb     | Normal Sb |
|------------------------|---------|--------|-----------|
|                        | Missing | 0      | 0         |
| Mean                   | .9863   | .3509  |           |
| Median                 | .9400   | .3447  |           |
| Std. Deviation         | .37394  | .22583 |           |
| Variance               | .13983  | .05100 |           |
| Skewness               | 3.126   | .000   |           |
| Std. Error of Skewness | .281    | .281   |           |
| Kurtosis               | 15.672  | 9.516  |           |
| Std. Error of Kurtosis | .555    | .555   |           |
| Minimum                | .05     | -.65   |           |
| Maximum                | 2.90    | 1.22   |           |

شکل (2-3): پارامترهای آماری عنصر آنتیموان به همراه هیستوگرام داده‌های خام و نرمال شده

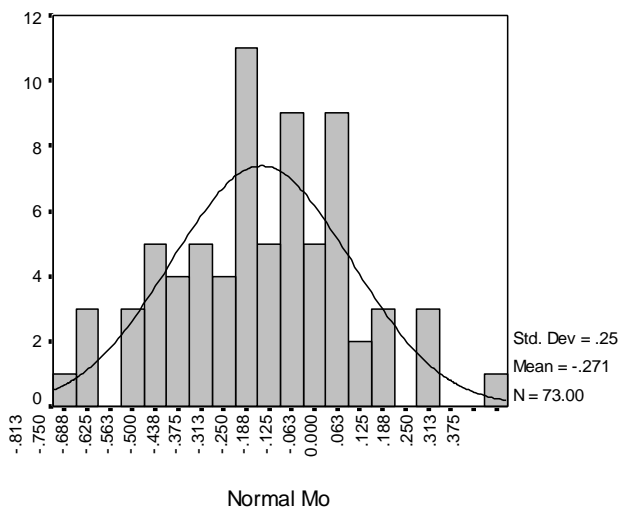


شکل (3-3): پارامترهای آماری عنصر بیسموت به همراه هیستوگرام داده‌های خام و نرمال شده

Mo



Normal Mo

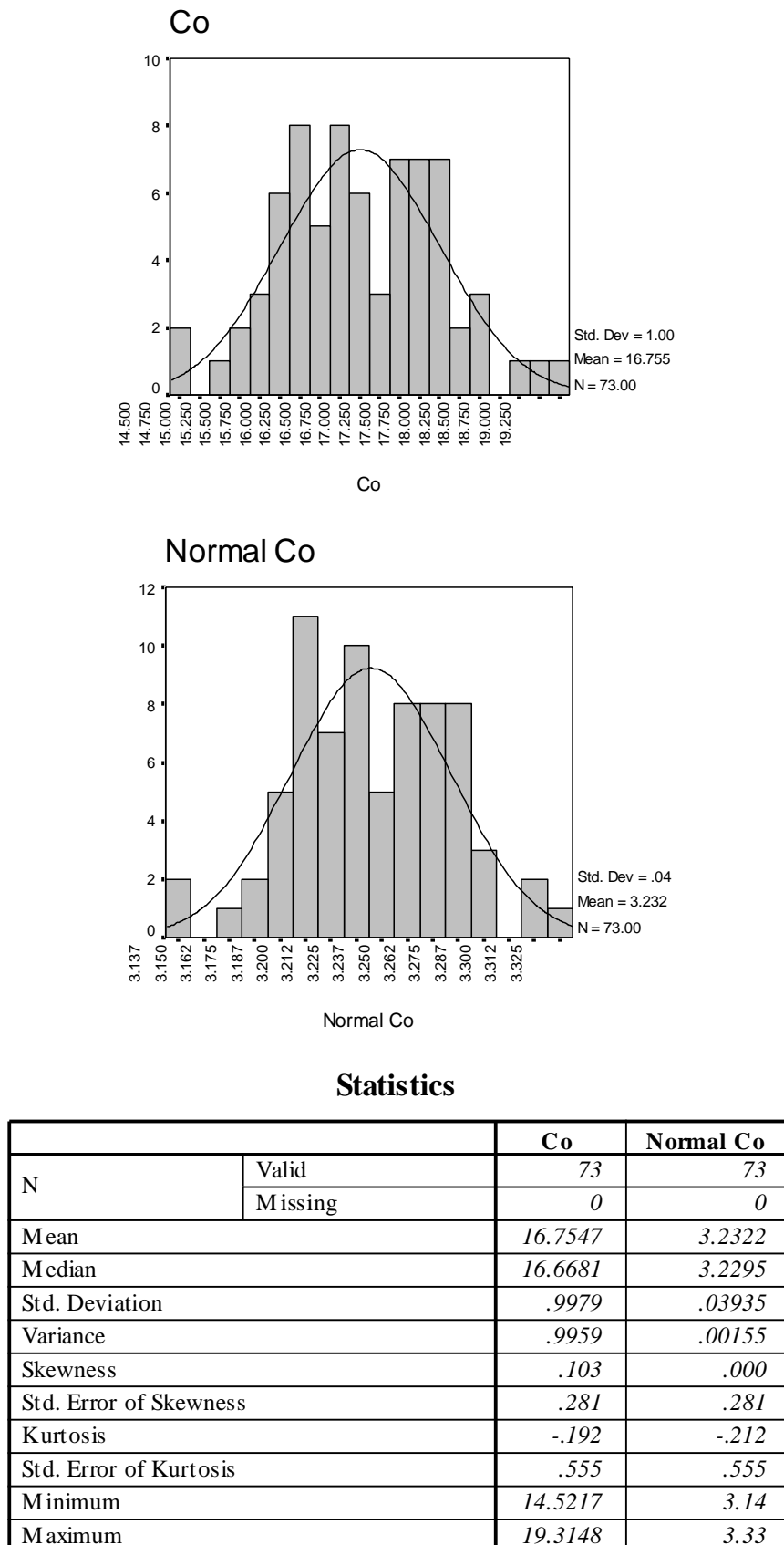


Normal Mo

Statistics

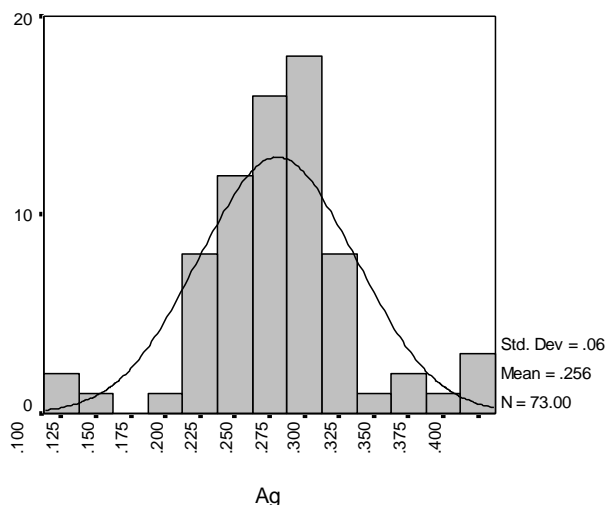
|                        |         | Mo     | Normal Mo |
|------------------------|---------|--------|-----------|
| N                      | Valid   | 73     | 73        |
|                        | Missing | 0      | 0         |
| Mean                   |         | .6437  | -.2710    |
| Median                 |         | .6139  | -.2798    |
| Std. Deviation         |         | .1957  | .24607    |
| Variance               |         | .0383  | .06055    |
| Skewness               |         | .7141  | .000      |
| Std. Error of Skewness |         | .2810  | .281      |
| Kurtosis               |         | .8410  | -.145     |
| Std. Error of Kurtosis |         | .5552  | .555      |
| Minimum                |         | .2964  | -.82      |
| Maximum                |         | 1.2819 | .35       |

شکل (3-4): پارامترهای آماری عنصر مولیبدن به همراه هیستوگرام داده‌های خام و نرمال شده

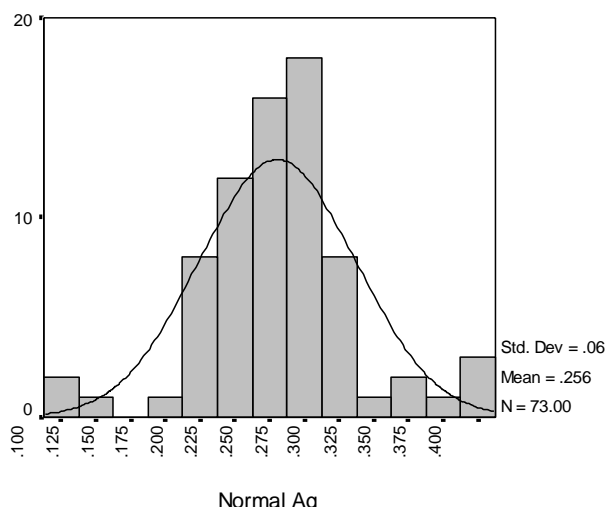


شکل (5-3): پارامترهای آماری عنصر کباتل به همراه هیستوگرام داده‌های خام و نرمال شده

**Ag**



**Normal Ag**

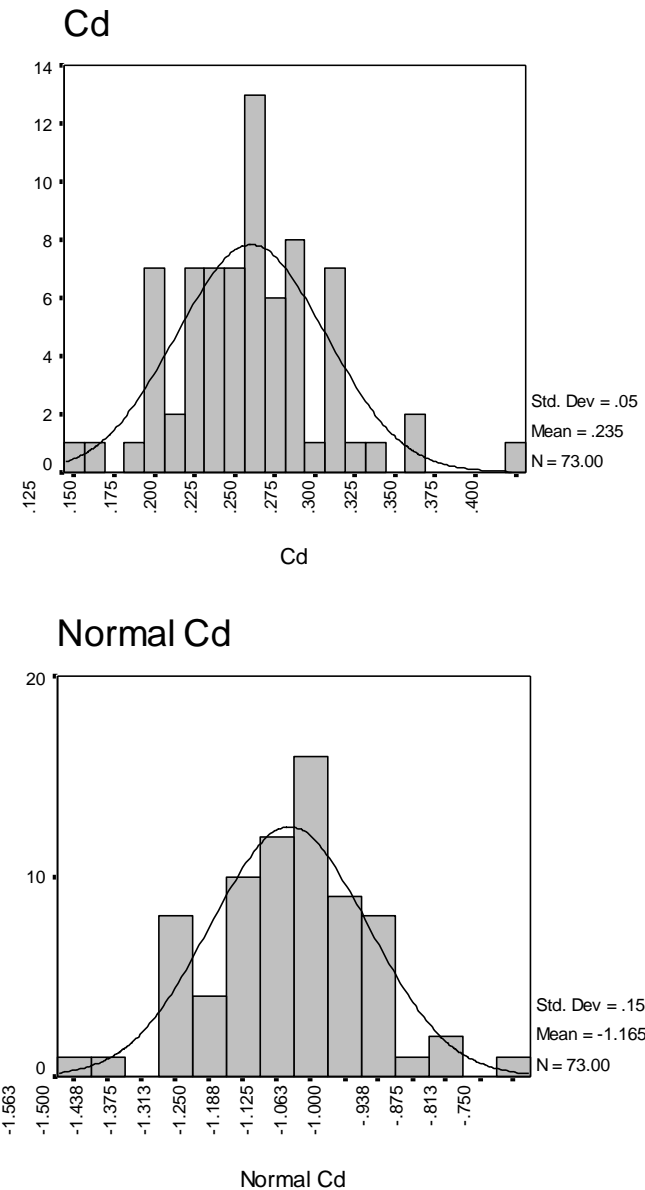


Normal Ag

### Statistics

| N                      | Valid   | Ag     | Normal Ag |
|------------------------|---------|--------|-----------|
|                        | Missing | 0      | 0         |
| Mean                   |         | .2556  | .2556     |
| Median                 |         | .2577  | .2577     |
| Std. Deviation         |         | .0564  | .0564     |
| Variance               |         | .0032  | .0032     |
| Skewness               |         | .1000  | .1000     |
| Std. Error of Skewness |         | .2810  | .2810     |
| Kurtosis               |         | 2.0647 | 2.0647    |
| Std. Error of Kurtosis |         | .5552  | .5552     |
| Minimum                |         | .0942  | .0942     |
| Maximum                |         | .4043  | .4043     |

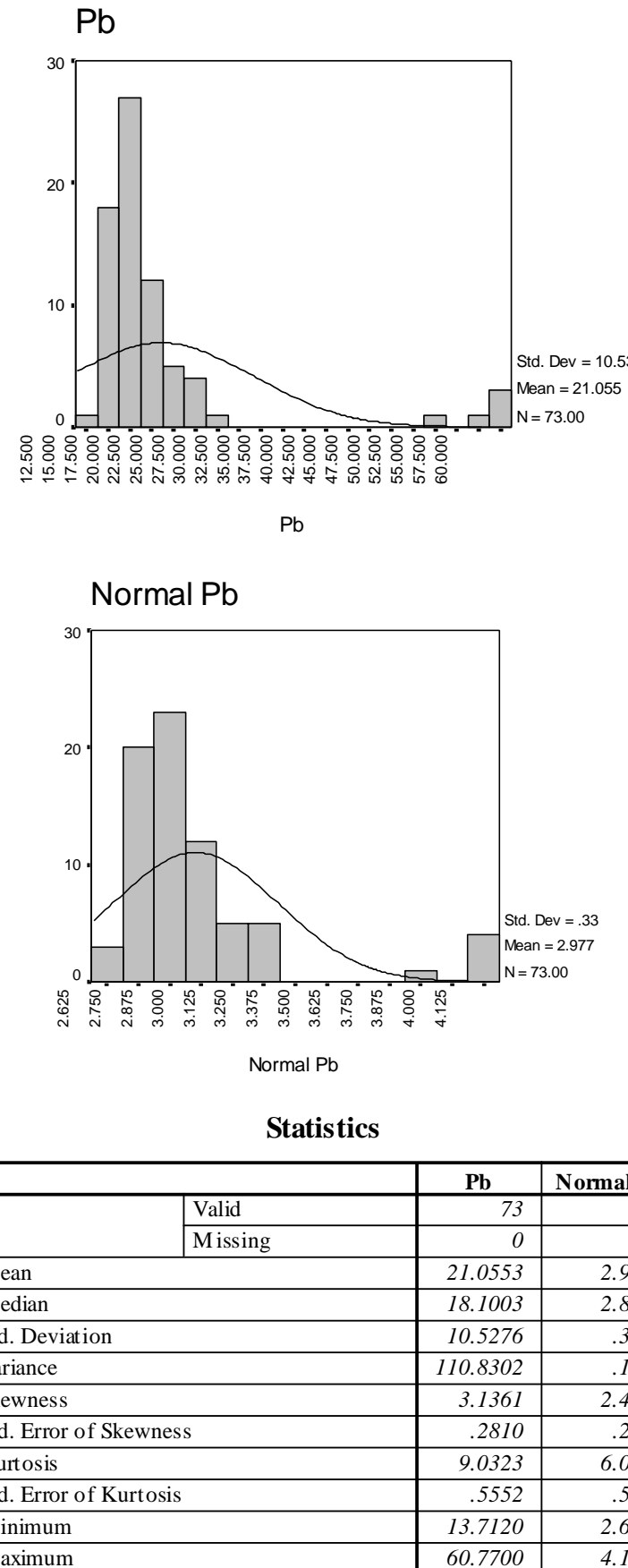
شکل (6-3): پارامترهای آماری عنصر نقره به همراه هیستوگرام داده‌های خام و نرمال شده



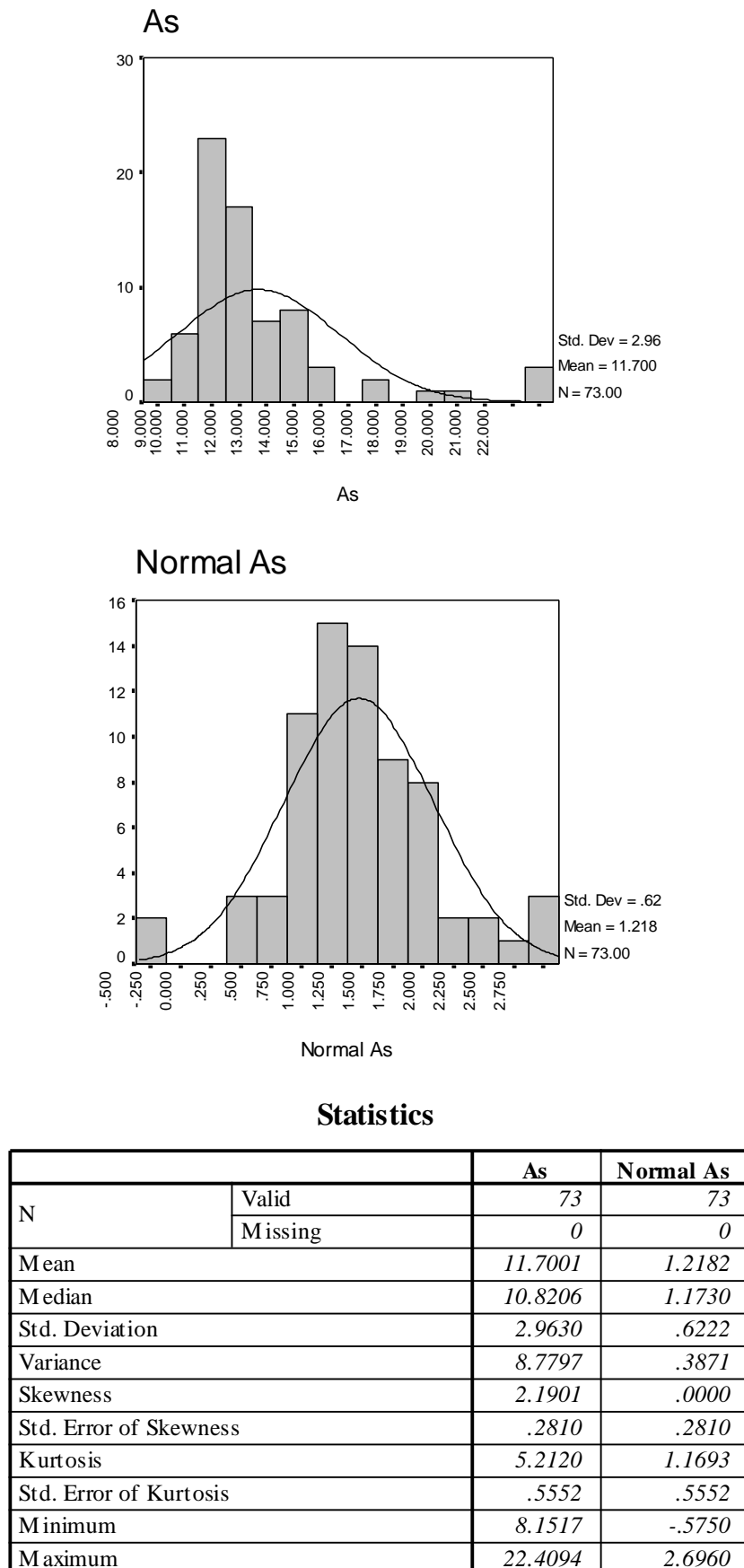
### Statistics

|                        |         | <b>Cd</b> | <b>Normal Cd</b> |
|------------------------|---------|-----------|------------------|
| N                      | Valid   | 73        | 73               |
|                        | Missing | 0         | 0                |
| Mean                   |         | .2352     | -1.1649          |
| Median                 |         | .2366     | -1.1500          |
| Std. Deviation         |         | .0464     | .1457            |
| Variance               |         | .0022     | .0212            |
| Skewness               |         | .6453     | .0003            |
| Std. Error of Skewness |         | .2810     | .2810            |
| Kurtosis               |         | 1.8154    | .9380            |
| Std. Error of Kurtosis |         | .5552     | .5552            |
| Minimum                |         | .1269     | -1.5753          |
| Maximum                |         | .4058     | -.7219           |

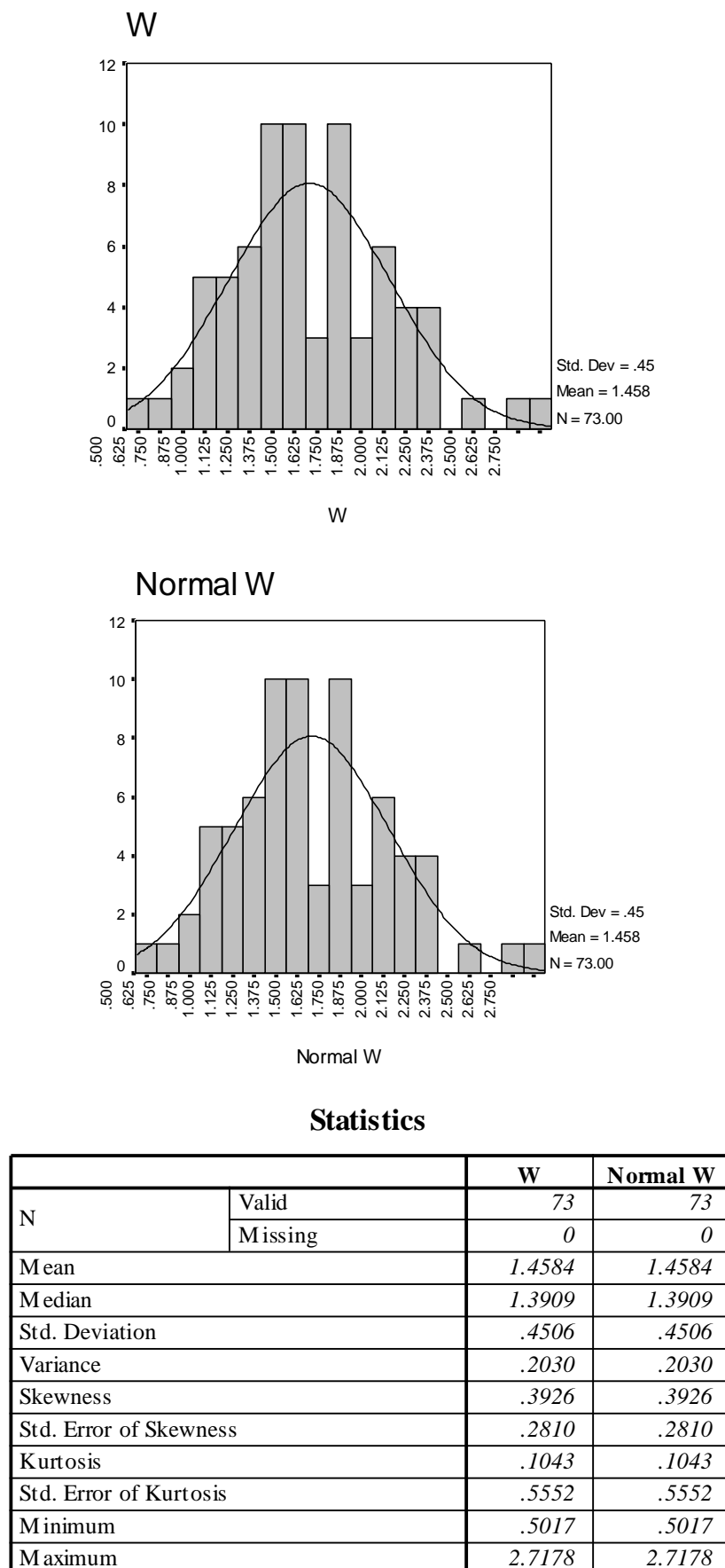
شکل (7-3): پارامترهای آماری عنصر کادمیوم به همراه هیستوگرام داده‌های خام و نرمال شده



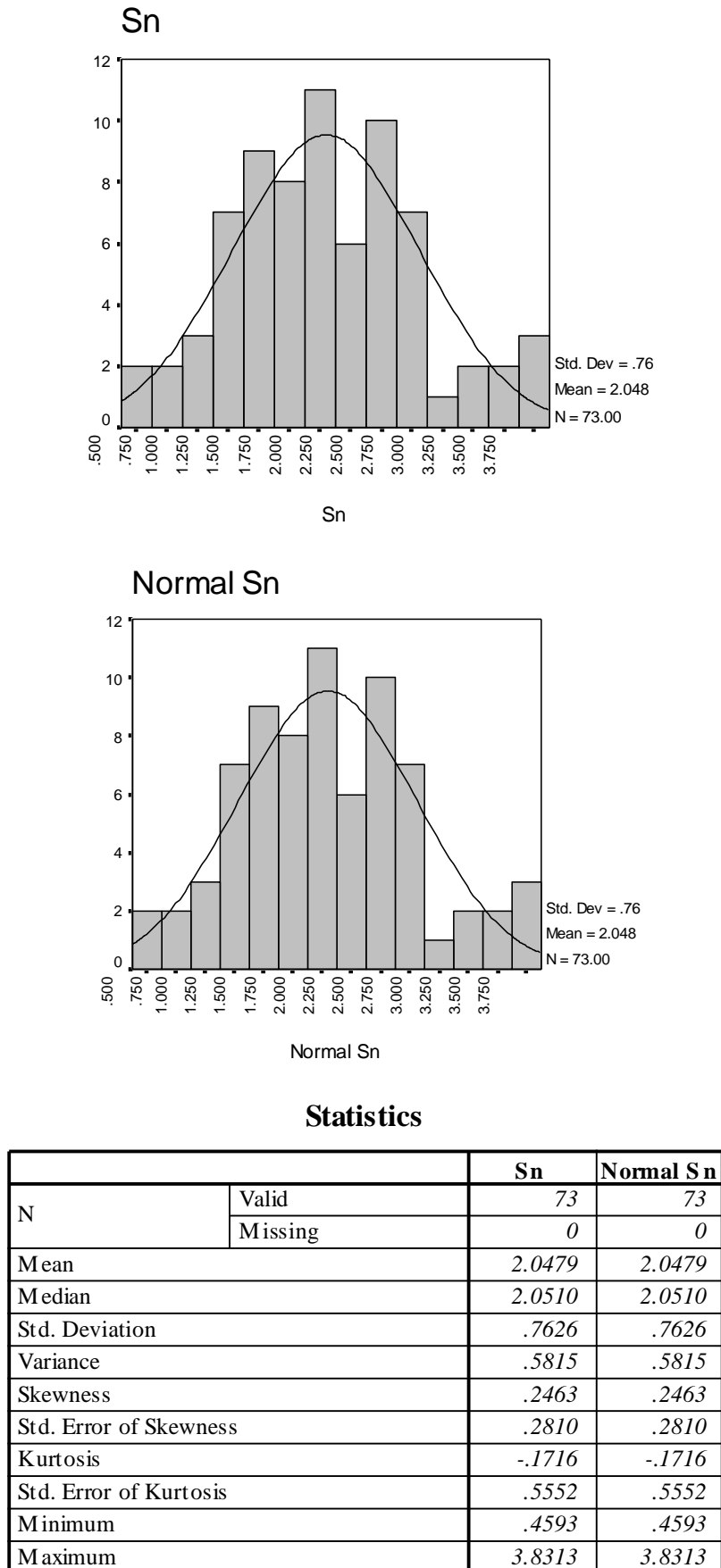
شکل (8-3): پارامترهای آماری عنصر سرب به همراه هیستوگرام داده‌های خام و نرمال شده



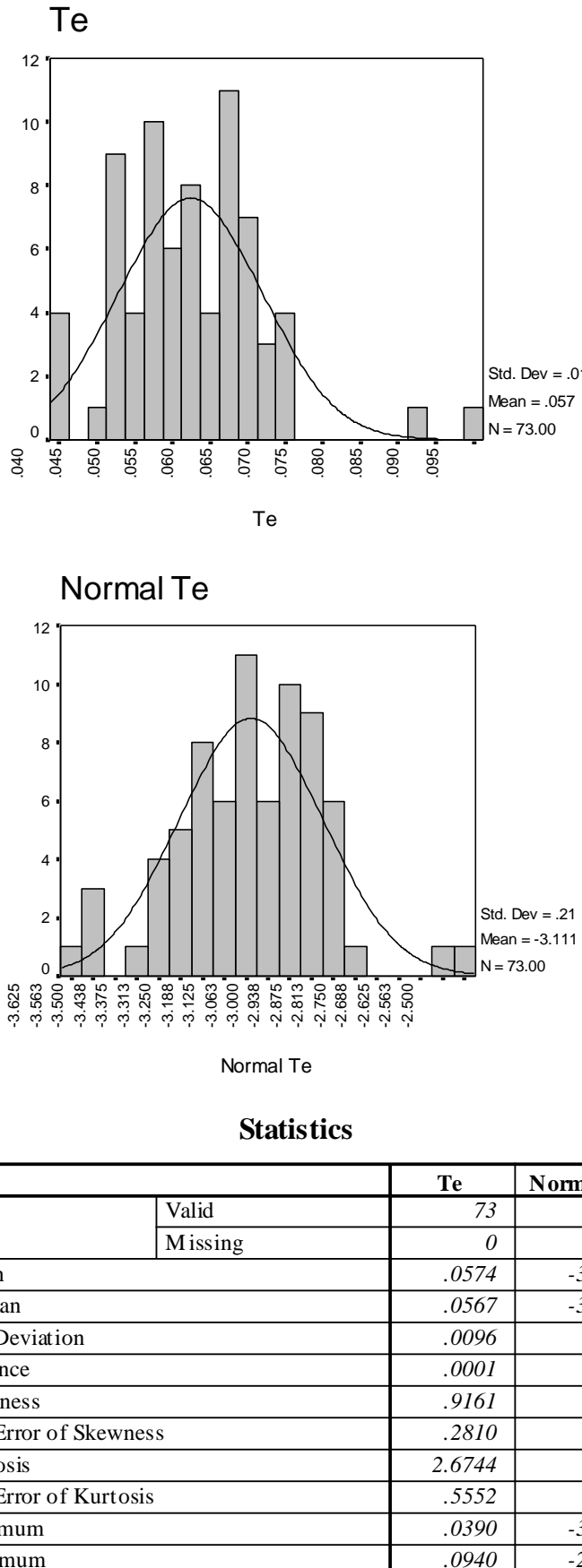
شکل (3-9): پارامترهای آماری عنصر آرسنیک به همراه هیستوگرام داده‌های خام و نرمال شده



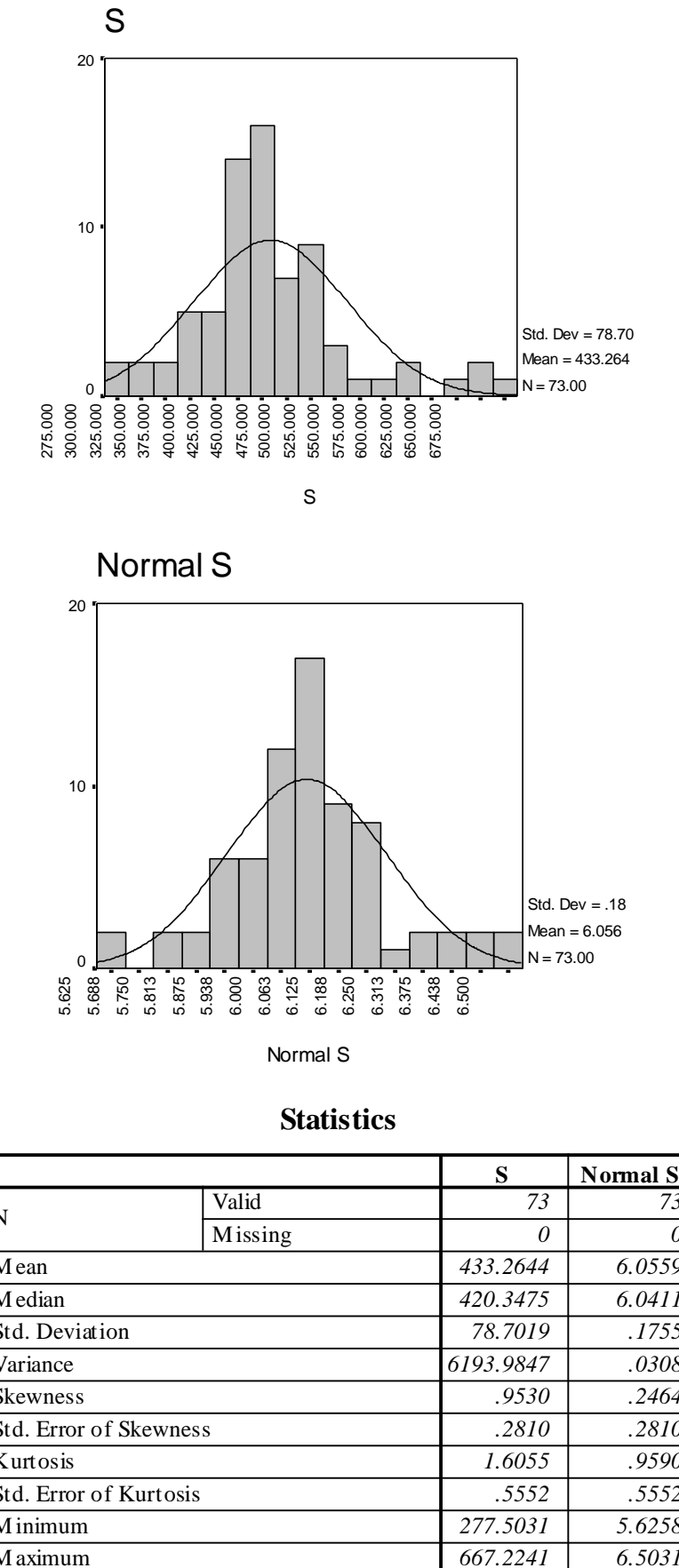
شکل (3-10): پارامترهای آماری عنصر تنگستان به همراه هیستوگرام داده‌های خام و نرمال شده



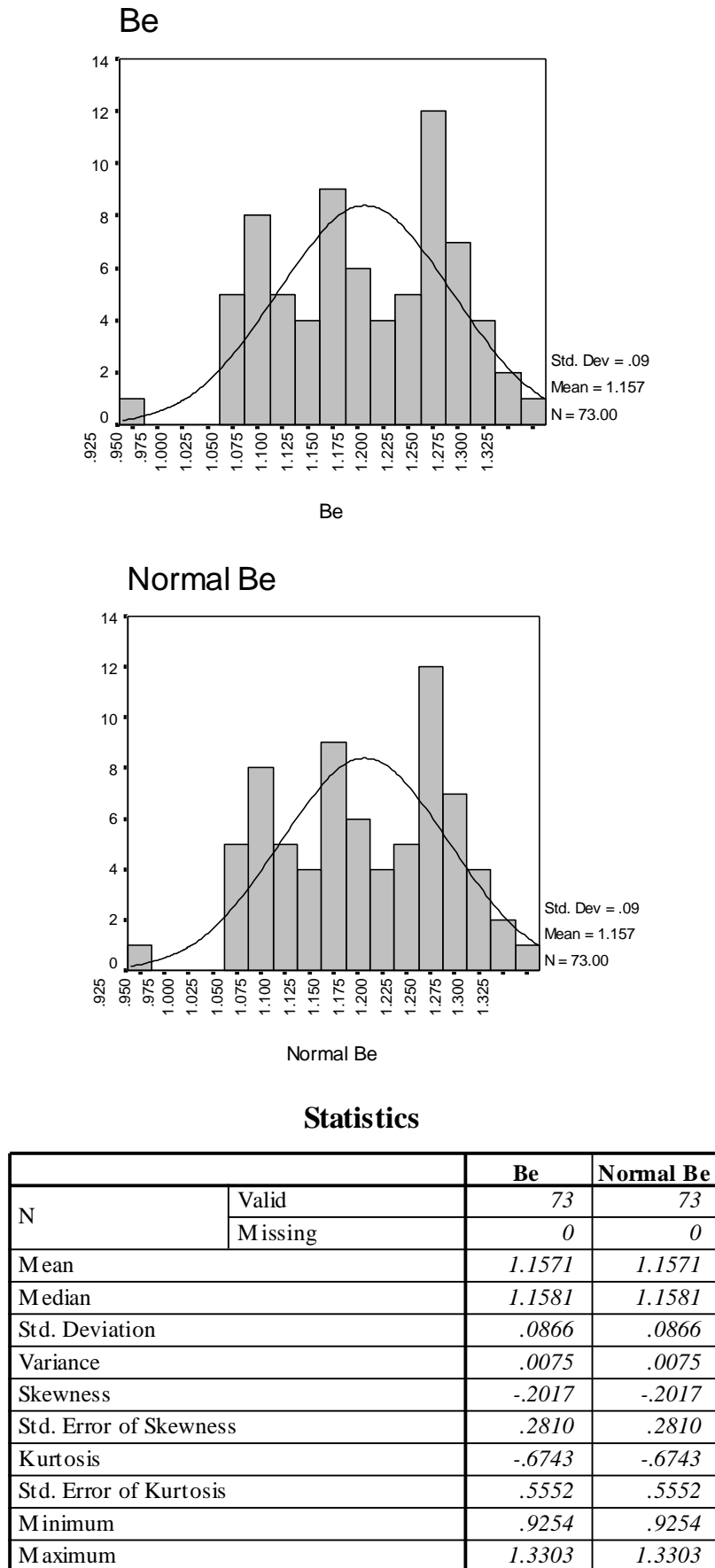
شكل (11-3): پارامترهای آماری عنصر قلع به همراه هیستوگرام داده‌های خام و نرمال شده



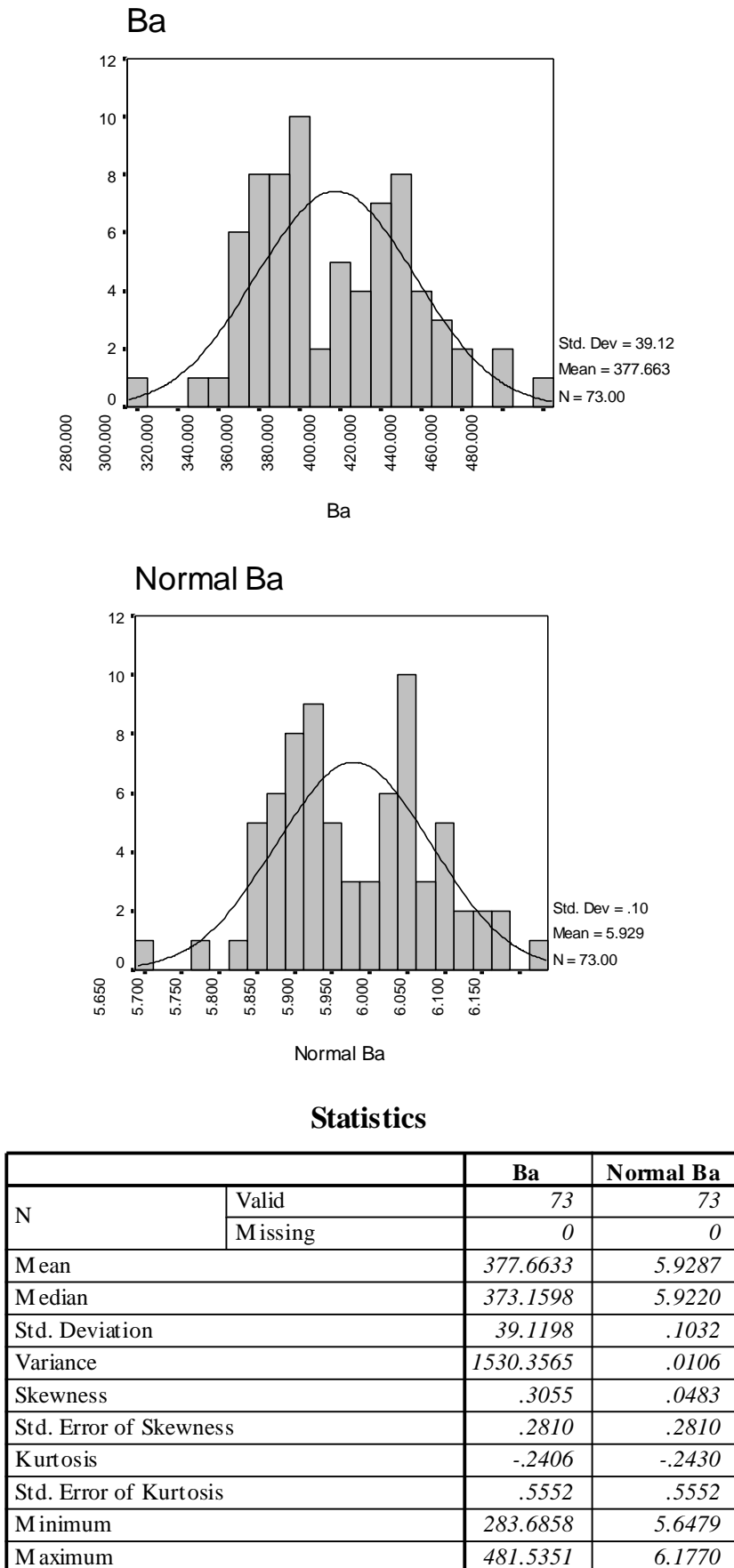
شکل (12-3): پارامترهای آماری عنصر تلور به همراه هیستوگرام داده‌های خام و نرمال شده



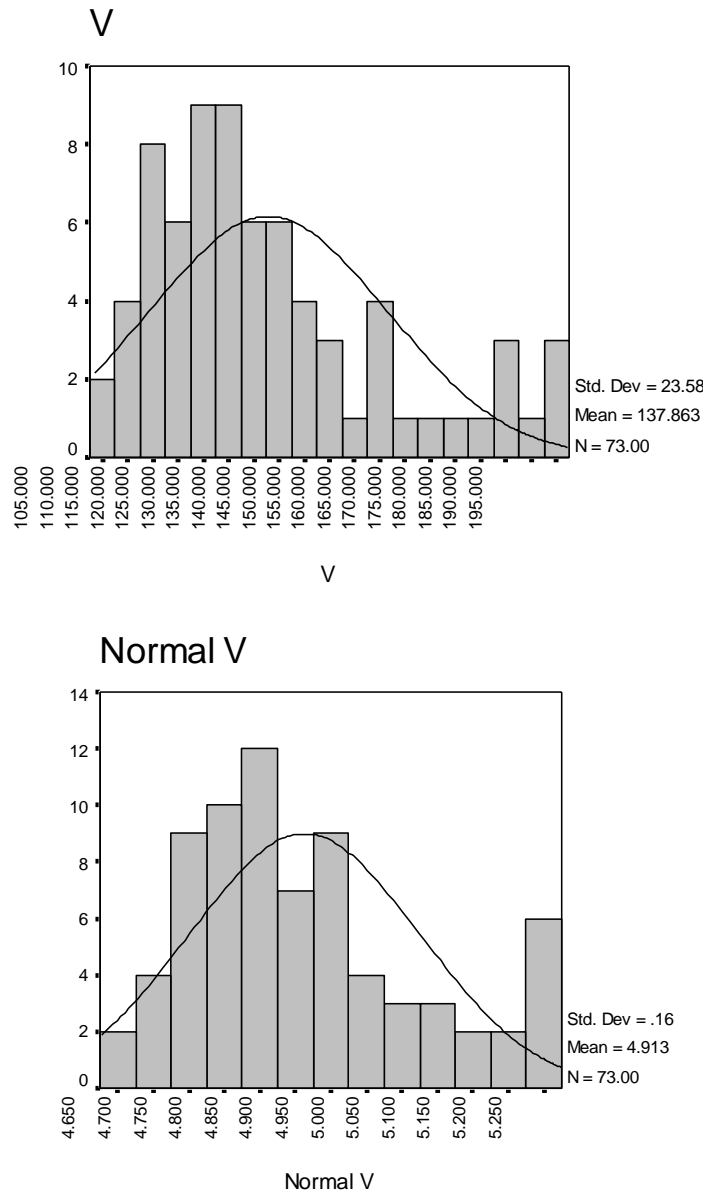
شکل (3-13): پارامترهای آماری عنصر گوگرد به همراه هیستوگرام داده‌های خام و نرمال شده



شکل (14-3): پارامترهای آماری عنصر بریلیوم به همراه هیستوگرام داده‌های خام و نرمال شده



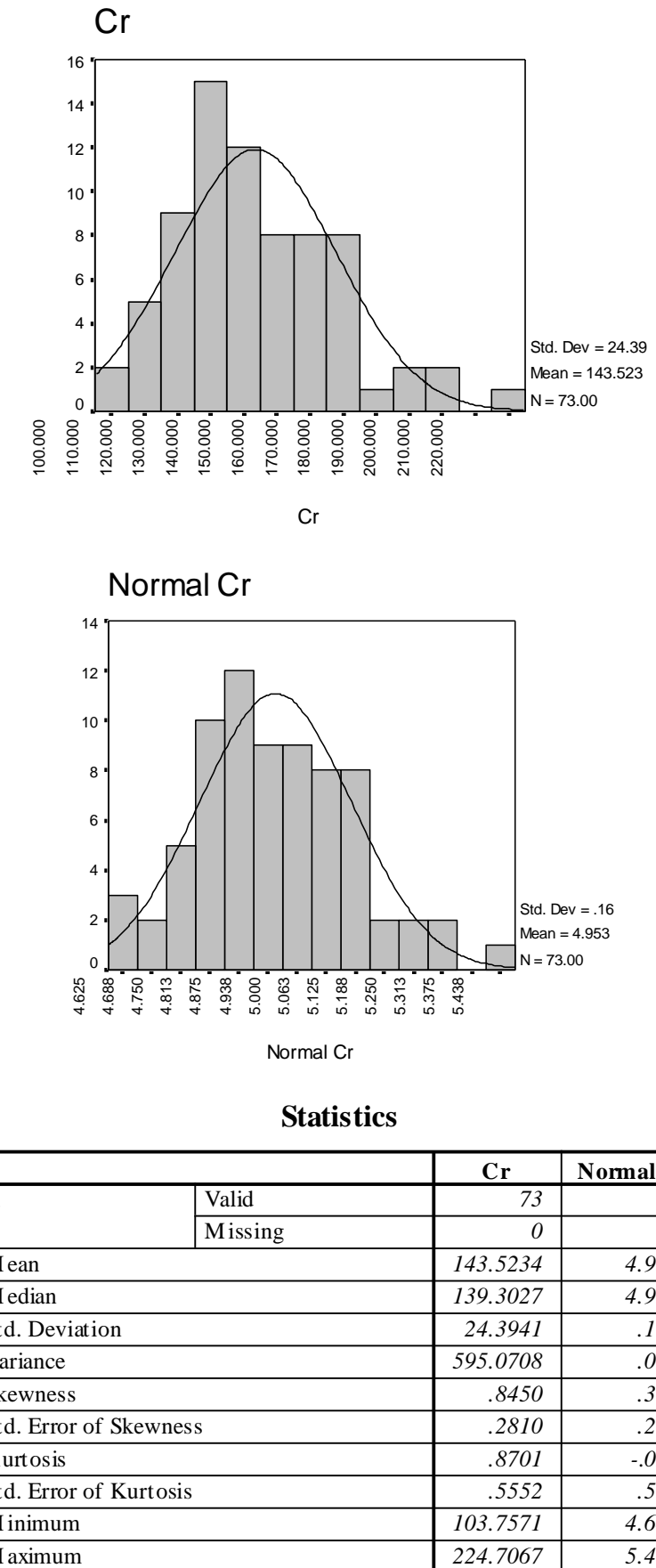
شكل (15-3): پارامترهای آماری عنصر باریم به همراه هیستوگرام داده‌های خام و نرمال شده



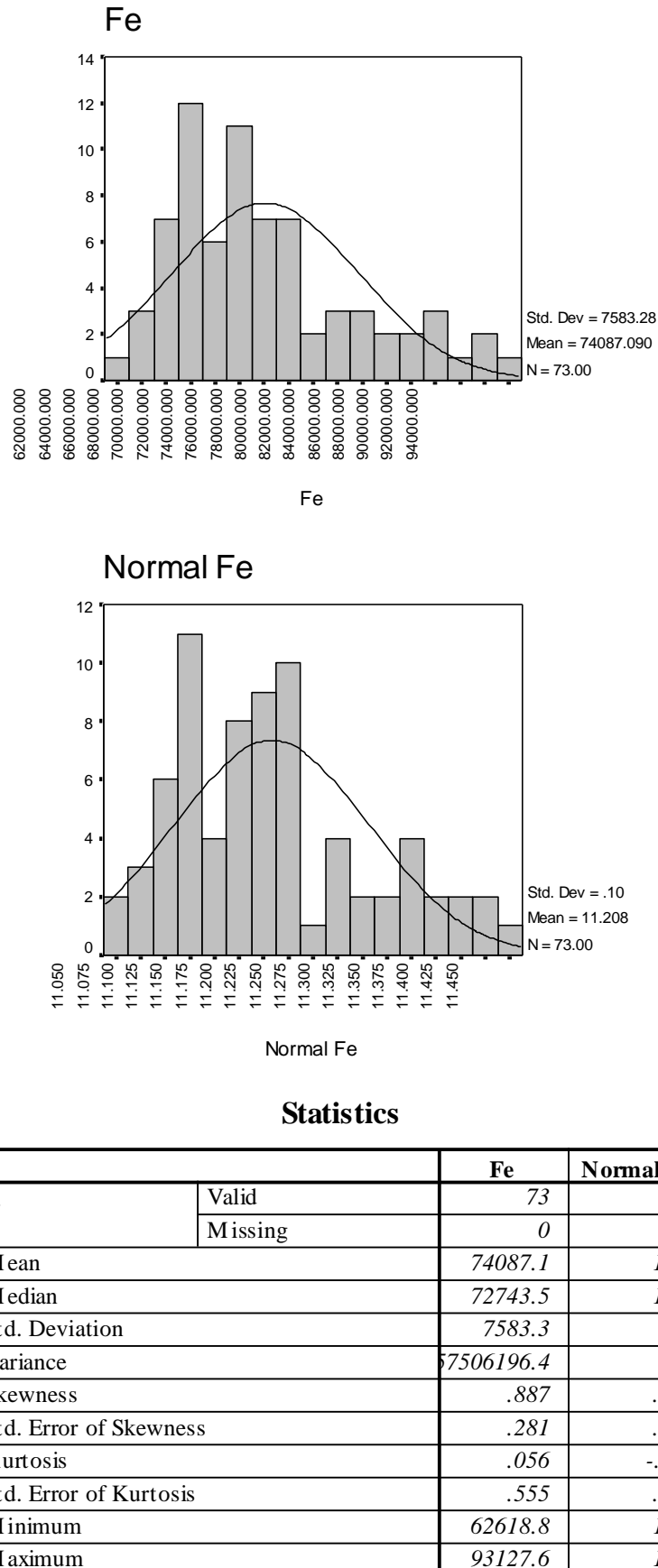
### Statistics

|                        |         | V        | Normal V |
|------------------------|---------|----------|----------|
| N                      | Valid   | 73       | 73       |
|                        | Missing | 0        | 0        |
| Mean                   |         | 137.8627 | 4.9129   |
| Median                 |         | 130.8869 | 4.8743   |
| Std. Deviation         |         | 23.5846  | .1616    |
| Variance               |         | 556.2335 | .0261    |
| Skewness               |         | .9960    | .7225    |
| Std. Error of Skewness |         | .2810    | .2810    |
| Kurtosis               |         | .1303    | -.3018   |
| Std. Error of Kurtosis |         | .5552    | .5552    |
| Minimum                |         | 106.0340 | 4.6638   |
| Maximum                |         | 194.7970 | 5.2720   |

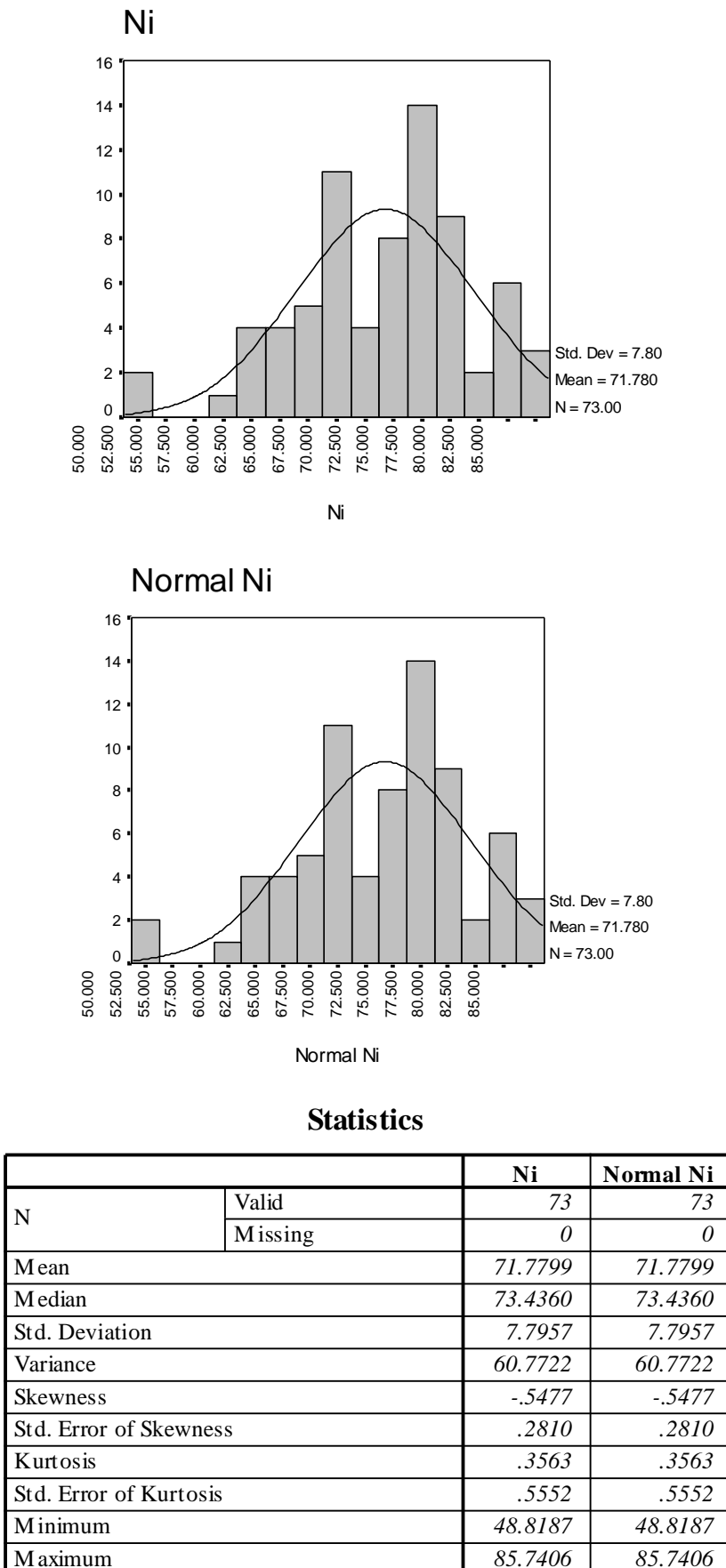
شکل (3-16): پارامترهای آماری عنصر واندیم به همراه هیستوگرام داده‌های خام و نرمال شده



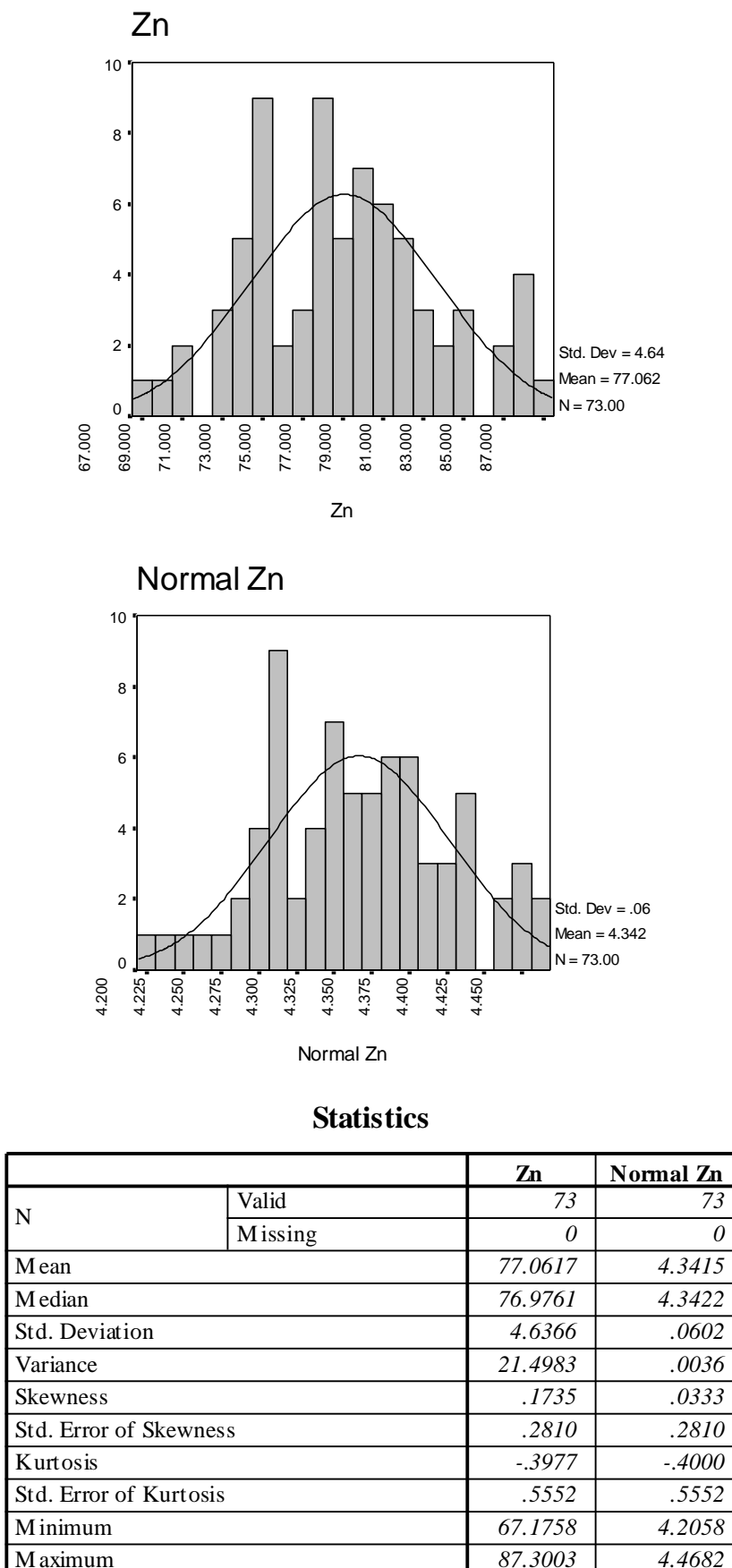
شکل (17-3): پارامترهای آماری عنصر کروم به همراه هیستوگرام داده‌های خام و نرمال شده



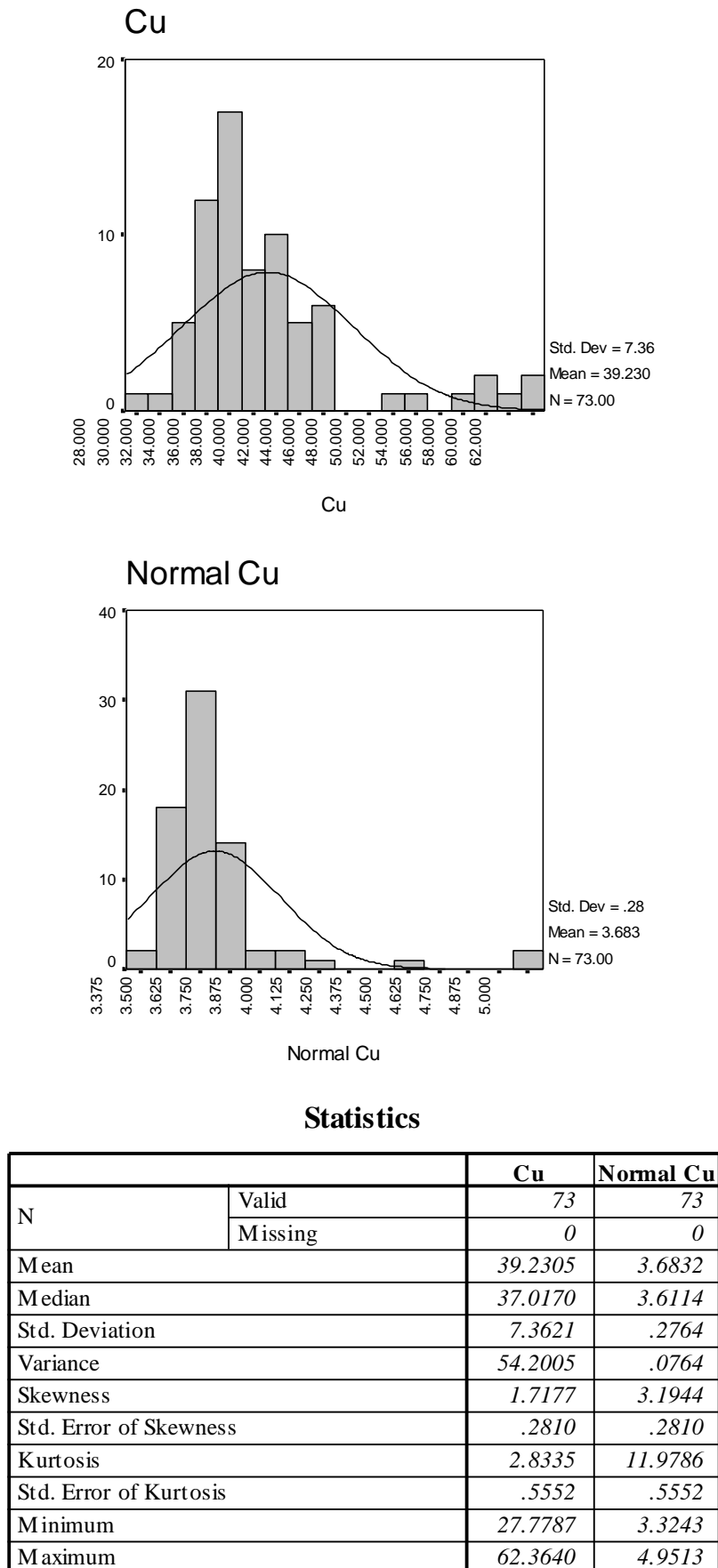
شکل (18-3): پارامترهای آماری عنصر آهن به همراه هیستوگرام داده‌های خام و نرمال شده



شكل (19-3): پارامترهای آماری عنصر نیکل به همراه هیستوگرام داده‌های خام و نرمال شده



شکل (3-20): پارامترهای آماری عنصر روی به همراه هیستوگرام داده‌های خام و نرمال شده



شکل (21-3): پارامترهای آماری عنصر مس به همراه هیستوگرام داده‌های خام و نرمال شده

در بررسی داده‌های خام باید به این نکات توجه داشت:

- عناصری مانند Au, Sb, Bi, Pb, As بدلیل وجود مقادیر خارج از رده، توابع شدیداً غیر نرمال می‌باشند.

- عناصری مانند Mo, Co, Ag, Cd, W, Sn, Te, Be, S, Ba, V, Fe, Cr, Ni, Zn به توزیع نرمال نزدیک می‌باشد و از یک تابع نرمال فاصله چندانی ندارند.

- بقیه عناصر غیر نرمال می‌باشند.

بطورکلی حالت چند جامعه‌ای که موجب غیر نرمال شدن توابع می‌گردد یا بدلیل وجود مقادیر زمینه و آنومالی است (که برای ما حائز اهمیت می‌باشد) و یا بدلیل وجود اثر لیتولوژی مختلف می‌باشد که سبب ایجاد این ناهمگنی می‌گردد. در این پژوهه، با توجه به مقیاس کاری، عدم تنوع لیتولوژی و کم تاثیر بودن آن بر روی نمونه‌های ژئوشیمی و کانی‌سنگین و اهمیت حفظ ماهیت اصلی داده‌های اولیه تا حد امکان، جدایش جوامع سنگی صورت نگرفته است.

### ۳-۵) بررسی مقادیر خارج از ردیف<sup>۱</sup>

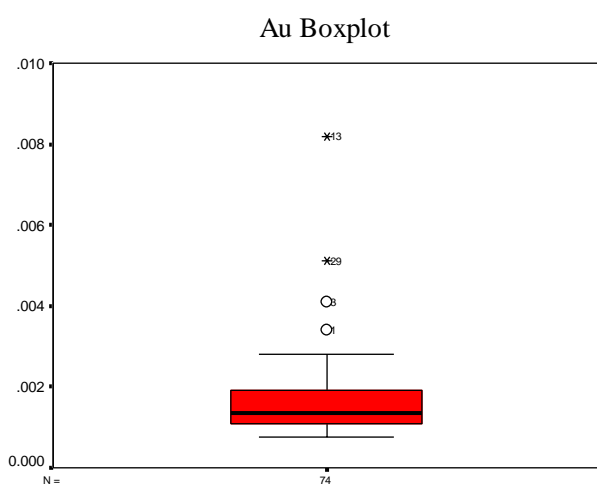
هنگام بررسی داده‌ها به مقادیری برمی‌خوریم که در کرانه‌های بالا و پائین جامعه داده‌ها قرار دارند و از جامعه اصلی جدا افتاده‌اند. قبل از انجام هر کاری بر روی داده‌ها، اقدام به بررسی این مقادیر گردید تا ماهیت و اعتبار آنها شناسایی شود و تصمیم درستی در قبال آنها اتخاذ گردد. مقادیر خارج از ردیف به سه حالت مختلف ممکن است بوجود آیند:

حالت اول: ممکن است از یک خطای سیستماتیک به هنگام نمونه‌برداری، آماده‌سازی یا تجزیه شیمیایی نمونه‌ها ناشی شده باشد که باید از مرحله پردازش داده‌ها حذف یا اصلاح شود.

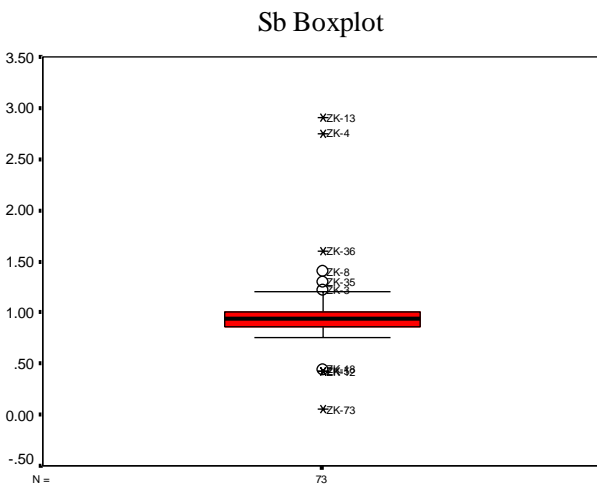
حالت دوم: مشاهداتی که به صورت یک پدیده فوق العاده، نمود پیدا می‌کند که پس از بررسی اعتبار آنها در مورد حفظ یا حذف آن باید تصمیم گرفت.

حالت سوم: مشاهدات فوق العاده‌ای که هیچگونه توضیح مناسبی برای آنها وجود ندارد و کارشناس اگر احساس کند که آنها بعنوان گوشاهای از جامعه مورد بررسی هستند می‌تواند آنها را حفظ کند.

به این منظور جهت نمایش و مشخص شدن این مقادیر، از نمودارهای جعبه‌ای<sup>1</sup> که در اشکال 22-3 تا 35-3 نشان داده شده، استفاده گردید.



شکل (22-3) : نمودار جعبه‌ای مربوط به عنصر طلا

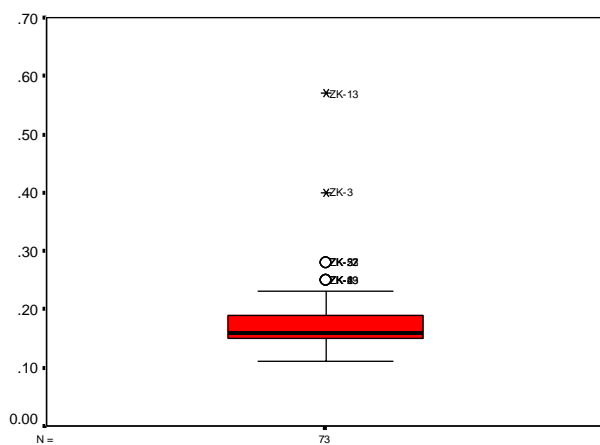


شکل (23-3) : نمودار جعبه‌ای مربوط به عنصر انتیموان

---

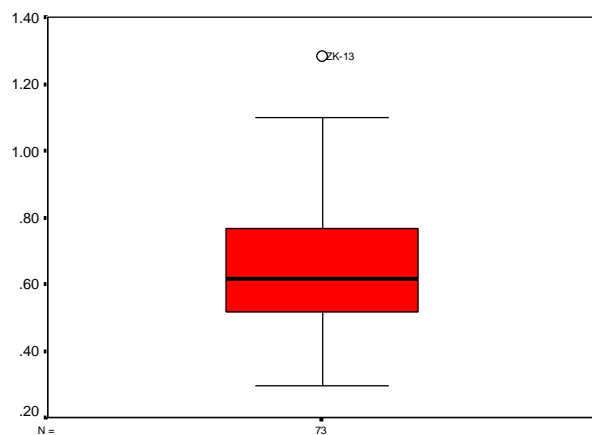
1- Boxplot

Bi Boxplot



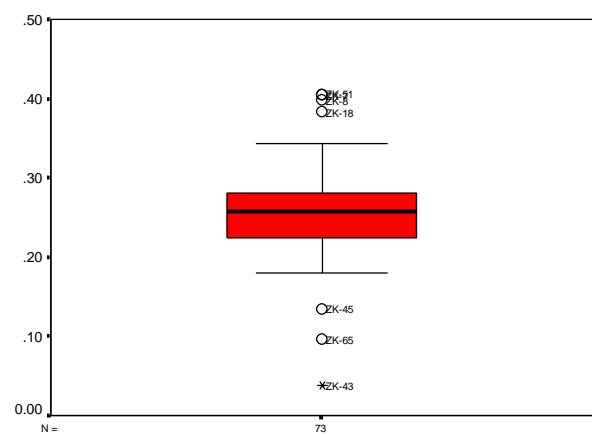
شکل (24-3) : نمودار جعبه ای مربوط به عنصر بیسموت

Mo Boxplot



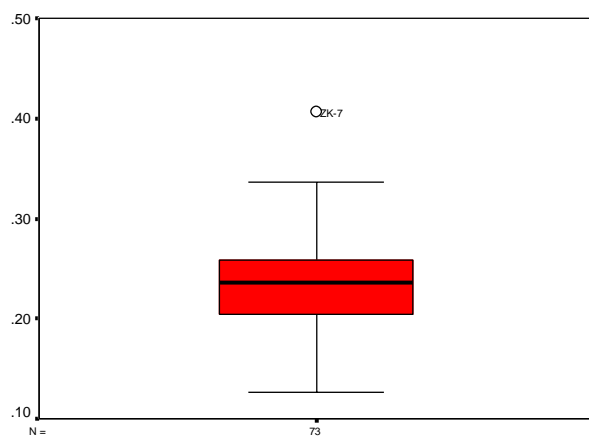
شکل (25-3) : نمودار جعبه ای مربوط به عنصر مولیبدن

Ag Boxplot



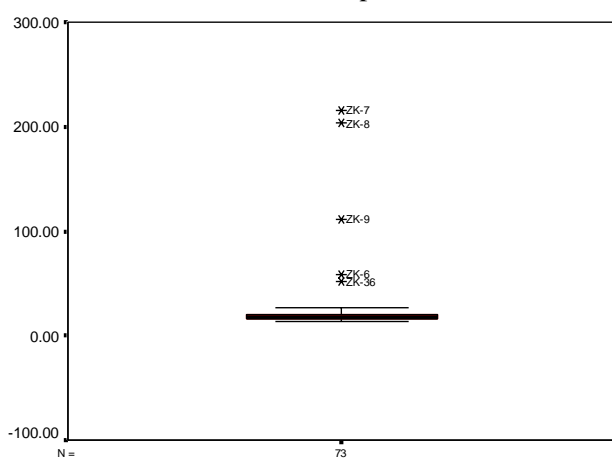
شکل (26-3) : نمودار جعبه ای مربوط به عنصر نقره

Cd Boxplot



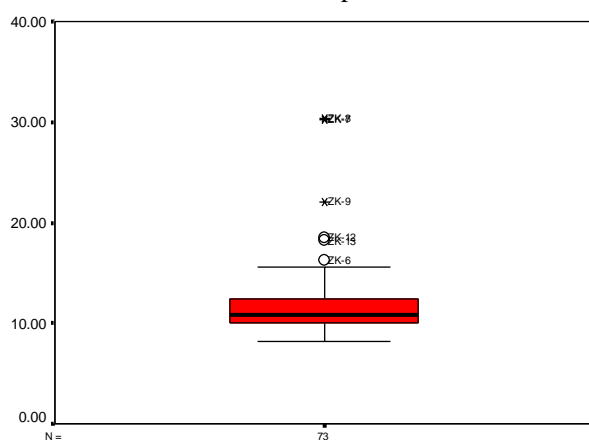
شکل (27-3) : نمودار جعبه ای مربوط به عنصر کادمیوم

Pb Boxplot



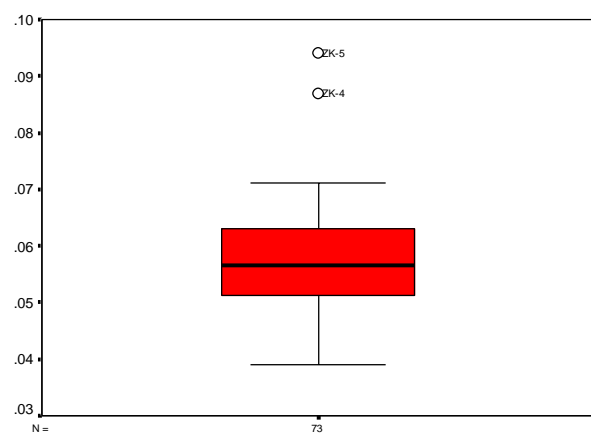
شکل (28-3) : نمودار جعبه ای مربوط به عنصر سرب

As Boxplot



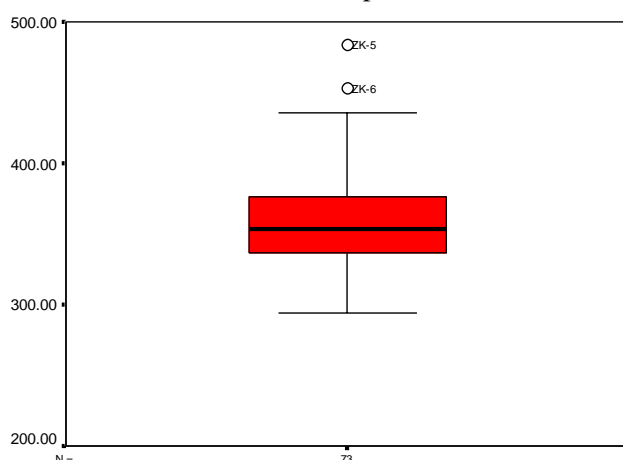
شکل (29-3) : نمودار جعبه ای مربوط به عنصر آرسنیک

Te Boxplot



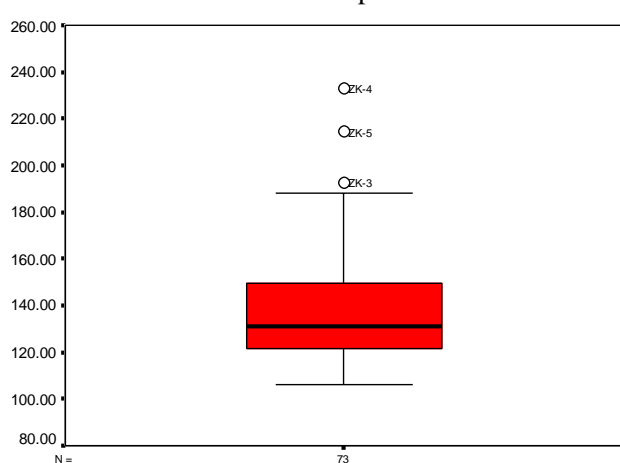
شکل (30-3) : نمودار جعبه ای مربوط به عنصر تلور

Sr Boxplot

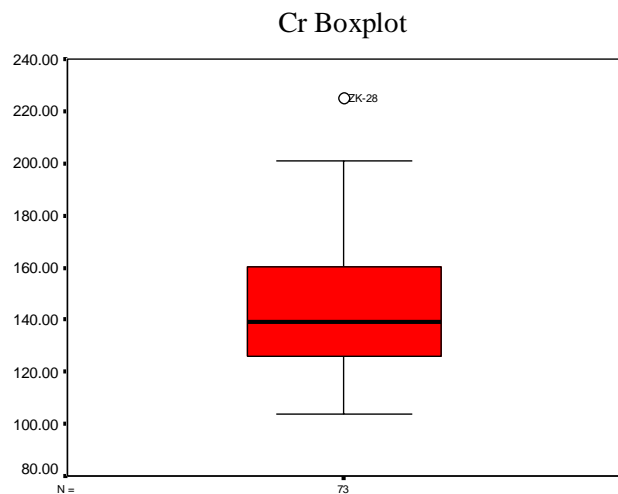


شکل (31-3) : نمودار جعبه ای مربوط به عنصر استرانسیوم

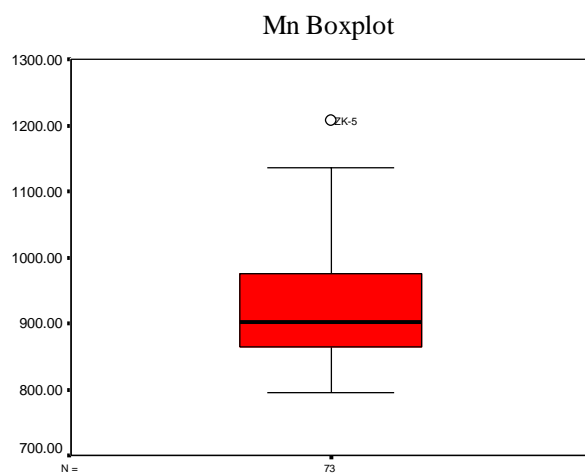
V Boxplot



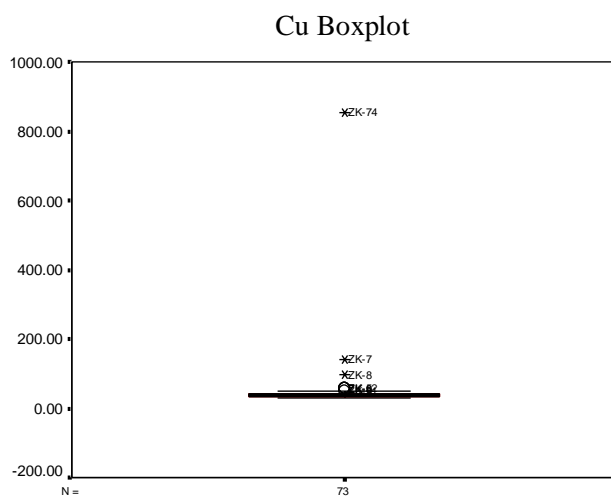
شکل (32-3) : نمودار جعبه ای مربوط به عنصر وانادیوم



شکل (33-3) : نمودار جعبه‌ای مربوط به عنصر کروم



شکل (34-3) : نمودار جعبه‌ای مربوط به عنصر منگنز



شکل (35-3) : نمودار جعبه‌ای مربوط به عنصر مس

شایان ذکر است 14 عنصر دارای مقادیر خارج از رده بودند که در نمودارهای بالا نمایش داده شده‌اند.

تا این مرحله، در واقع داده‌های ما برای عملیات اصلی پردازش آماده شده‌اند. از جمله این مراحل اصلی می‌توان از مراحل زیر نام برد:

- نرمال‌سازی داده‌ها
- محاسبه ضریب همبستگی عناصر به روش‌های اسپیرمن<sup>۱</sup> و پیرسن<sup>۲</sup>
- بررسی‌های آماری چند متغیره مانند تحلیل فاکتوری<sup>۳</sup> و تحلیل خوشه‌ای<sup>۴</sup>
- جداسازی جامعه آنومالی از زمینه
- تخمین شبکه‌ای
- تشریح آنومالی‌های حاصل از روش ژئوشیمیابی آبراهه‌ای

---

1- Spearman Correlation Coefficient

2- Pearson Correlation Coefficient

3- Factor Analyze

4- Cluster Analyze

### 6-3) نرمال‌سازی داده‌ها

بسیاری از بررسی‌های آماری فرض نرمال‌بودن داده‌ها را دارا هستند و حضور یک توزیع غیرنرمال انجام پردازش‌های آماری را با اشکال مواجه می‌کند و نتایج درست و قابل قبولی را به دست نمی‌دهد. معیارهای متفاوتی برای تعیین نرمال‌بودن یکسری داده وجود دارد. از جمله می‌توان به موارد زیر اشاره کرد:

- 1- تابع نرمال دارای چولگی (Skewness) برابر با صفر و کشیدگی (Kutosis) برابر با 3 می‌باشد.
- 2- هیستوگرام مربوط به یک توزیع نرمال شکل متقارنی دارد.
- 3- در نمودار توزیع تجمعی داده‌های بین فراوانی 16 تا 84٪ در یک خط راست قرار دارند. همچنین آزمون‌های مختلفی برای تشخیص نرمال‌بودن یک تابع وجود دارد که شرح آنها در اینجا ضرورت ندارد.

از جمله روش‌های آماری که در این پروژه فرض نرمال‌بودن داده‌ها را لازم دارد، عبارتنداز:

- ترسیم نقشه‌های متغیرهای ژئوشيميايی(تکمتغیره)
- تعیین ضریب همبستگی به روش پیرسن (دوممتغیره)
- تحلیل فاکتوری (چندمتغیره)

در اینجا برای نرمال کردن داده‌ها از روش لگاریتمی سه پارامتری استفاده گردید. این روش تبدیل، علاوه بر سادگی، کارایی مناسبی هم دارد و ما را به تابع نرمال بسیار نزدیک می‌کند.

این تبدیل بصورت مقابله تعريف می‌شود:

$$p(x) = \ln(ax + \theta)$$

در عمل برای ساده کردن تبدیل مقدار  $x$  را برابر واحد می‌گیرند. به این ترتیب یک مقدار معین  $\theta$ ) را به مقدار داده‌ها(a) اضافه کرده و از آن لگاریتم می‌گیریم. مقدار  $\theta$  هم با روش‌های ریاضی قابل محاسبه است و هم با روش سعی و خطا بدست می‌آید. وقتی چولگی داده‌ها مثبت باشد،  $\theta$  را از

مقدار داده‌ها کم کرده و وقتی چولگی داده‌ها منفی باشد، مقدار  $\theta$  اضافه کرده و سپس آن را نرمال می‌کنیم.

پس از نرمال کردن داده‌ها، هیستوگرام آنها تا حدود زیادی متقارن شده، چولگی و کشیدگی آنها نیز به یک تابع نرمال نزدیک‌تر شدند. اشکال این هیستوگرامها در اشکال (1-3) الی (21-3) نشان داده شده است.

### 7-3) محاسبه ضریب همبستگی عناصر

تعیین ضریب همبستگی از روش‌های آنالیز دومتغیره است که جهت بررسی نزدیکی و ارتباط دو متغیر به کار می‌رود. در بررسی‌های ژئوشیمیایی بعضی عناصر نسبت به یکسری از شرایط محیطی رفتار مشابهی دارند و می‌توان آن را در علتهای خاص جستجو کرد. بنابراین شناخت ارتباط متقابل بین عناصر می‌تواند در درک این شرایط کمک شایانی بنماید و تفسیر دقیق‌تری را از محیط‌های ژئوشیمیایی در اختیار ما قرار دهد. به ویژه بعنوان ابزار قدرتمندی جهت درک بهتر کانه‌زایی منطقه و حتی در معرفی مناطق نهايی می‌توان بهره جست.

اصل‌اً تعیین ضرایب همبستگی دو هدف عمده را تعقیب می‌کند:

1- کشف همبستگی بین عناصر

2- تخمین مقدار یک متغیر از روی یک یا چند متغیر دیگر

جهت تعیین ضریب همبستگی از دو روش پیرسن و اسپیرمن و در نهایت مقایسه آنها استفاده گردید.

در روش اسپیرمن از داده‌های شاخص غنی‌شدنی استفاده گردید، چراکه این نوع ضریب همبستگی به نوع تابع توزیع حساس نمی‌باشد و اصطلاحاً روش ناپارامتری است. ولی در روش پیرسن از داده‌های نرمال استفاده گردید زیرا که این محاسبه به تابع توزیع حساس می‌باشد. مقادیر ضرایب همبستگی اسپیرمن و پیرسون پس از محاسبه بصورت ماتریس ضرایب همبستگی در جداول (2-3) و (3-3) آورده شده است.





نکته قابل توجه در مقایسه دو روش تفاوت ناچیز بین آنهاست که نشان از وجود الگوی آماری مشخص در توزیع متغیرهای مورد بررسی است. در جدول (4-3) مقایسه بین این دو روش و عناصر با ضریب همبستگی متوسط به بالا (0/5 به بالا) را نشان داده شده است. همانطور که در جدول نیز مشاهده می‌گردد، در میان این زوج عناصر تنها دو مورد سرب – مس و سرب – کادمیوم است که داده‌های خام آنها با یکدیگر همبستگی پایینی نشان داده است، گرچه عملیات نرمالایز کردن داده‌ها باعث همبستگی بهتر آنها گردیده است.

جدول (4-3) : مقایسه دو روش برای عناصر با ضریب همبستگی متوسط به بالا

| Variables | Spearman's rho | Pearson's rho |
|-----------|----------------|---------------|
| Ag-S      | <b>0.54</b>    | <b>0.50</b>   |
| Be-Ba     | <b>0.60</b>    | <b>0.57</b>   |
| Zn-Ba     | <b>0.63</b>    | <b>0.69</b>   |
| Fe-V      | <b>0.96</b>    | <b>0.97</b>   |
| Zn-V      | <b>0.52</b>    | <b>0.62</b>   |
| Zn-Fe     | <b>0.57</b>    | <b>0.67</b>   |
| Cr-Ni     | <b>0.57</b>    | <b>0.55</b>   |
| Cr-Co     | <b>0.53</b>    | <b>0.57</b>   |
| Zn-Be     | <b>0.58</b>    | <b>0.55</b>   |
| Pb-Cd     | <b>0.33</b>    | <b>0.50</b>   |
| Pb-Cu     | <b>0.23</b>    | <b>0.56</b>   |
| Te-V      | <b>0.48</b>    | <b>0.52</b>   |
| Ba-V      | <b>0.48</b>    | <b>0.55</b>   |
| Fe-Ba     | <b>0.48</b>    | <b>0.54</b>   |

نکته قابل توجه اینکه طلا، آرسنیک، انتیموان، بیسموت، تنگستن، قلع و تلور با هیچ یک از عناصر دارای همبستگی خوبی نمی‌باشند.

### 8-3) بررسی آماری چند متغیره:

به تجزیه و تحلیل‌های آماری که بر روی بیش از دو متغیر صورت گیرد بررسی‌های چند متغیره می‌گویند. این بررسی‌ها در واقع بسط و توسعه بررسی‌هایی تک متغیره و دو متغیره می‌باشد. در مسائل اکتشافی با فضای چندمتغیره (در این پژوهه 21 متغیره) روبرو هستیم که بررسی همزمان متغیرها و تعیین ارتباط بین آنها را دشوار می‌کند. تجربه نشان داده است چنانچه ترکیبی از متغیرها به جای یک متغیر بکار گرفته شود و از نتایج ترکیبی آنها استفاده شود امکان تشخیص روابط پارازنی عناصر با یکدیگر و تشخیص هاله‌های مركب به مراتب افزایش یافته، همچنین اثرات خطای تصادفی در بکارگیری ترکیبی متغیرها نسبتاً کاهش می‌یابد. از دیگر مزایای استفاده از روش‌های چند متغیره کاهش تعداد متغیرها در مباحث داده‌پردازی و کاستن از حجم داده‌ها و تفسیر راحت‌تر آنها می‌باشد. با این روش امکان مقایسه متغیرها و کسب نتایج، آسانتر می‌باشد. در این پژوهه از آنالیز خوش‌های و همچنین تحلیل عاملی استفاده گردید.

### 8-3) آنالیز خوش‌های و تفسیر آن:

چون هر گروه معین از عناصر نسبت به یکسری از شرایط محیطی، رفتار مشابهی نشان می‌دهند، شناخت ارتباط و همبستگی ژنتیکی متقابل بین عناصر مختلف می‌تواند در شناخت دقیق تر تغییرات موجود در محیط‌های ژئوشیمیایی بکار گرفته شود. ضمناً تجمع ژنتیکی بعضی از عناصر ممکن است بعنوان راهنمای مستقیم در تفسیر نوع نهشته‌ای که احتمالاً در ناحیه وجود دارد، بکاررود. آنالیز خوش‌های یک روش آماری چند متغیره است که عناصر را بر اساس شباهت تغییرپذیری آنها در قالب دسته‌ها یا گروه‌هایی طبقه‌بندی می‌کند. به این ترتیب آنالیز خوش‌های در پیدا کردن گروه‌های واقعی کمک شایان توجهی می‌کند و از تراکم داده‌ها می‌کاهد.

در این میان روش‌های مختلفی در پردازش و محاسبه آنالیز خوش‌های وجود دارد که از جمله آنها Between Groups Linkage, Whitin Groups Linkage, Nearest Neighbor, می‌توان به

اشاره Furthest Neighbor, Centroid Clustering, Median Clustering, Ward's Method

اما وجه تشابه تمام آنها، نحوه کلاستر کردن متغیرهای است؛ به این صورت که در مرحله اول دو متغیری که بیشترین شباهت را دارند به هم وصل می‌گردند و در هر تکرار شبیه‌ترین زوج خوش‌های به هم وصل می‌شوند. همچنین مسئله‌ای که این روش‌ها را از هم متمایز می‌کند نحوه محاسبه ماتریس شباهت‌ها است. با انجام این روش‌ها و تحلیل آنها، کلاستر به روش وارد بهترین جواب را به ما داد. آنالیز خوش‌های مربوط به داده‌های ژئوشیمیایی در شکل (36-3) آمده است.

برای انجام این آنالیز خوش‌های باید از داده‌های نرمال شده استفاده گردد. بر اساس این نمودار متغیرها در چهار گروه اصلی با درجه همبستگی نسبتاً خوب قرار می‌گیرند. که عبارتنداز:

**گروه (1):** شامل عناصر آهن، وانادیوم و تلور است که در این گروه عناصر آهن و وانادیوم همبستگی بسیار خوبی را با یکدیگر نشان می‌دهند.

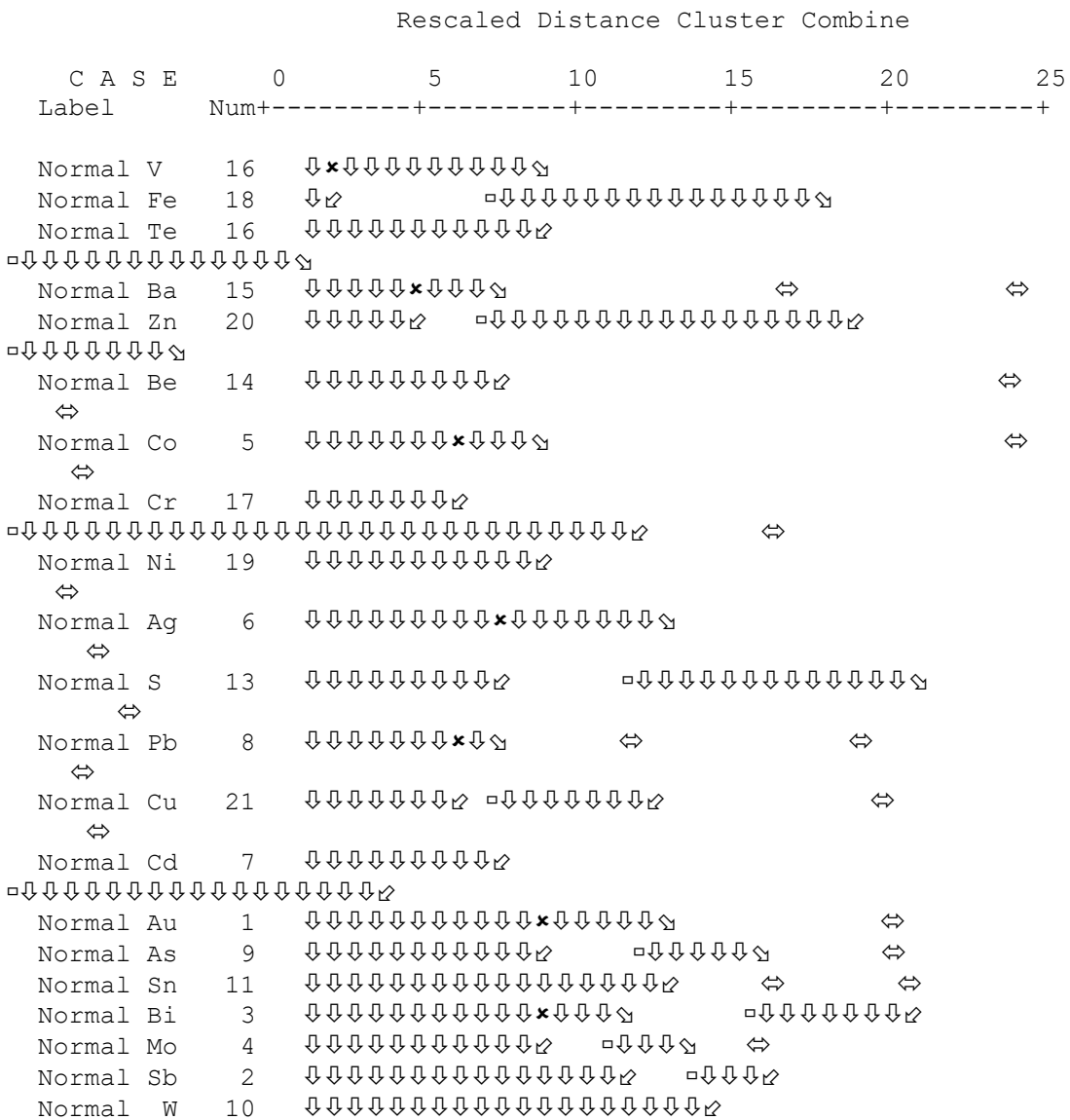
**گروه (2):** شامل عناصر روی، باریم و بریلیوم می‌باشد که بین عناصر روی و باریم همبستگی بسیار خوبی دیده می‌شود.

**گروه (3):** شامل عناصر کروم، کبالت و نیکل که دارای همبستگی خوبی هستند.

**گروه (4):** شامل عناصر نقره، گوگرد، سرب، مس و کادمیوم می‌شود. در این گروه بین عناصر سرب و مس همبستگی بسیار خوبی مشاهده می‌شود.

**گروه (5):** شامل عناصر طلا، آرسنیک، قلع، بیسموت، مولیبدن، آنتیموان و تنگستان می‌باشد. در بین این عناصر طلا و آرسنیک و نیز بیسموت و مولیبدن دارای همبستگی خوب هستند.

## Dendrogram using Ward Method



شکل (3-36): نتایج حاصل از آنالیز خوشهای داده‌های نرمال شده با استفاده از متود وارد (Ward)

### ۲-۸-۳) تجزیه و تحلیل عاملی<sup>۱</sup> (آنالیز فاکتوری)

همانطور که گفته شد، یکی از مسائل پیچیده و مهم در اکتشافات ژئوشیمیایی بررسی همزمان عناصر مورد مطالعه است. یکی از روش‌های قوی در این زمینه تجزیه و تحلیل فاکتوری یا آنالیز فاکتوری است. این روش دو مزیت بسیار بزرگ دارد:

۱- کاهش ابعاد داده ها

## 2- بیان ارتباط موجود بین عناصر مختلف

به خصوص با تعداد زیاد عناصر مورد بررسی و تعداد زیاد نمونه ها نقش تجزیه و تحلیل فاکتوری بیش از پیش نمایان می شود ، به طوری که فهم و درک تغییر پذیری<sup>۱</sup> داده ها را بسیار ساده تر می کند.

تجزیه و تحلیل فاکتوری بر اساس روش PCA<sup>2</sup> استوار است. این روش تکنیکی برای پیدا کردن ترکیب خطی از متغیرهای اولیه است که تشکیل یک دستگاه مختصات جدید بدنهند. این ترکیبات خطی را مؤلفه های اصلی می نامند و دارای خواص زیر هستند:

- بخش اعظمی از تغییر پذیری توسط تعداد محدودی از متغیرهای جدید قابل توجیه است.
- متغیرهای جدید ، که محصول ترکیب خطی متغیرهای اولیه هستند ، بین خود همبستگی نشان نمی دهند.

قبل از استفاده از روش PCA توجه به دو نکته ضروری است :

اگر متغیرهای اولیه همبسته نباشند ( ضریب همبستگی کوچکی داشته باشند ) ، دلیلی برای کاربرد این روش وجود ندارد ، چرا که نتایج قابل قبولی از آنها به دست نمی آید.

تجزیه و تحلیل فاکتوری زمانی صورت می گیرد که تعداد متغیرهای اولیه به حد کافی باشد. تجزیه عاملی شامل، محاسبه ماتریس ضرایب همبستگی بین متغیرها، تعیین متغیرهایی که به نظر می رسد وابستگی ضعیفی با سایر متغیرها دارند (با استخراج عاملها)، تعیین تعداد عاملها و روش محاسبه آنها و بالاخره دوران و اعمال تبدیلاتی خاص بر روی عاملها می باشد. در واقع هدف از تجزیه و تحلیل عاملی (آنالیز فاکتوری) تشخیص اصلی ترین متغیرهای کنترل کننده از متغیرهای با نقش کمتر (فرعی) است. در اینصورت می توان با حداقل تعداد متغیرهای فاکتوری، حداقل تغییر پذیری بین داده ها را توجیه کرد و سهم نسبی هر یک از متغیرهای فاکتوری را در توجیه تغییر پذیری مشخص نمود.

---

1- Variance

2- Principal Component Analysis

قبل از انجام آنالیز فاکتوری ابتدا باید میزان اعتبار تجزیه عاملی بر روی مقادیر را بررسی کنیم. برای این منظور از آزمونهای Bartlett و KMO بهره می‌گیریم. هر چه مقدار KMO به یک نزدیکتر باشد دلالت بر تأیید بیشتر تجزیه عاملی دارد. همانطور که در جدول (3-5) مشاهده می‌گردد، این مقدار برای داده‌های این پروژه، 0/622 می‌باشد که انجام آنالیز فاکتوری را تأیید می‌کند.

### KMO and Bartlett's Test

|   |                    |         |
|---|--------------------|---------|
| Kaiser-Meyer-Olkin Measure of Sampling Adequacy . | .622               |         |
| Bartlett's Test of Sphericity                     | Approx. Chi-Square | 999.131 |
|   | df                 | 210     |
|   | Sig                | .000    |

جدول (5-3): نتیجه حاصل از آزمون KMO و Bartlett

جدول (3-6) محتوی میزان مشارکت عناصر در برآورد اولیه عاملها در روش PCA است.

|    | Initial | Extraction |
|----|---------|------------|
| Au | 1.000   | .608       |
| Sb | 1.000   | .689       |
| Bi | 1.000   | .738       |
| Mo | 1.000   | .608       |
| Co | 1.000   | .816       |
| Ag | 1.000   | .707       |
| Cd | 1.000   | .673       |
| Pb | 1.000   | .725       |
| As | 1.000   | .636       |
| W  | 1.000   | .578       |
| Sn | 1.000   | .702       |
| Te | 1.000   | .558       |
| S  | 1.000   | .861       |
| Be | 1.000   | .871       |
| Ba | 1.000   | .861       |
| V  | 1.000   | .947       |
| Cr | 1.000   | .853       |
| Fe | 1.000   | .950       |
| Ni | 1.000   | .863       |
| Zn | 1.000   | .861       |
| Cu | 1.000   | .807       |

جدول (3-6) : جدول میزان مشارکت عناصر در برآورد اولیه عاملها (فاکتورها)

در آنالیز فاکتوری به روش مؤلفه اصلی (PCA)، برآورد ماتریس ضرایب همبستگی نیز بدست می‌آید. با محاسبه مقادیر ویژه این ماتریس، مقادیر بزرگتر از یک جدا شده و برای آنها بردارهای ویژه ترسیم می‌گردد. در جدول (3-7) تحت عنوان جدول توجیه تغییرپذیری کل<sup>1</sup> مقادیر ویژه<sup>2</sup>، درصد واریانس و درصد تجمعی واریانس متناظر با عوامل محاسبه شده و سپس مقادیر بزرگتر از 1 (تعداد 7 فاکتور) استخراج و دوران داده شده‌اند. بر اساس این جدول بیشترین مقادیر ویژه (واریانس) مربوط به مؤلفه‌های اول و دوم به ترتیب با درصد تغییرپذیری 21/85 و 15/44 می‌باشد. با توجه به جدول مذکور مشاهده می‌شود که تعداد 7 فاکتور می‌تواند تقریباً 75/76٪ کل تغییر پذیری را توجیه کند که با توجه به این تعداد فاکتور مقدار قابل قبولی است.

### Total Variance Explained

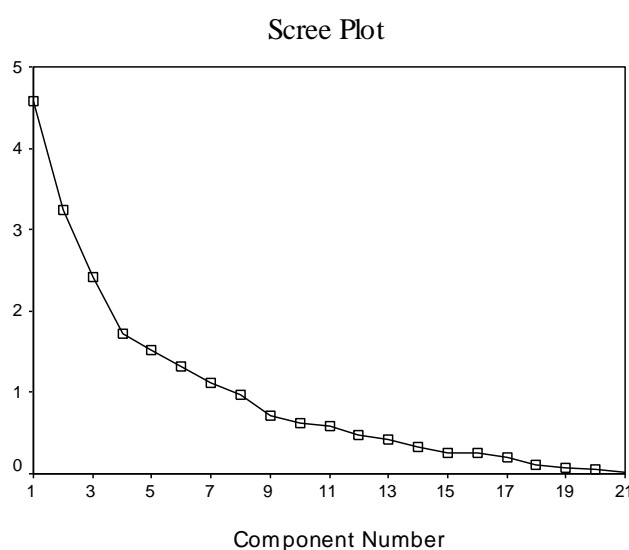
| Component | Initial Eigenvalues |       |            | Extraction Sums of Squared Loading |       |            | Rotation Sums of Squared Loadings |       |            |
|-----------|---------------------|-------|------------|------------------------------------|-------|------------|-----------------------------------|-------|------------|
|           | Total               | % of  | Cumulative | Total                              | % of  | Cumulative | Total                             | % of  | Cumulative |
| 1         | 4.58                | 21.81 | 21.81      | 4.58                               | 21.81 | 21.81      | 3.45                              | 16.45 | 16.45      |
| 2         | 3.24                | 15.44 | 37.26      | 3.24                               | 15.44 | 37.26      | 2.80                              | 13.31 | 29.76      |
| 3         | 2.42                | 11.52 | 48.78      | 2.42                               | 11.52 | 48.78      | 2.44                              | 11.64 | 41.40      |
| 4         | 1.71                | 8.17  | 56.94      | 1.71                               | 8.17  | 56.94      | 2.14                              | 10.21 | 51.61      |
| 5         | 1.52                | 7.24  | 64.18      | 1.52                               | 7.24  | 64.18      | 1.94                              | 9.26  | 60.87      |
| 6         | 1.32                | 6.29  | 70.47      | 1.32                               | 6.29  | 70.47      | 1.77                              | 8.43  | 69.30      |
| 7         | 1.11                | 5.29  | 75.76      | 1.11                               | 5.29  | 75.76      | 1.36                              | 6.46  | 75.76      |
| 8         | .97                 | 4.62  | 80.39      |                                    |       |            |                                   |       |            |
| 9         | .71                 | 3.39  | 83.78      |                                    |       |            |                                   |       |            |
| 10        | .62                 | 2.94  | 86.72      |                                    |       |            |                                   |       |            |
| 11        | .58                 | 2.76  | 89.48      |                                    |       |            |                                   |       |            |
| 12        | .47                 | 2.26  | 91.75      |                                    |       |            |                                   |       |            |
| 13        | .43                 | 2.02  | 93.77      |                                    |       |            |                                   |       |            |
| 14        | .33                 | 1.59  | 95.36      |                                    |       |            |                                   |       |            |
| 15        | .26                 | 1.25  | 96.60      |                                    |       |            |                                   |       |            |
| 16        | .25                 | 1.18  | 97.79      |                                    |       |            |                                   |       |            |
| 17        | .21                 | 1.00  | 98.79      |                                    |       |            |                                   |       |            |
| 18        | .11                 | .54   | 99.32      |                                    |       |            |                                   |       |            |
| 19        | .07                 | .35   | 99.67      |                                    |       |            |                                   |       |            |
| 20        | .06                 | .27   | 99.94      |                                    |       |            |                                   |       |            |
| 21        | .01                 | .06   | 100.00     |                                    |       |            |                                   |       |            |

جدول (3-7): جدول توجیه تغییرپذیری کل

1- Total Variance Explained  
2- Initial Eigenvalues

این تعداد فاکتور از روی نمودار صخره‌ای<sup>1</sup> شکل (37-3) نیز قابل تأیید است، در این شکل، مقادیر ویژه محاسبه شده را که بر حسب اهمیت از بزرگترین تا کوچکترین مقدار ردیف شده‌اند، نمایش می‌دهد.

این نمودار به‌وضوح نشان می‌دهد که تعداد عاملهای انتخابی (7 عامل) حداقل تغییرپذیری را به خود اختصاص داده‌اند. همانطور که ملاحظه می‌شود این نمودار تا فاکتور هفتم شبیه تندی دارد و پس از آن به یک حالت ملایم با شبیه تقریباً ثابت می‌رسد.



شکل (37-3): نمودار صخره‌ای مقادیر ویژه

از آنجا که یک عامل چند متغیر را کنترل می‌کند، روش‌هایی به وجود آمده‌اند که بدون تغییر میزان اشتراک، تفسیر عوامل را ساده‌تر می‌سازد. این روش‌ها همان دوران عوامل هستند که به صورت عمود و مایل صورت می‌گیرد. دوران عمود استقلال بین عاملها را حفظ می‌کند، در صورتیکه دورانهای مایل عاملها را به هم وابسته می‌کند. در اینجا با استفاده از روش دوران متعامد<sup>2</sup> بر روی ضرایب عاملی دوران صورت می‌گیرد. با استفاده از این روش می‌توان عناصری را که در هر عامل از

---

1- Scree Plot  
2- Varimax

اهمیت بیشتری برخوردار است تعیین نمود. شکل (38-3) ماتریس دوران مؤلفه‌ها را نمایش می‌دهد.

### **Rotated Component Matrix**

|    | Component |      |      |      |      |      |      |
|----|-----------|------|------|------|------|------|------|
|    | 1         | 2    | 3    | 4    | 5    | 6    | 7    |
| Au | .25       | -.01 | .17  | -.18 | .61  | -.05 | .32  |
| Sb | -.07      | .13  | .02  | .08  | .81  | -.07 | -.01 |
| Bi | .13       | -.05 | .17  | .02  | .63  | .53  | -.09 |
| Mo | -.19      | .17  | -.05 | -.04 | .38  | .60  | -.19 |
| Co | .56       | -.03 | -.20 | .62  | -.26 | .12  | -.07 |
| Ag | .02       | .72  | .06  | .01  | -.10 | .40  | .08  |
| Cd | .09       | .74  | .26  | -.16 | -.07 | .11  | -.07 |
| Pb | -.02      | .77  | -.07 | -.24 | .24  | .05  | -.05 |
| As | .32       | .43  | .22  | -.35 | .26  | .26  | .24  |
| W  | -.09      | .01  | .29  | .25  | .07  | .04  | -.64 |
| Sn | -.06      | .02  | .10  | .15  | .12  | .09  | .80  |
| Te | .72       | .02  | -.10 | .04  | -.03 | .18  | -.01 |
| S  | -.04      | .20  | -.09 | -.12 | -.22 | .83  | .24  |
| Be | -.23      | -.12 | .89  | .00  | .07  | -.07 | -.07 |
| Ba | .40       | .03  | .77  | -.24 | .20  | .06  | -.04 |
| V  | .90       | .21  | .19  | -.03 | .11  | -.20 | .05  |
| Cr | .38       | -.07 | .04  | .82  | .13  | -.10 | -.05 |
| Fe | .90       | .08  | .25  | .06  | .09  | -.24 | .03  |
| Ni | -.36      | -.23 | -.06 | .81  | -.02 | -.10 | .05  |
| Zn | .50       | .20  | .75  | .07  | .04  | -.04 | .02  |
| Cu | .18       | .83  | -.24 | .09  | .08  | -.11 | .05  |

**Extraction Method:** Principal Component Analysis.

**Rotation Method:** Varimax with Kaiser Normalization.

a. Rotation converged in 14 iterations.

شکل (38-3): ماتریس دوران مؤلفه‌ها

مقادیر عاملهای مختلف برای هر نمونه محاسبه گردید تا در تخمین نقشه‌های مربوطه به کار

رود.

در نهایت پس از انجام آنالیز فاکتوری طبق آنچه که در زیر معرفی گردیده، هر فاکتور از یک

سری از عناصر تشکیل شده است:

فاکتور اول: شامل عناصر (Co, Te, V, Fe)

فاکتور دوم: شامل عناصر (Cu, Pb, As, Cd, Ag)

فاکتور سوم: شامل عناصر (Zn, Ba, Be, W)

فاکتور چهارم: شامل عناصر (Ni, Cr, Co)

فاکتور پنجم: شامل عناصر (Bi, Sb, Au)

فاکتور ششم: شامل عناصر (Bi, S, Mo)

فاکتور هفتم: شامل عناصر Sn

در تحلیل فاکتوری بالا، با توجه به بار فاکتوری، برخی عناصر در دو فاکتور حائز اهمیت بودند که در این میان بار فاکتوری ضعیفتر در داخل پرانتز نشان داده شده است. نقشه‌های (23-3) تا (29) حاصل از تخمین شبکه‌ای فاکتورها هستند.

### 9-3) جداسازی آنومالی‌ها از جامعه زمینه به روش P.N

در برداشت‌های اکتشافی توزیع فراوانی داده‌ها به علت چولگی زیاد اغلب لاغ نرمال می‌باشد. در این برداشت‌ها مقادیر بزرگ، تابع توزیع آنومالی‌ها را تشکیل می‌دهند. این مقادیر که از بقیه داده‌ها (زمینه) قابل تفکیک هستند می‌توانند معرف مناطق امیدبخش برای پیدایش کانی‌سازی اقتصادی باشند.

روش P.N یکی از روش‌های آماری مختلفی است که جدایش و تشخیص مناطق آنومالی از زمینه ارائه شده است. در این روش فقط مقدار اندازه‌گیری شده برای نمونه مورد توجه قرار می‌گیرد و موقعیت فضایی نقاط نمونه‌برداری درنظر گرفته نمی‌شود. پایه و اساس این روش، حساب احتمالات است. منطق روش P.N در جدایش مقادیر آنومالی بر دو اصل بنا شده است: یکی افزایش مقدار متغیر و دیگری افزایش فراوانی نسبی آن. بنابراین شدت هر آنومالی تابع دو عامل است:

1- احتمال پیدایش نمونه‌ای با مقادیر مطلوب مورد نظر ( $P$ )، که هر چه این احتمال کوچکتر باشد

شدت آنومالی در نمونه معرف آن بیشتر خواهد بود.

2- تعداد نمونه‌های برداشت شده ( $N$ ، که هر چه این مقدار کوچکتر باشد شدت آنومالی قوی‌تر

است.

بنابراین حاصل ضرب دو عامل فوق یعنی  $P \cdot N$  می‌تواند به عنوان معیاری برای انتخاب آنومالی‌ها

محسوب گردد، بدیهی است هر چه این مقدار کوچکتر از واحد باشد آنومالی‌ها دارای شدت بیشتری

می‌باشند. مقدار  $P$  برای هر عنصر در هر نمونه برابر احتمال رخداد عیارهای بزرگ‌تر یا مساوی

مقدار متغیر مورد بررسی در نمونه مورد نظر است.

معمولًاً برای آنکه با مقادیر عددی خیلی کوچک برخورد نشود به جای  $P \cdot N$  می‌توان از مقدار

$1/P \cdot N$  استفاده کرد. در این صورت هر چه مقدار  $1/P \cdot N$  بزرگ‌تر از واحد باشد آنومالی مورد نظر با

اهمیت‌تر است.

نکته مهمی که در روش  $P \cdot N$  باید به آن توجه نمود این است که این روش نسبت به نوع تابع

توزیع بسیار حساس می‌باشد، زیرا مقادیر احتمال پیدایش براساس تابع توزیع نرمال محاسبه

می‌شود لذا لازم است که یا داده‌ها دارای توزیع نرمال باشند و یا با استفاده از روش‌های تبدیل، به

توزیع نرمال تبدیل شوند. نتایج حاصل از روش  $P \cdot N$  در جدول (8-3) آمده است. چنانچه ملاحظه

می‌گردد، شدت آنومالی‌ها با معیاری احتمال پذیر محاسبه گردیده است . مقادیر  $(P \cdot N)/1$  بالاتر از 1

به عنوان آنومالی در نظر گرفته شده است. همچنین مجموع مقادیر  $(P \cdot N)/1$  عناصر مختلف برای

نمونه‌های آنومال، با عنوان  $Sum \cdot 1/(P \cdot N)$  در ستون آخر محاسبه شده است که نقشه (30-3)

حاصل آن است.



### 10-3) تخمین شبکه‌ای داده‌ها

تخمین شبکه یکی از روش‌هایی است که با استفاده از داده‌های مربوط به نقاط نمونه‌برداری، تخمین‌هایی در مورد نقاطی که از آنها نمونه‌برداری صورت نگرفته انجام می‌دهد. با توجه به گسترده‌گی مناطق تحت پوشش اکتشاف در روش رسوبات آبراهه‌ای و نیز چگالی پایین نمونه‌برداری، روش تخمین شبکه کارایی بسیار خوبی دارد. تخمین شبکه به کارشناس پروژه امکان می‌دهد تا نتایج حاصل از تخمین اطلاعاتی که مستقیماً از سلولها بدست می‌آید را به سایر سلولها نسبت دهد. در چنین حالتی افزایش تعداد سلولهایی که در مورد آنها داده‌ای بدست می‌آید، موجب می‌گردد تا ارتباط منطقی بین فراوانی یک عنصر در سلولها ظاهر گشته و امکان ارزیابی منطقه‌بندی موجود در نقشه توزیع یک عنصر فراهم گردد. برای مثال اگر آنومالی توسط مقادیر زمینه محصور گردد، در اینصورت مدل تغییرات تدریجی از حد زمینه به حد آستانه و از حد آستانه به آنومالی موجب افزایش اعتبار آنومالی خواهد گردید.

تبديل یک شبکه نامنظم نمونه‌برداری به یک شبکه منظم، از امتیازات دیگر تخمین شبکه است. مهمترین ویژگی رسوبات آبراهه‌ای به منظور ارزیابی پتانسیل کانی‌سازی می‌تواند ناشی از این واقعیت باشد که مقدار هر متغیر در رسوبات رودخانه‌ای دارای خاصیت برداری است و جهت این بردار همواره برای ناحیه بالادست خود صادق است. لذا ابتدا باید مرز حوضه‌های آبریز مربوط به نمونه‌ها مشخص گردد، سپس جهت داده‌ها که می‌تواند در تخمین شرکت نماید مشخص شود. بدیهی است بیشترین انطباق بین یک شکل هندسی با حوضه آبریز با یک چندضلعی<sup>۱</sup> امکان‌پذیر است. برای این انطباق و ترسیم چندضلعی از نقشه توپوگرافی و عکس هوایی استفاده می‌گردد. در روش تخمین شبکه ابتدا نقشه مورد نظر بوسیله شبکه‌ای از سلولهای هم‌بعد پوشانده می‌شود، که بعد شبکه به مقیاس برداشتها و دقت مورد نیاز بستگی دارد. در این تحقیق از شبکه‌های 50 در 50 متر استفاده گردید.

با استفاده از این تکنیک، اقدام به رسم نقشه‌های ژئوشیمیایی مختلف گردید. مشخصات آنومالی‌های عناصر و نقشه‌های مربوطه در ادامه آورده شده است.

### 3-11) تشریح آنومالی‌های ژئوشیمیایی

در این قسمت به شرح نقشه‌های آنومالی به دست آمده از عناصر مختلف با استفاده از این روش شبکه‌ای می‌پردازیم:

در جداول زیر آنومالی‌های درجه اول و دوم داده‌های خام آمده است. همچنین بعد از جداول، نقشه‌های (3-22) تا (3-22) مربوط به تخمین شبکه‌ای عناصر آمده است. ضمناً آنومالی‌های مربوط به فاکتورها و P.N نیز که قبلاً تشریح شدند، بعد از این نقشه‌ها ترسیم شده‌اند.

### 1- عنصر نقره:

| شماره نمونه | درجه آنومالی | مختصات  |        | سنگ بالادست                                      | میزان داده خام (ppm) |
|-------------|--------------|---------|--------|--|----------------------|
| 51          | 1            | 3653410 | 644906 | توف، ماسه‌سنگ، دیاباز                            | 0.404                |
| 7           | 2            | 3653890 | 649124 | آندری بازالت                                     | 0.403                |
| 8           | 2            | 3654020 | 649187 | آندری بازالت، توف، ماسه‌سنگ، دیاباز و ایگنیمیریت | 0.397                |
| 18          | 2            | 3655040 | 648830 | آندری بازالت، ایگنیمیریت، توف، ماسه‌سنگ و دیاباز | 0.382                |

### 2- عنصر آرسنیک:

| شماره نمونه | درجه آنومالی | مختصات  |        | سنگ بالادست                                      | میزان داده خام (ppm) |
|-------------|--------------|---------|--------|--|----------------------|
| 8           | 1            | 3654020 | 649187 | آندری بازالت، توف، ماسه‌سنگ، دیاباز و ایگنیمیریت | 30.41                |
| 7           | 2            | 3653890 | 649124 | آندری بازالت                                     | 30.24                |
| 9           | 2            | 3654300 | 648583 | آندری بازالت                                     | 22.07                |
| 12          | 2            | 3654670 | 647916 | آندری بازالت، ایگنیمیریت، توف، ماسه‌سنگ و دیاباز | 18.53                |
| 13          | 2            | 3653980 | 650890 | آندری بازالت                                     | 18.15                |
| 6           | 2            | 3653840 | 650900 | آندری بازالت، توف، ماسه‌سنگ،                     | 16.24                |

----- اکتشاف ژئوشیمیابی در محدوده کوهپرور -----

|   |   |         |        |                             |       |
|---|---|---------|--------|-----------------------------|-------|
|   |   |         |        | دیباز و ایگنیمیریت          |       |
| 4 | 2 | 3652830 | 650361 | داسیت، توف، ماسهسنگ و دیباز | 15.61 |

**3- عنصر طلا:**

| شماره نمونه | درجه آنومالی | مختصات  |        | سنگ بالادست                       | میزان داده خام (ppm) |
|-------------|--------------|---------|--------|-----------------------------------|----------------------|
| 13          | 1            | 3653980 | 650890 | آندزی بازالت                      | 0.0082               |
| 29          | 2            | 3656030 | 650149 | آندزی بازالت، توف، ماسهسنگ، دیباز | 0.0051               |
| 3           | 2            | 3652970 | 649054 | آندزی بازالت، توف، ماسهسنگ، دیباز | 0.0041               |
| 1           | 2            | 3652590 | 650450 | آندزی بازالت، توف، ماسهسنگ، دیباز | 30.24                |

**4- عنصر باریم:**

| شماره نمونه | درجه آنومالی | مختصات  |        | سنگ بالادست                | میزان داده خام (ppm) |
|-------------|--------------|---------|--------|----------------------------|----------------------|
| 5           | 1            | 3653720 | 650914 | داسیت، توف، ماسهسنگ، دیباز | 482                  |

**5- عنصر بریلیوم:**

| شماره نمونه | درجه آنومالی | مختصات  |        | سنگ بالادست                              | میزان داده خام (ppm) |
|-------------|--------------|---------|--------|--|----------------------|
| 41          | 1            | 3656970 | 645753 | آندزی بازالت، داسیت، توف، ماسهسنگ، دیباز | 1.33                 |

**6- عنصر بیسموت:**

| شماره نمونه | درجه آنومالی | مختصات  |        | سنگ بالادست                                    | میزان داده خام (ppm) |
|-------------|--------------|---------|--------|--|----------------------|
| 13          | 1            | 3653980 | 650890 | آندزی بازالت                                   | 0.57                 |
| 3           | 2            | 3652970 | 649054 | آندزی بازالت، توف، ماسهسنگ، دیباز              | 0.40                 |
| 37          | 2            | 3657110 | 647431 | توف، ماسهسنگ و دیباز                           | 0.28                 |
| 22          | 2            | 3655050 | 649857 | آندزی بازالت، توف، ماسهسنگ، دیباز و ایگنیمیریت | 0.28                 |
| 53          | 2            | 3652750 | 647045 | توف، ماسهسنگ و دیباز                           | 0.28                 |

### 7- عنصر کادمیوم:

| شماره نمونه | درجه آنومالی | مختصات  |        | سنگ بالادست  | میزان داده خام (ppm) |
|-------------|--------------|---------|--------|--------------|----------------------|
| 7           | 1            | 3653890 | 649124 | آندزی بازالت | 0.41                 |

### 8- عنصر کربالت:

| شماره نمونه | درجه آنومالی | مختصات  |        | سنگ بالادست   | میزان داده خام (ppm) |
|-------------|--------------|---------|--------|---|----------------------|
| 74          | 1            | 3653050 | 648092 | آندزی بازالت  | 19.31                |
| 12          | 1            | 3654670 | 647916 | آندزی بازالت، توف، ماسه سنگ،<br>دیاباز و ایگنیمیریت | 18.95                |

### 9- عنصر کروم:

| شماره نمونه | درجه آنومالی | مختصات  |        | سنگ بالادست                                  | میزان داده خام (ppm) |
|-------------|--------------|---------|--------|--|----------------------|
| 28          | 1            | 3655930 | 650192 | توف، ماسه سنگ، دیاباز، داسیت<br>و ایگنیمیریت | 225                  |

### 10- عنصر مس:

| شماره نمونه | درجه آنومالی | مختصات  |        | سنگ بالادست   | میزان داده خام (ppm) |
|-------------|--------------|---------|--------|---|----------------------|
| 74          | 1            | 3653050 | 648092 | آندزی بازالت  | 855                  |
| 7           | 1            | 3653890 | 649124 | آندزی بازالت  | 140                  |
| 8           | 2            | 3654020 | 649187 | آندزی بازالت، توف، ماسه سنگ،<br>دیاباز و ایگنیمیریت | 95.6                 |
| 52          | 2            | 3652560 | 647100 | توف، ماسه سنگ و دیاباز                              | 58.2                 |
| 9           | 2            | 3654300 | 648583 | آندزی بازالت  | 57.3                 |
| 6           | 2            | 3653840 | 650900 | آندزی بازالت، توف، ماسه سنگ،<br>دیاباز و ایگنیمیریت | 55.8                 |

### 11- عنصر آهن:

| شماره نمونه | درجه آنومالی | مختصات |  | سنگ بالادست | میزان داده خام (%) |
|-------------|--------------|--------|--|-------------|--------------------|
|             |              |        |  |             |                    |

----- اکتشاف ژئوشیمیابی در محدوده کوهپرور -----

|   |   |         |        |                             |      |
|---|---|---------|--------|-----------------------------|------|
| 5 | 1 | 3653720 | 650914 | داسیت، توف، ماسهسنگ، دیاباز | 10.2 |
|---|---|---------|--------|-----------------------------|------|

**12- عنصر جیوه:**

| شماره نمونه | درجه آنومالی | مختصات  | سنگ بالادست | میزان داده خام ( ppm)                          |
|-------------|--------------|---------|-------------|--|
| 13          | 1            | 3653980 | 650890      | آنزی بازالت                                    |
| 18          | 1            | 3655040 | 648830      | آنزی بازالت، توف، ماسهسنگ، دیاباز و ایگنیمیریت |
| 69          | 2            | 3655460 | 646216      | توف، ماسهسنگ و دیاباز                          |
| 74          | 2            | 3653050 | 648092      | آنزی بازالت                                    |
| 68          | 2            | 3655080 | 646434      | داسیت، توف، ماسهسنگ، دیاباز                    |

**13- عنصر مولیبدن**

| شماره نمونه | درجه آنومالی | مختصات  | سنگ بالادست | میزان داده خام ( ppm)             |
|-------------|--------------|---------|-------------|-----------------------------------|
| 13          | 1            | 3653980 | 650890      | آنزی بازالت                       |
| 74          | 2            | 3653050 | 648092      | آنزی بازالت                       |
| 36          | 2            | 3656460 | 647533      | توف، ماسهسنگ، دیاباز و ایگنیمیریت |
| 68          | 2            | 3655080 | 646434      | داسیت، توف، ماسهسنگ، دیاباز       |

**14- عنصر نیکل**

| شماره نمونه | درجه آنومالی | مختصات  | سنگ بالادست | میزان داده خام ( ppm)                                 |
|-------------|--------------|---------|-------------|---|
| 24          | 1            | 3655540 | 650927      | آنزی بازالت، داسیت، توف، ماسهسنگ، دیاباز و ایگنیمیریت |

**15- عنصر سرب**

| شماره نمونه | درجه آنومالی | مختصات  | سنگ بالادست | میزان داده خام ( ppm)                          |
|-------------|--------------|---------|-------------|--|
| 7           | 1            | 3653890 | 649124      | آنزی بازالت                                    |
| 8           | 2            | 3654020 | 649187      | آنزی بازالت، توف، ماسهسنگ، دیاباز و ایگنیمیریت |
| 9           | 2            | 3654300 | 648583      | آنزی بازالت                                    |
| 6           | 2            | 3653840 | 650900      | آنزی بازالت، توف، ماسهسنگ، دیاباز و ایگنیمیریت |

----- اکتشاف ژئوشیمیابی در محدوده کوهپرور -----

|    |   |         |        |                                  |      |
|----|---|---------|--------|----------------------------------|------|
| 36 | 2 | 3656460 | 647533 | توف، ماسهسنگ، دیباز و ایگنیمیریت | 51.2 |
|----|---|---------|--------|----------------------------------|------|

**16- عنصر گوگرد:**

| شماره نمونه | درجه آنومالی | مختصات  |  | سنگ بالادست         | میزان داده خام (ppm) |
|-------------|--------------|---------|--|---------------------|----------------------|
| 54          | 1            | 3653690 |  | توف، ماسهسنگ، دیباز | 667                  |

**17- عنصر آنتیموان:**

| شماره نمونه | درجه آنومالی | مختصات  |  | سنگ بالادست                               | میزان داده خام (ppm) |
|-------------|--------------|---------|--|---|----------------------|
| 13          | 1            | 3653980 |  | آندزی بازالت                              | 2.90                 |
| 4           | 2            | 3652830 |  | آندزی بازالت، داسیت، توف، ماسهسنگ و دیباز | 2.75                 |
| 36          | 2            | 3656460 |  | توف، ماسهسنگ، دیباز و ایگنیمیریت          | 1.60                 |

**18- عنصر قلع:**

| شماره نمونه | درجه آنومالی | مختصات  |  | سنگ بالادست                        | میزان داده خام (ppm) |
|-------------|--------------|---------|--|------------------------------------|----------------------|
| 2           | 1            | 3652740 |  | آندزی بازالت، توف، ماسهسنگ و دیباز | 3.83                 |

**19- عنصر تنگستن:**

| شماره نمونه | درجه آنومالی | مختصات  |  | سنگ بالادست                                    | میزان داده خام (ppm) |
|-------------|--------------|---------|--|--|----------------------|
| 19          | 1            | 3654990 |  | آندزی بازالت، توف، ماسهسنگ، دیباز و ایگنیمیریت | 2.72                 |

**20- عنصر روی:**

| شماره نمونه | درجه آنومالی | مختصات  |  | سنگ بالادست                               | میزان داده خام (ppm) |
|-------------|--------------|---------|--|---|----------------------|
| 4           | 1            | 3652830 |  | آندزی بازالت، داسیت، توف، ماسهسنگ و دیباز | 87.3                 |

----- اکتشاف ژئوشیمیابی در محدوده کوهپرور -----

|   |   |         |        |                            |      |
|---|---|---------|--------|----------------------------|------|
| 1 | 2 | 3652590 | 650450 | داسیت، توف، ماسهسنگ، دیباز | 86.2 |
| 5 | 2 | 3653720 | 650914 | داسیت، توف، ماسهسنگ، دیباز | 86.1 |

**21- عنصر تلور:**

| شماره نمونه | درجه آنومالی | مختصات  | سنگ بالادست | میزان داده خام ( ppm)              |
|-------------|--------------|---------|-------------|------------------------------------|
| 5           | 2            | 3653720 | 650914      | داسیت، توف، ماسهسنگ، دیباز<br>0.09 |

**22- عنصر وانادیوم:**

| شماره نمونه | درجه آنومالی | مختصات  | سنگ بالادست | میزان داده خام ( ppm)                               |
|-------------|--------------|---------|-------------|---|
| 4           | 1            | 3652830 | 650361      | آندری بازالت، داسیت، توف،<br>ماسهسنگ و دیباز<br>233 |
| 5           | 2            | 3653720 | 650914      | داسیت، توف، ماسهسنگ، دیباز<br>214                   |

**:Te, V, Fe, (Co) (1) شامل عناصر**

| شماره نمونه | درجه آنومالی | مختصات  | سنگ بالادست | میزان بار فاکتوری                  |
|-------------|--------------|---------|-------------|------------------------------------|
| 5           | 1            | 3653720 | 650914      | داسیت، توف، ماسهسنگ، دیباز<br>3.16 |

**:Ag, Cd, Pb, As, Cu (2) شامل عناصر**

| شماره نمونه | درجه آنومالی | مختصات  | سنگ بالادست | میزان بار فاکتوری   |
|-------------|--------------|---------|-------------|---------------------|
| 7           | 1            | 3653890 | 649124      | آندری بازالت<br>4.5 |

**:W, Be, Ba, Zn (3) شامل عناصر**

| شماره نمونه | درجه آنومالی | مختصات  | سنگ بالادست | میزان بار فاکتوری   |
|-------------|--------------|---------|-------------|---|
| 18          | 1            | 3655040 | 648830      | آندری بازالت، توف، ماسهسنگ،<br>دیباز و ایگنیمیریت<br>1.75 |

**:Co, Cr, Ni (4) شامل عناصر**

----- اکتشاف ژئوشیمیابی در محدوده کوهپرور -----

| شماره نمونه | درجه آنومالی | مختصات  |        | سنگ بالادست                             | میزان بار فاکتوری |
|-------------|--------------|---------|--------|---|-------------------|
| 28          | 1            | 3655930 | 650192 | توف، ماسهسنگ، دیباز، داسیت و ایگنیمبریت | 2.3               |

**:Au, Sb, Bi (5) شامل عناصر 27**

| شماره نمونه | درجه آنومالی | مختصات  |        | سنگ بالادست  | میزان بار فاکتوری |
|-------------|--------------|---------|--------|--------------|-------------------|
| 13          | 1            | 3653980 | 650890 | آندری بازالت | 4.2               |

**:Mo, S, (Bi) (6) شامل عناصر 28**

| شماره نمونه | درجه آنومالی | مختصات  |        | سنگ بالادست         | میزان بار فاکتوری |
|-------------|--------------|---------|--------|---------------------|-------------------|
| 54          | 1            | 3653690 | 646573 | توف، ماسهسنگ، دیباز | 2.4               |

**:Sn (7) شامل عنصر 29**

| شماره نمونه | درجه آنومالی | مختصات  |        | سنگ بالادست         | میزان بار فاکتوری |
|-------------|--------------|---------|--------|---------------------|-------------------|
| 55          | 1            | 3653619 | 646198 | توف، ماسهسنگ، دیباز | 2.7               |

**: جدول مربوط به آنومالی (P.N): 30**

| شماره نمونه | درجه آنومالی | مختصات  |        | سنگ بالادست  | Sum(1/(P.N)) |
|-------------|--------------|---------|--------|--------------|--------------|
| 74          | 1            | 3653050 | 648092 | آندری بازالت | 5623         |
| 7           | 1            | 3653890 | 649124 | آندری بازالت | 5329         |





























































## فصل چهارم

### فاز کنترل

# آنومالی‌های ژئوشیمیایی

#### 4-1 مقدمه

به دلیل اینکه در روش ژئوشیمیایی هر عنصر مستقیماً مورد آنالیز قرار می‌گیرد، توجهی به فاز پیدایش آن نمی‌شود، از اینرو هاله‌های ثانوی کشف شده نمی‌توانند همواره معرف کانی‌سازی باشند. بنابراین برای تمییز دادن آنومالی‌های واقعی (که در ارتباط با پدیده کانی‌سازی بوده و دارای مؤلفه اپی‌ژنتیک است)، از انواع کاذب باید کنترل‌های دیگری انجام گردد. بطور کلی منشاء آنومالی‌های ژئوشیمیایی می‌تواند از انواع زیر می‌باشد:

1- تأثیر سنگ بالادست (مؤلفه سنگ‌زایی): بعضی از عناصر کانه ساز می‌توانند در شبکه کانی‌های دیگر نیز جای بگیرند. برای مثال Pb می‌تواند در شبکه فلدوپات، Ni می‌تواند در شبکه الیوین و Zn می‌تواند در شبکه بیوتیت و آمفیبول قرار گیرد. به این ترتیب، در حالت عادی سنگ‌زایی، بیشتر با ورود این عناصر در ترکیب (یا محلول جامد) کانی‌های سازنده سنگ رو برو هستیم.

2- هاله‌های ثانویه مرتبط با عوامل کانی‌سازی: بعضی از عناصر با ارزش می‌توانند تشکیل کانی مستقل می‌دهند. برای مثال Pb می‌تواند سروزیت و Zn می‌تواند اسمیت زونیت و W می‌تواند شلیلت را به وجود آورد و حضور آنها در یک منطقه می‌تواند نشانه‌ای از کانی‌سازی باشد.

3- آلدگی‌های مختلف محیطی (صنعتی، کشاورزی و....)

4- آلدشدن نمونه ضمن نمونه برداری و آماده‌سازی

5- ناهمگنی موجود در نمونه آنالیز شده

روش‌های مختلفی برای کنترل آنومالی‌ها وجود دارد که می‌توان به کمک آنها ارتباط این آنومالی‌ها را با کانی‌سازی رد یا تأیید کرد. به عبارت ساده‌تر می‌توان با این تکنیک‌ها به کاذب یا غیر کاذب بودن آنومالی‌های معرفی شده پی برد.

این روش‌ها عبارتند از:

1- نمونهبرداری کانی سنگین از محدوده آنومالی‌ها

2- نمونهبرداری و بررسی مناطق دگرسان شده، سیستمهای درزه و شکاف پرشده توسط مواد

معدنی و زون‌های مینرالیزه احتمالی

3- بررسی شکستگی‌ها و گسل‌های محدوده

## 4-2) روش کانی سنگین

### 4-2-1 ردیابی کانی سنگین

با پیشرفت علم اکتشاف بویژه اکتشافات ژئوشیمیایی در کشف کانسارهای ناشناخته و پنهان،

روش بی‌جوبی کانی سنگین به عنوان یکی از کارآمدترین روش‌های اکتشافی مطرح است. ارزش

مشاهدات کانی سنگین که جزء کانی‌های فرعی سازنده سنگ هستند و ممکن است در مناطق فاقد

کانی‌سازی نیز پیدا شوند به اندازه عناصر ردیاب نیست، ولی می‌تواند معرف محیط و بستر مناسب

وقوع کانی‌سازی باشد که برای مثال به چند مورد آن اشاره می‌شود.

- طلا: مشاهده ذرات طلا در کنسانتره کانی سنگین می‌تواند حاکی از مناطق امیدبخش به

کانی‌سازی باشد.

- شلیت، کاسیتیریت و کانی‌های فلزی دیگر: حضور کانی‌های شاخص این عناصر در نمونه‌های

کانی سنگین می‌تواند فاکتور بسیار خوبی برای تأیید و ردیابی کانی‌سازی باشد.

- تورمالین: این کانی ممکن است حاصل آلتراسیون هیدروترمالی باشد. بنابراین راهنمای مناسبی

برای تشخیص آلتراسیون و کانه‌زایی است. پیدایش تورمالین در بعضی از مجموعه‌های

پاراژنزی مانند مولیبدنیت، آرسنوبیریت و فلوئورین می‌تواند به تعیین دقیق‌تر مناطق

امیدبخش کمک کند.

- ایلمنیت: این کانی از نظر پیدایش به همراه مگنتیت در سنگهای آذرین بازیک و آلکالن دیده می شود. گاهاً نیز در پگماتیت ها حضور دارد. این کانی درنتیجه دگرسانی هیدروترمالی سنگهای آذرین به لوکوکسن تبدیل می شود.

- گارنت: که شامل یک گروه از کانی هاست که اغلب در شرائط کن tact متوسط ماتیک تشکیل می گردد. انواع گروسولاریت و آندرادیت، سیلیکات های کلسیم دار (دیوپسید و هدنبرژیت، ولستونیت، اکتینولیت و کلریت) را در اسکارنها همراهی می کند. اغلب کانسارهای گارنت دار در تماس ماقماهای اسیدی با سنگهای دگرگونی تشکیل می شود، به ویژه در شرائطی که دگرگونی مذکور به صورت گزنولیت در سنگهای آذرین وجود دارد. با توجه به وجود چنین شرائط زمین شناسی در منطقه، حضور این کانی در نمونه های کانی سنگین بعضی آنومالی ها به چشم می خورد.

#### 4-2-2) طراحی و نمونه برداری کانی سنگین

در اکتشافات ژئوشیمیایی مقدماتی به جهت وسعت زیاد منطقه (2500 کیلومتر)، فقط آنومالی های ژئوشیمیایی مورد کنترل آنومالی و برداشت نمونه کانی سنگین قرار می گیرد. با توجه به وسعت کم منطقه (حدود 40 کیلومتر مربع) و فاز اکتشافی نیمه تفصیلی سعی گردید تا کل حوضه آبریز نمونه برداری ژئوشیمیایی، تحت پوشش نمونه های کانی سنگین قرار گیرد. بدین ترتیب خطاهای دو نمونه برداری توسط هم پوشش داده می شوند. بدین ترتیب همزمان با برداشت نمونه های ژئوشیمیایی، نمونه های کانی سنگین نیز برداشت گردید.

با توجه به وزن مخصوص بالای کانی های سنگین، سعی گردید که محل نمونه ها در مرز جدايش ارتفاعات با نقاط پست، محل پیچش آبراهه ها، محل اتصال آبراهه ها، گودال های آبراهه ای، جبهه مقابله جریان آب و بطور کلی هر محلی که احتمال کاهش سرعت جریان آب و برجای گذاشتن

کانی‌های سنگین می‌رود، در نظر گرفته شود. پس از طراحی نمونه‌برداری، نمونه‌ها از عمق 10 الی 15 سانتیمتری به پایین با الک سایز 20 مش و در حجم 4 الی 5 لیتر برداشت گردیدند. در نهایت در این پروژه تعداد 52 نمونه کانی‌سنگین برداشت گردید، که در نقشه (4-1) محل آنها در کنار نمونه‌های سیلت برداشت شده، مشخص گردیده است.



#### (4-2-3) آماده‌سازی و مطالعه

در مرحله آماده‌سازی، نمونه‌ها ابتدا گل‌شویی و سپس لاوک‌شویی می‌شود. بدین ترتیب بخش عمده کانی‌های رسی و سبک حذف می‌گردد. سپس نمونه‌ها از مایع سنگین بروموفرم عبور داده می‌شوند تا بر اساس وزن مخصوص بخش‌های سبک و سنگین از یکدیگر جدا گردند. بخش‌های سبک بایگانی و بخش‌های سنگین پس از حجم‌سنجدی مجدد توسط آهنربایی دستی با شدت مغناطیسی‌های مختلف مورد جدایش قرار می‌گیرد که بر این اساس نمونه‌ها به ۳ بخش کانی‌های غیرمغناطیسی (MN)، کانی‌های مغناطیسی ضعیف (AV) و کانی‌های مغناطیسی قوی (AA) تقسیم‌بندی می‌شوند، که هر کدام جداگانه مطالعه می‌شود.

در مطالعه نمونه‌های کانی‌سنگین با میکروسکوپ بیناکولار تعداد هریک از ذرات کانی‌سنگین شمارش گردیده که با دانستن وزن مخصوص نمونه رسوب و کانی‌سنگین و حجم‌سنجدی می‌توان مقدار آنها را طبق رابطه زیر به ppm و درصد تبدیل کرد.

$$\text{مقدار کانی‌سنگین در هر نمونه} = \frac{X.Y.B.D.10^6}{A.C.D'}$$

$X$ : درصد کانی محاسبه شده

$Y$ : حجم کانی سنگین پس از جدایش با بروموفرم

$B$ : حجم نمونه باقیمانده پس از شستشو

$D$ : وزن مخصوص کانی مورد محاسبه

$D'$ : وزن مخصوص رسوب آبرفتی

$A$ : حجم اولیه نمونه

$C$ : حجم انتخابی نمونه برای بروموفرم

بديهی است اندازه دانه های مطالعه شده و نوع گردش دگی کانی های سنگین سهم بسزایی در شناخت کانسارها و موقعیت آنها نسبت به محل نمونه برداری می تواند داشته باشد. جدول (1-4) نتایج حاصل از مطالعات کانی سنگین به همراه موقعیت جغرافیایی نمونه ها، مؤلفه آنومال در پردازش ژئوشیمیایی و شدت آنومالی هر نمونه را نشان می دهد.

در مورد جدول بالا لازم به توضیح است که منظور از کانی های غنی شده، کانی هایی است که زمان مطالعه فراوانی بیشتری نسبت به حجم نمونه داشته اند و منظور از کانی های مشاهده شده، کانی های فلزی و دارای اهمیت از لحاظ اکتشافی می باشد. در برخی موارد که نمونه برداشت شده فاقد کانی های غنی شده و مشاهده شده بوده است، با خط تیره مشخص شده است. ضمناً طلا در نمونه های Zk-7 و Zk-52 هر کدام دو ذره مشاهده گردیده است.





















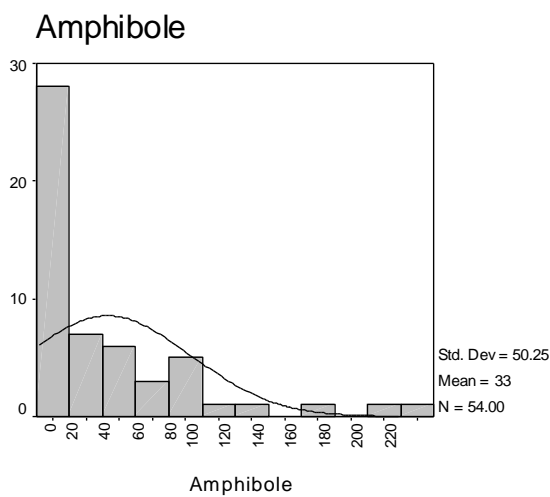






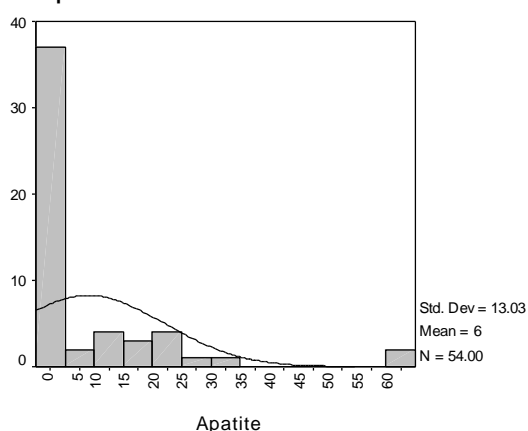
### 3-4) پردازش داده‌های کانی سنگین

نمونه‌های کانی سنگین این محدوده پس از مطالعه مورد پردازش آماری قرار گرفت. در مطالعه این نمونه‌ها کانی‌های آمفیبول، آپاتیت، بیوتیت، کربناته، پیروکسن، کوارتز-فلدسبار، زیرکن، کانی‌های سبک، استارولیت، باریت، پیرولوزیت، طلا، آناتاز، ایلمنیت، نیگرین، روتیل، اسفن، لوکوکسن، پیریا، پیریت لیمونیت، پیریت اکسید، کلریت، اپیدوت، گارنت، کانی‌های آلتره، همی‌مورفیت، لیتارژ، ماسیکوت، میمتیت، سرب طبیعی، پیرومورفیت، گالن، اسفالریت، سروزیت، مالاکیت، مس طبیعی، هماتیت، لیمونیت، منیتیت، مارتیت، اوکیزیست و گوتیت مشاهده شدند. هیستوگرام کانیهایی که تعداد کافی برای نمایش داشتند در اشکال (4-1) تا (4-15) ترسیم شده‌اند.



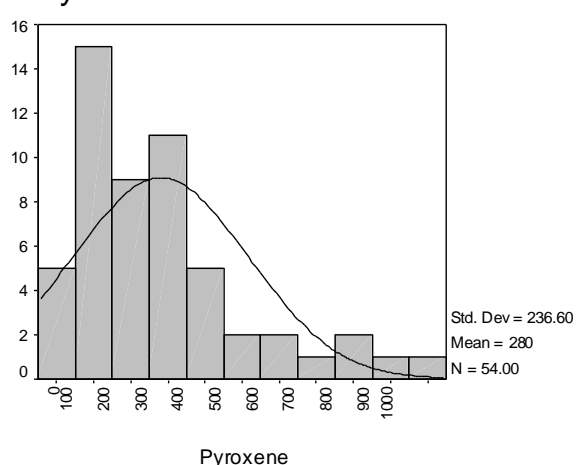
شکل (4-1): هیستوگرام داده‌های کانی سنگین برای آمفیبول

Apatite



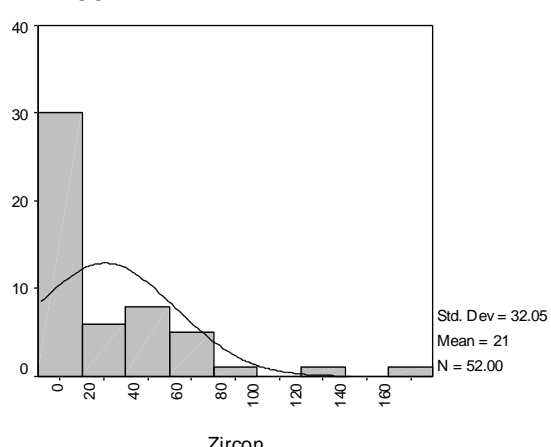
شکل (2-4): هیستوگرام داده‌های کانی‌سنگین برای آپاتیت

Pyroxene



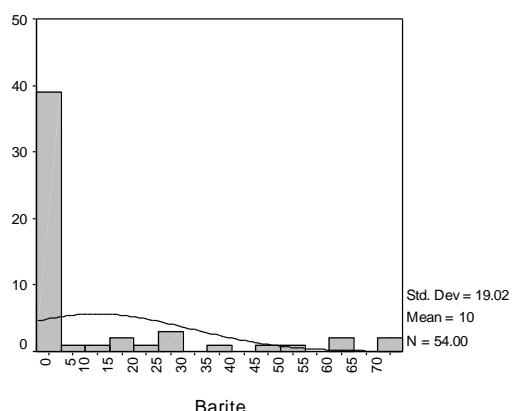
شکل (3-4): هیستوگرام داده‌های کانی‌سنگین برای پیروکسن

Zircon



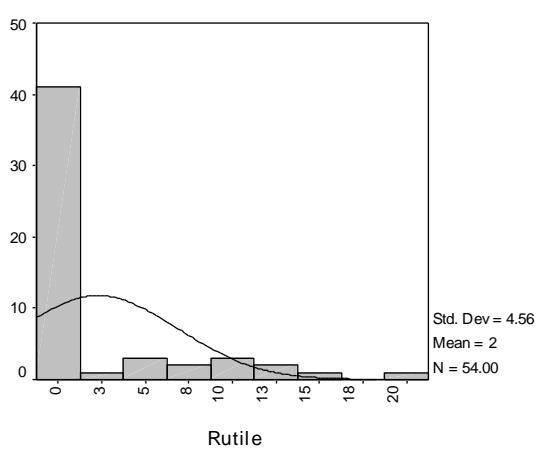
شکل (4-4): هیستوگرام داده‌های کانی‌سنگین برای زیرکن

**Barite**



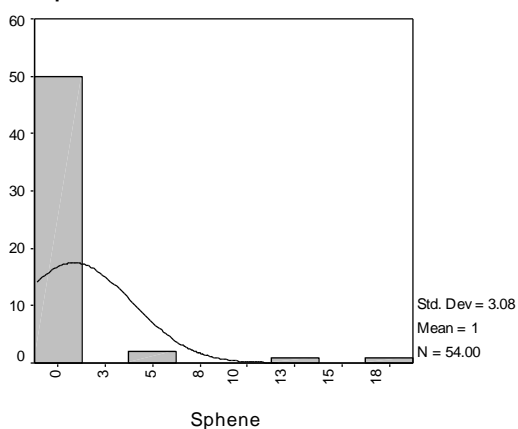
شکل (5-4): هیستوگرام داده‌های کانی سنگین برای باریت

**Rutile**



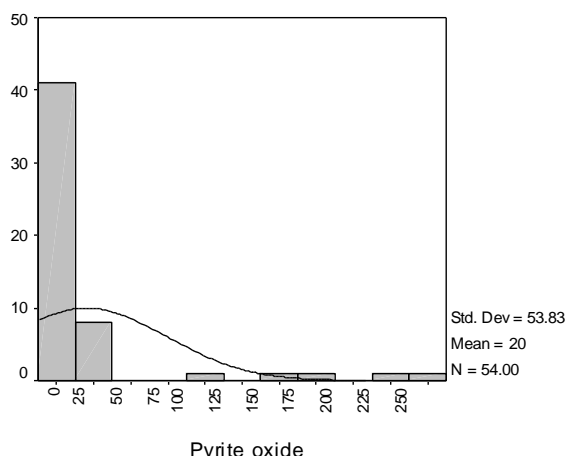
شکل (6-4): هیستوگرام داده‌های کانی سنگین برای روتیل

**Sphene**



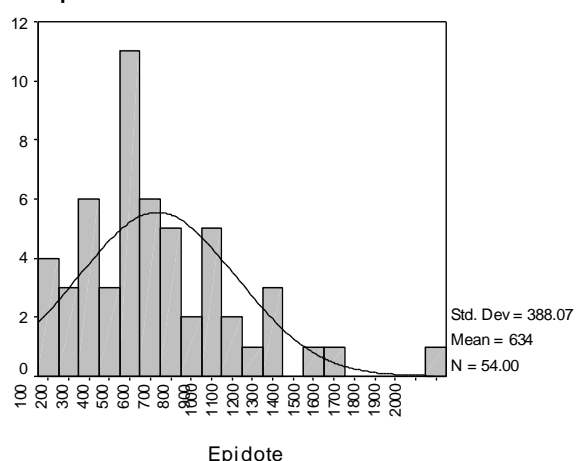
شکل (7-4): هیستوگرام داده‌های کانی سنگین برای اسفن

**Pyrite oxide**



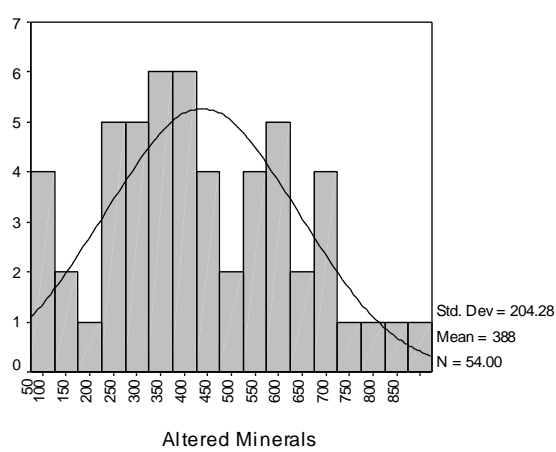
شکل (4-8): هیستوگرام داده‌های کانی سنگین برای پیریت اکسید

**Epidote**



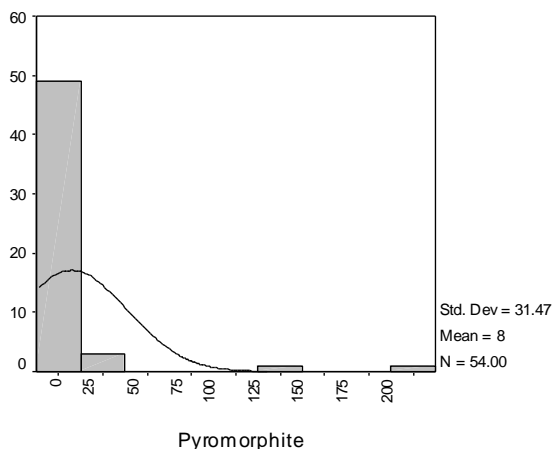
شکل (4-9): هیستوگرام داده‌های کانی سنگین برای اپیدوت

**Altered Minerals**



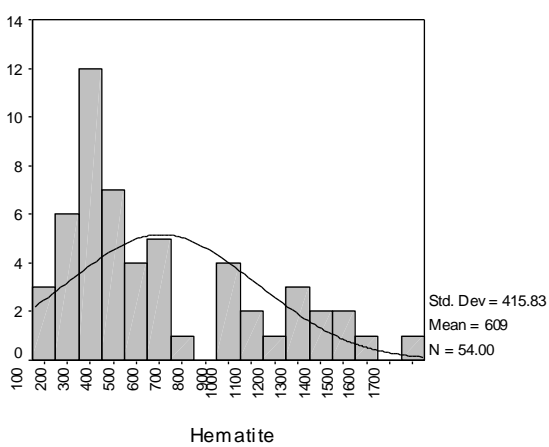
شکل (4-10): هیستوگرام داده‌های کانی سنگین برای کانی‌های آلتره

**Pyromorphite**



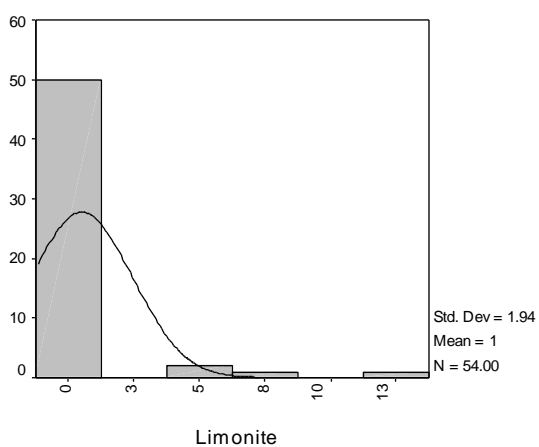
شکل (11-4): هیستوگرام داده‌های کانی‌سنگین برای پیرومورفیت

**Hematite**



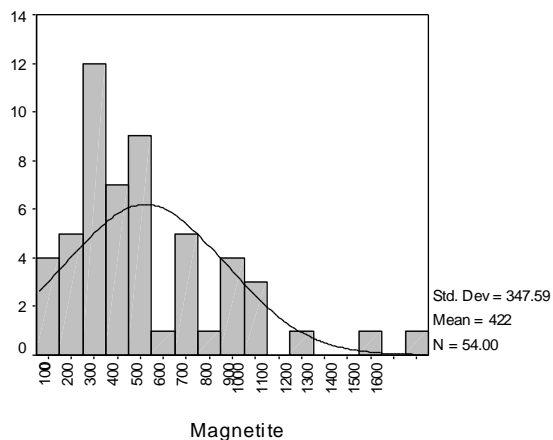
شکل (12-4): هیستوگرام داده‌های کانی‌سنگین برای هماتیت

**Limonite**



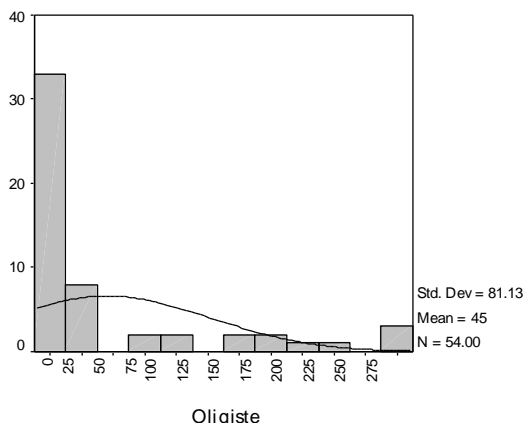
شکل (13-4): هیستوگرام داده‌های کانی‌سنگین برای لیمونیت

Magnetite



شکل (4-14): هیستوگرام داده‌های کانی سنگین برای منیتیت

Oligiste



شکل (4-15): هیستوگرام داده‌های کانی سنگین برای اولیژیست

#### 4-4) متغیرهای کانی سنگین

با توجه به نتایج مطالعات انجام گرفته بر روی نمونه‌های کانی سنگین منطقه مورد مطالعه،

کانی‌های سنگین به 9 گروه تقسیم شدند که عبارتند از:

گروه اول: کانی‌های سنگ‌ساز

گروه دوم: کانه‌های فلزی

گروه سوم: کانی‌های گروه پیریت

گروه چهارم: کانی‌های گروه مس

گروه پنجم: کانی‌های گروه سرب و روی

گروه ششم: کانی‌های گروه آهن

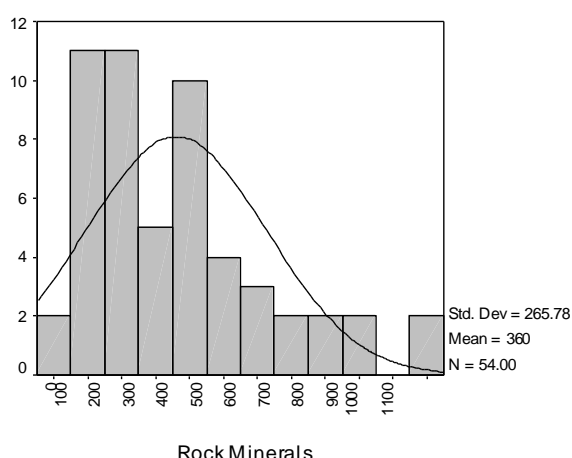
گروه هفتم: کانی‌های گروه تیتان

گروه هشتم: کانی‌های دگرسانی

گروه نهم: کانی‌سنگین طلا

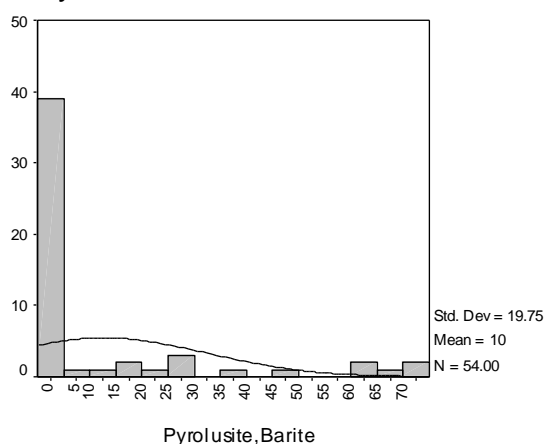
هیستوگرام داده‌های مربوط به این متغیرها در اشکال (4-16) تا (4-22) آورده شده است.

**Rock Minerals**



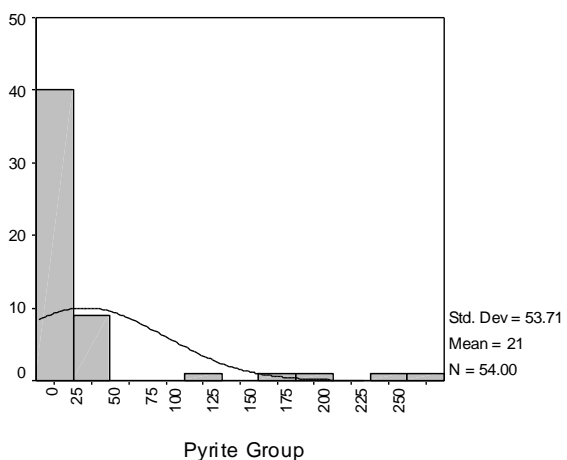
شکل (4-16): هیستوگرام داده‌های کانی‌سنگین برای گروه کانی‌های سنگساز

**Pyrolusite,Barite**



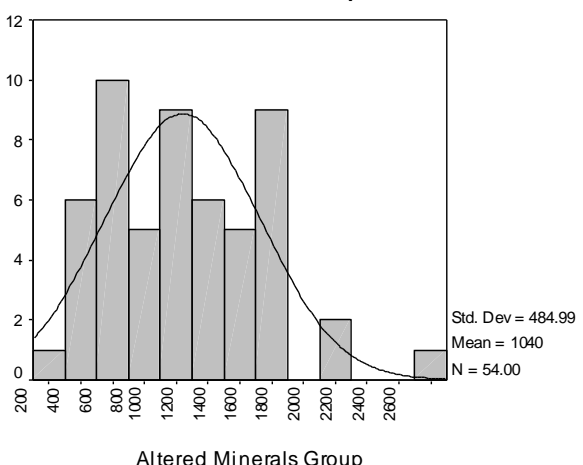
شکل (4-17): هیستوگرام داده‌های کانی‌سنگین برای مجموع باریت و پیروولوزیت

**Pyrite Group**



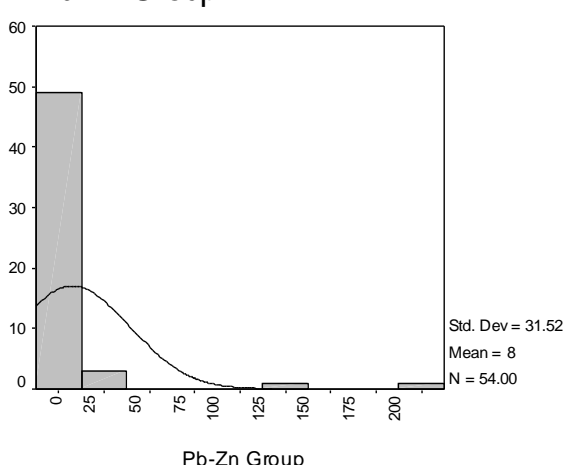
شکل (4-18): هیستوگرام داده‌های کانی‌سنگین برای گروه کانی‌های پیریت

**Altered Minerals Group**

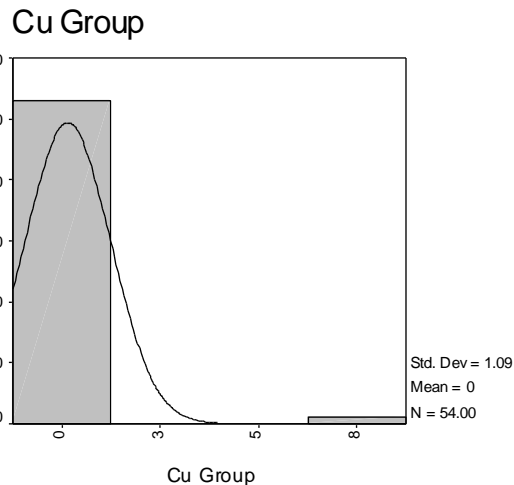


شکل (4-19): هیستوگرام داده‌های کانی‌سنگین برای گروه کانی‌های آلتره

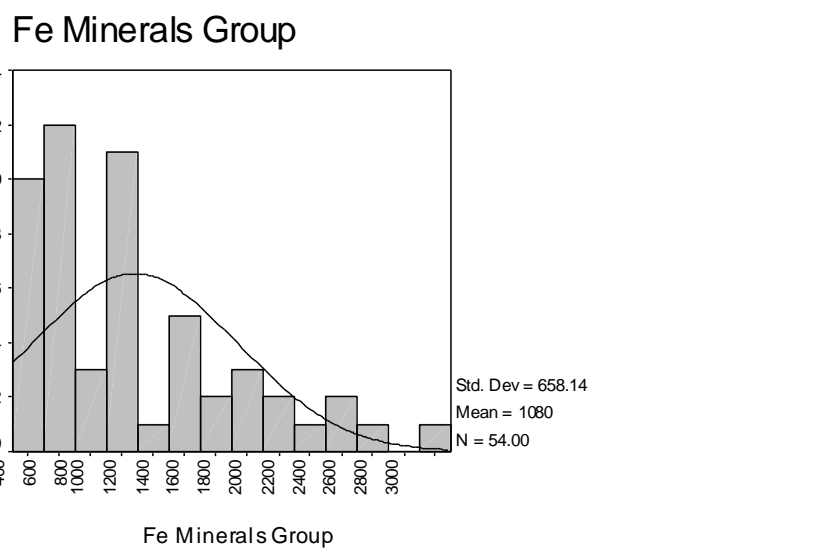
**Pb-Zn Group**



شکل (4-20): هیستوگرام داده‌های کانی‌سنگین برای گروه کانی‌های سرب و روی



شکل (4-21): هیستوگرام داده‌های کانی‌سنگین برای گروه کانی‌های مس



شکل (4-22): هیستوگرام داده‌های کانی‌سنگین برای گروه کانی‌های آهن

نقشه تخمین شبکه‌ای گروه‌های مذکور، در نقشه‌های (4-2) تا (4-7) آورده شده است که شرح

آن در ذیل آورده می‌شود.

در مورد برخی از گروه‌ها که داده کمی را دارا بوده‌اند، نقشه تخمین شبکه‌ای ترسیم نشده است و به جای آن نقشه پراکندگی نمادین<sup>1</sup> این گروه کانی‌ها ارائه گردیده است.

1- Symbol Map

- ✓ کانی‌های سنگ ساز شامل پیروکسن، آمفیبول، بیوتیت، آپاتیت، کوارتز-فسفار، استارولیت، کانی‌های سبک، زیرکن و کانی‌های کربناته مانند کلسیت و دولومیت می‌باشد. کانی‌های این گروه به دلیل آنکه در ارتباط با لیتولوژی منطقه می‌باشند به صورت نقشه آورده نشده است.
- ✓ کانه‌های فلزی: این گروه شامل کانی‌های پیرولوزیت و باریت هستند. با توجه به این که داده‌های این گروه برای ارائه به صورت نقشه تخمین شبکه‌ای کافی نبوده است، به همین دلیل پراکندگی و نحوه توزیع این گروه از کانی‌ها به همراه نقشه نمادین طلا به شکل نقشه نمادین نمایش داده شده است. نقشه (4-2)، نقشه پراکندگی نمادین مربوطه را نشان می‌دهد. همانطوریکه در نقشه مشاهده می‌گردد، در محل نمونه‌های 43 و 50 ناهنجاری دیده می‌شود.
- ✓ کانی‌های گروه پیریت: این گروه شامل کانی‌های پیریت، پیریت اکسید و پیریت لیمونیت هستند. نقشه تخمین شبکه‌ای این گروه در نقشه (4-3) آورده شده است. ناهنجاری در محل نمونه‌های 35، 36 و 50 مشاهده می‌شود.
- ✓ کانی‌های گروه قیتان: این گروه شامل کانی‌های ایلمنیت، روتیل، آناتاز، لوکوکسن، اسفن و نیگرین هستند. تخمین شبکه‌ای کانی‌های این گروه در نقشه (4-4) نشان داده شده است. در محل نمونه‌های 23 و 50 ناهنجاری مشاهده می‌شود.
- ✓ کانی‌های گروه آهن: این گروه شامل کانی‌های مگنتیت، هماتیت، الیژیست و لیمونیت هستند. نقشه تخمین شبکه‌ای کانی‌های این گروه در نقشه (4-5) نشان داده شده است. در محل نمونه‌های 2 و 5 ناهنجاری مشاهده می‌شود.
- ✓ کانی‌های گروه سرب و روی: این گروه شامل کانی‌های گالن، همیمورفیت، ماسیکوت، اسفالریت، سروزیت، پیرومورفیت، میمتیت، سرب طبیعی و لیتارژ هستند. نقشه (4-6) نقشه پراکندگی و تخمین شبکه‌ای کانی‌های این گروه را نشان می‌دهد. ناهنجاری در محل نمونه‌های 4 و 41 مشاهده می‌شود.

✓ کانی‌های گروه مس: این گروه شامل کانی‌های مالاکیت و مس طبیعی هستند. لازم به توضیح است که با توجه به عیارهای خوب مس در نمونه‌های سیلت و مینرالیزه برداشت شده، تهی بودن نمونه‌های کانی‌سنگین از کانی‌های متنوع مس می‌تواند به دلیل قرارگیری مس به صورت فاز اکسیدی کانی‌ها باشد. به این دلیل که قرارگیری یک کانی در نمونه کانی‌سنگین علاوه بر جرم حجمی آن، به مقاومت آن در مقابل فرسایش و عوامل از بین برنده نیز باز می‌گردد. نقشه (4-7) نقشه پراکندگی و تخمین شبکه‌ای کانی‌های گروه مس را نشان می‌دهد. نمونه‌های کانی‌سنگین 43 و 50 ناهنجاری نشان می‌دهند.

✓ گروه کانی‌های دگرسانی: این گروه شامل کانی‌های گارنت، اپیدوت، کلریت و کانی‌های آتره هستند. تخمین شبکه‌ای کانی‌های این گروه در نقشه (4-8) نشان داده شده است. در محل نمونه 7 و 43 ناهنجاری مشاهده می‌شود.

✓ گروه طلا: به دلیل اهمیت آن در گروه جداگانه‌ای قرار گرفته است. ضمناً طلا در نمونه‌های کانی‌سنگین Zk-7 و Zk-52 هر کدام به میزان دو ذره مشاهده گردیده که همراه با باریت و پیرولوزیت به صورت نمادین در نقشه (4-2) نمایش داده شده است.









## 4-5) برداشت نمونه‌های مینرالیزه

از جمله روش‌هایی که می‌تواند در شناخت کیفیت و کمیت عیار کانسار به ما کمک کند، نمونه‌برداری چیپ یا چکشی است. این نمونه‌برداری از زون‌های مینرالیزه یا مشکوک به کانه‌زایی برداشت می‌گردد. اصولاً نمونه‌برداری از زون‌های مینرالیزه در دو مرحله انجام می‌گیرد.

1- همزمان با برداشت نمونه‌های ژئوشیمیایی و کانی‌سنگین.

2- کنترل چکشی بعد از تلفیق داده‌های ژئوشیمیایی و کانی‌سنگین.

در این محدوده برداشت نمونه‌های ژئوشیمیایی و کانی‌سنگین و نمونه‌های مینرالیزه همزمان انجام گرفت که البته قرار بر برداشت نمونه‌های مینرالیزه بیشتری در یک مرحله جداگانه بعد از پردازش نتایج ژئوشیمی و کانی‌سنگین بود که به دلیل مصادف شده آن با سرمای زمستان و ناپایداری هوا و مشکلات دیگری به آینده موکول شد. بنابراین ما با داده‌های موجود که از نقطه نظر کار چکشی ناکافی به نظر می‌رسد اقدام به تهیه این گزارش نمودیم که البته به محض نمونه‌برداری چکشی در آینده نزدیک از منطقه گزارش دیگری در ادامه این گزارش خواهد آمد.

نمونه‌برداری از زون‌های مینرالیزه رخنمون دار از بخش‌های مختلف شامل محل‌های آلتراسیون، رگه‌های کانه‌دار و مناطقی که با توجه به شرایط خاص زمین‌شناسی و تکتونیک منطقه احتمال کانه‌زایی می‌رفت انجام گردید. در نهایت با لحاظ کردن عوامل و شرایط فوق الذکر، تعداد 7 نمونه مینرالیزه برداشت و برای آنالیز به آزمایشگاه مربوطه فرستاده شد. نتایج اولیه آنالیز شامل 44 عنصر بود که در جدول مربوطه، عناصری که به ازای تمام نمونه‌ها مقادیرشان پایین یا این که از لحاظ هدف اکتشافی ما فاقد ارزش لازم بوده است حذف گردیده‌اند. نقشه (4-9) موقعیت نمونه‌های مینرالیزه برداشت شده و جدول (4-2) نتایج آنالیز نمونه‌های مینرالیزه می‌باشد.

جدول (4-2): نتایج آنالیز نمونه‌های مینرالیزه برداشت شده از محدوده

| Sample Number | Au     | Cu    | Pb   | Zn   | Ag   | As   | Hg   | Sb   | Bi   | Mo   |
|---------------|--------|-------|------|------|------|------|------|------|------|------|
| ZK-8X         | 0.52   | 5.60% | 1640 | 105  | 418  | 3130 | 1.30 | 3.10 | 0.25 | 5.18 |
| ZK-14X        | 0.0021 | 3940  | 30.0 | 74.0 | 0.60 | 6.00 | 0.05 | 0.58 | 0.12 | 2.69 |
| ZK-38X        | 0.0012 | 130   | 25.0 | 160  | 0.20 | 59.0 | 0.05 | 0.87 | 0.19 | 0.85 |
| ZK-46X        | 1.18   | 6.60% | 190  | 100  | 784  | 204  | 0.5  | 1045 | 0.17 | 525  |
| ZK-56X        | 0.34   | 3.50% | 8400 | 290  | 101  | 82.0 | 0.06 | 28.0 | 0.26 | 36.0 |
| ZK-64X        | 0.0054 | 380   | 30.0 | 160  | 0.21 | 48.0 | 0.05 | 0.82 | 1.00 | 5.64 |
| ZK-71X        | 0.041  | 680   | 30.0 | 67.0 | 0.20 | 13.7 | 0.05 | 2.10 | 0.30 | 2.20 |

| Sample Number | Sn   | W    | Fe     | Co    | Ti   | Zr  | V   | Cr  | Mn   | Ni    |
|---------------|------|------|--------|-------|------|-----|-----|-----|------|-------|
| ZK-8X         | 1.52 | 6.62 | 59186  | 8.43  | 671  | 43  | 629 | 53  | 284  | 1.12  |
| ZK-14X        | 2.37 | 0.50 | 60089  | 8.40  | 2371 | 170 | 211 | 71  | 705  | 24.62 |
| ZK-38X        | 2.17 | 0.50 | 74860  | 14.45 | 5127 | 448 | 71  | 84  | 1029 | 69.02 |
| ZK-46X        | 1.05 | 1.14 | 31262  | 2.83  | 880  | 64  | 62  | 7   | 62   | 1.98  |
| ZK-56X        | 2.38 | 5.38 | 146746 | 15.72 | 3291 | 311 | 289 | 158 | 1542 | 30.31 |
| ZK-64X        | 1.78 | 1.56 | 88403  | 6.46  | 4301 | 274 | 144 | 20  | 189  | 1.05  |
| ZK-71X        | 1.17 | 0.50 | 13471  | 3.18  | 610  | 28  | 81  | 5   | 233  | 0.50  |

همانطور که در جدول نیز مشاهده می‌گردد، اکثر نمونه‌های اخذ شده برای عنصر مس جوابهای امیدوار کننده‌ای را داده است. با توجه به این که شناخت اولیه‌ای کافی از محدوده وجود نداشته است و اینکه نمونه‌های مینرالیزه و کار چکشی قبل از کسب نتایج ژئوشیمی و کانی‌سنگین اخذ شده است می‌توان به اکتشاف آن بخش از پتانسیل ناشناخته منطقه در عملیات صحرایی آینده امیدوار بود.

شکل (4-23) تصویری از محل برداشت نمونه ZK-14x را نشان می‌دهد. نمونه از پچهای سیلیسی حاضر در محل اخذ گردیده است.

ashkal (4-24) تا (4-26) تصاویری از جهات مختلف متعلق به محل برداشت نمونه ZK-8x را از یک روند گسلی شمالی-جنوبی نمایش می‌دهند. در محل این نمونه همانطور که در شکل‌های

مربوطه نیز دیده می‌شود، تجمعی از خاک دستی برداشت شده مشاهده می‌گردد که البته منشاء این خاک‌ها رخنمونی ندارد.

شکل (27-4) نیز محل برداشت نمونه ZK-38x را از خاک‌های هماتیتی در مجاورت یک گسل را نشان می‌دهد. البته با مراجعه به جدول مشخص می‌شود که عیارهای حاصل، جالب توجه نمی‌باشد.

لازم به توضیح است که نمونه ZK-46x که در میان نمونه‌های مینرالیزه بهترین عیارها را نشان می‌دهد، از یک روند گسلی با امتداد N40E به رخنمون حدود 20 متر برداشت شده است. متاسفانه تصویری از محل برداشت این نمونه ثبت نشده است.



شکل (23-4): محل برداشت نمونه ZK-14x از پچهای سیلیسی



شکل (24-4): محل برداشت نمونه ZK-8x از روند گسلی شمالی-جنوبی (دید به سمت جنوب)



شکل (25-4): محل برداشت نمونه ZK-8x از روند گسلی شمالی-جنوبی (دید به سمت شمال)



شکل (26-4): محل برداشت نمونه ZK-8x از روند گسلی شمالی-جنوبی (دید به سمت جنوب)



شکل (27-4): محل برداشت نمونه ZK-38x از خاکهای هماتیتی در مجاورت یک گسل

## فصل پنجم

### نتیجه‌گیری و پیشنهادات

## 1-5) نتیجه‌گیری

آنچه که می‌توان در مورد این گزارش به عنوان حاصل و نتیجه بیان نمود، در ۳ مورد به صورت

خلاصه آورده شده است:

1) با نگاهی به نقشه شماره (5-1) نمونه‌های سیلت و تجزیه عاملی آن، مشاهده می‌گردد که

آنومالی شماره 1 (بالادست نمونه‌های شماره 7، 8، 13) و در درجه دوم آنومالی شماره 2

(بالادست نمونه‌های شماره 4، 5 و 6) به عنوان مناطق پر پتانسیل حائز اهمیت اکتشافی

هستند. این مناطق در نقشه شماره (5-2) معرفی شده‌اند.

2) در فاز کنترل آنومالی آن چیزی که جلب توجه می‌کند، مشاهده ذرات طلا در نمونه‌های

شماره 7 و 52 است که در ادامه با بررسی متغیرهای کانی‌سنگین متوجه تفاوت معنی‌دار

میان نتایج نمونه‌های سیلت و کانی‌سنگین می‌شویم که این موضوع را می‌توان از دو جهت

مورد بحث قرار داد؛ یکی پوشش خوب کانی‌زایی از لحاظ وسعت و پراکندگی در منطقه که

هر کدام با توجه به صحت و دقت بالای عملیات صحرایی گواه محکمی از نتایج نمونه سیلت

و کانی‌سنگین به همراه دارند و دیگر این که به احتمال خیلی زیاد نحوه کانی‌سازی و

فرسایش در منطقه طوری بوده که بخشی از آنومالی در دامنه ذرات سیلت و بخش دیگر در

دامنه ذرات ماسه (کانی‌سنگین) قرار گرفته است.

با این تفاسیر علاوه بر دو آنومالی حاصل از پردازش نمونه‌های سیلت، بالادست نمونه‌های

کانی‌سنگین 52، 50، 43 و 41 نیز ناهنجاریهای امیدوار کننده‌ای را از لحاظ طلا، مس و

سرب نشان داده است که به دلیل پراکندگی به صورت منطقه معرفی نگردیده است.

3) در این عملیات اکتشافی برداشت 7 نمونه چکشی و اکتفا به آن، تنها برای محک اولیه عیار

محدوده بوده است. گرچه همین تعداد نمونه نیز گواه خوبی از وجود عیارهای مناسب است.

اما وجود رگه‌های باریک با رخنمون اندک و طول محدود، ادامه عملیات اکتشافی را منوط به اطلاعات و کار بیشتر قرار می‌دهد.

همانطور که در متن نیز گفته شد دلیل برداشت اندک این تعداد نمونه چکشی، در نظر داشتن یک فاز جدآگانه عملیات صحرایی چکشی بوده است که بدلیل شرایط نامناسب جوی و مشکلات دیگر در این مقال نگنجید و به آینده‌ای نزدیک محول شد.  
توجه به محل 7 نمونه اخذ شده نشان از تایید مناطق آنومال نمونه‌های سیلت و کانی‌سنگین دارد.





## 5-2 پیشنهادات

با توجه به حجم اطلاعاتی که از منطقه موجود است و عدم انجام فاز اکتشاف چکشی محدوده، نمی‌توان با قدرت در مورد کارهای آتی پیشنهادی ارائه کرد. اما بنا به روال موجود، نکاتی چند را باید مد نظر قرار داد.

- 1) اولین کار انجام فاز اکتشاف چکشی محدوده بالاخص مناطقی که ژئوشیمی و کانی سنگین ناهنجاری (آنومالی شماره 1 و 2) از خود نشان داده‌اند. در این مرحله پیمایش دقیق محدوده و توجه به آلارم‌های اکتشافی لازمه کار است.
- 2) پس از کسب نتایج نمونه‌های مینرالیزه از آزمایشگاه، انجام پردازش‌های لازم و ارائه یک نقشه آنومالی نهایی می‌توان برای ادامه یا توقف پروژه اظهار نظر کرد.
- 3) در صورتی که نتایج نمونه‌های چکشی امید بخش باشد، با توجه به آثار محدود کانی‌زایی در سطح، انجام یک برداشت ژئوفیزیکی با روش مناسب برای دستیابی به اطلاعاتی در مورد عمق کانی‌زایی لازم به نظر می‌رسد.
- 4) مابقی پیشنهادات بسته به انجام بندهای فوق الذکر است.